

COMPTE RENDU D'INTERVENTION

Du 18 au 21 Juillet 2022

ESID IDF



Diagnostic de structure

Bâtiments 429-430-435
121^{ème} Régiment du Train à Montlhéry

N° dossier : D2101.246				Réf commande :		
Indice	Date	Chargé d'affaire	Visa	Vérifié par	Visa	Contenu
1	02/09/2022	L.BOUR		V.HOUDET		50 pages 4 annexes

SOMMAIRE

I. BUT DE L'INTERVENTION :	3
II. METHODOLOGIE DE L'INTERVENTION	4
III. RESULTATS DES INVESTIGATIONS – BÂTIMENT 429	5
A. Reconnaissance de la charpente	5
B. Reconnaissances du dallage	12
1. Caractéristiques du dallage	12
2. Qualité du béton	16
3. Essai pressiométrique	17
4. Synthèse	18
IV. RESULTATS DES INVESTIGATIONS – BÂTIMENT 430	19
A. Reconnaissance de la charpente	19
B. Reconnaissances du dallage	25
1. Caractéristiques du dallage	25
2. Qualité du béton	30
3. Essai pressiométrique	31
4. Synthèse	32
V. RESULTATS DES INVESTIGATIONS – BÂTIMENT 435	33
A. Reconnaissance de la charpente	33
B. Reconnaissances du dallage	41
1. Caractéristiques du dallage	41
2. Qualité du béton	46
3. Essai pressiométrique	47
4. Synthèse	48
VI. CONCLUSIONS	49
VII. RECAPITULATIF DES ANNEXES	50

I. BUT DE L'INTERVENTION :

Dans le cadre de la réhabilitation de la Zone Technique des bâtiments 435, 429 et 430 à MONTLHERY un diagnostic est nécessaire.



Bâtiments 429, 430 et 435, objet de l'intervention, situés au 121^{ème} Régiment du Train à Montlhéry.

L'objectif de l'intervention est donc de déterminer les caractéristiques structurelles du dallage et de la charpente des 3 bâtiments et de fournir les éléments à la MOE afin de définir la faisabilité du projet.

II. METHODOLOGIE DE L'INTERVENTION

Afin de procéder au diagnostic, nous avons réalisé l'intervention suivante :

- **INTERVENTION SUR SITE :**

- *Cartographie / inspection des bâtiments 429, 430 et 435 à la nacelle (façade, charpente, structure)*
- *3 x 3 carottages de dallage sur les bâtiments afin d'en définir leur constitution (ep, ferrailage, forme, dallage terre-plein ou porté),*
- *3 essais pressiométriques à 1 m sous dallage,*
- *Relevé d'une travée de charpente par bâtiment,*
- *Photographies,*
- *Rebouchage des sondages.*

- **ESSAIS ET ANALYSES EN LABORATOIRE :**

- *9 essais de compression,*
- *3 modélisations des charpentes aux éléments finis,*
- *3 vérifications de portance des dallages,*
- *Rédaction d'un compte rendu d'intervention avec synthèse des résultats.*

III. RESULTATS DES INVESTIGATIONS – BÂTIMENT 429

A. Reconnaissance de la charpente

Le bâtiment 429 est constitué d'une zone hangar et d'une zone de bureau.



Bâtiment 429

La charpente métallique du hangar est constituée de portiques en profilés IPE, régulièrement espacés. Le côté Ouest de la charpente est prolongé sur 4,8m et correspond à la zone de bureaux avec une mezzanine en plancher collaborant sur ossature métallique.

Les pannes de la charpente sont des IPE140 et la couverture est en bac acier avec un isolant et une étanchéité bitumineuse.

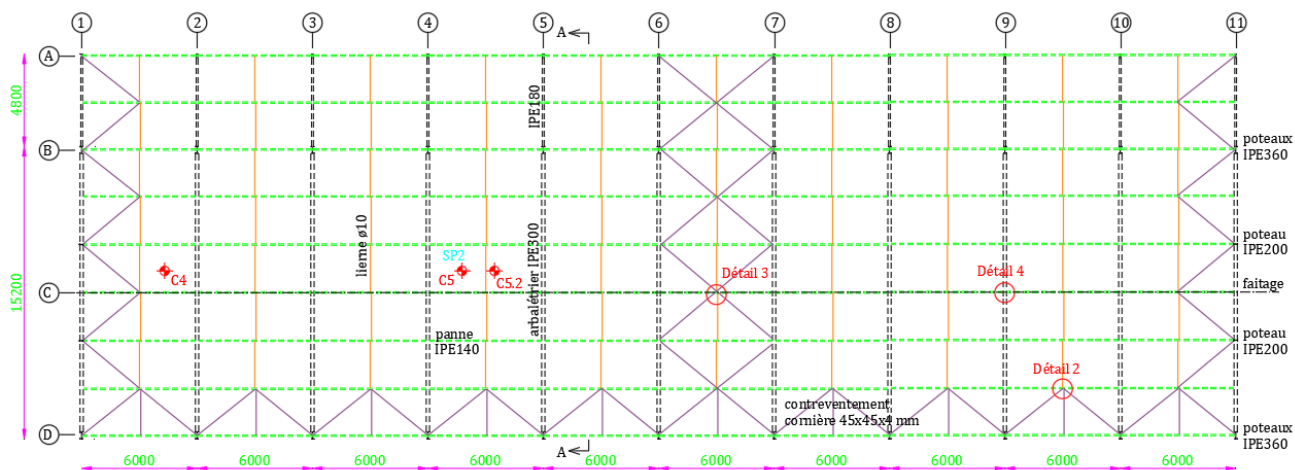
Un pont roulant est présent sur deux rails reposant sur les poteaux des portiques de la charpente.

Les relevés ont permis de réaliser les plans et coupes suivants :

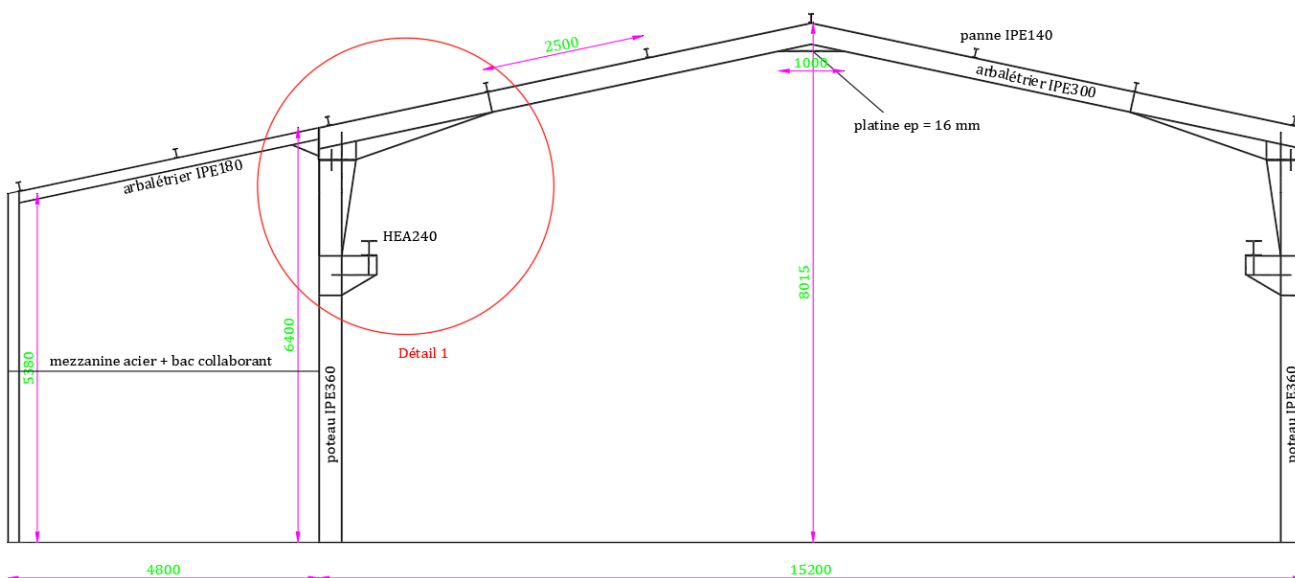
Une vue en plan de la charpente visible en annexe 1a.

Une coupe AA de la charpente visible en annexe 1b.

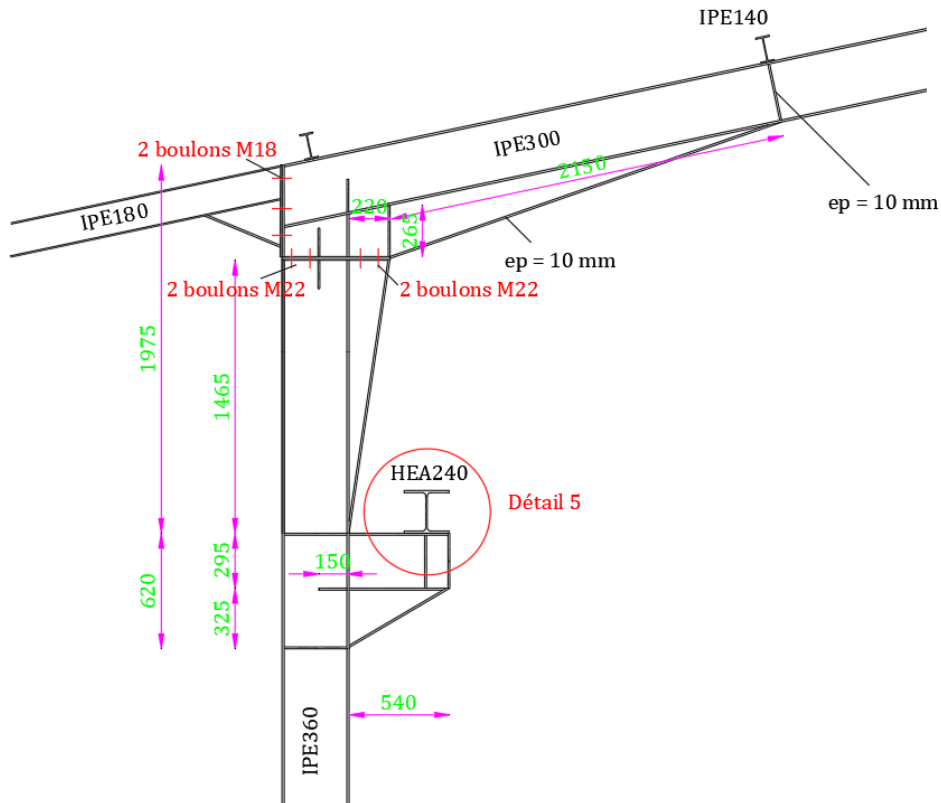
Un carnet de détail de la charpente visible en annexe 1c.



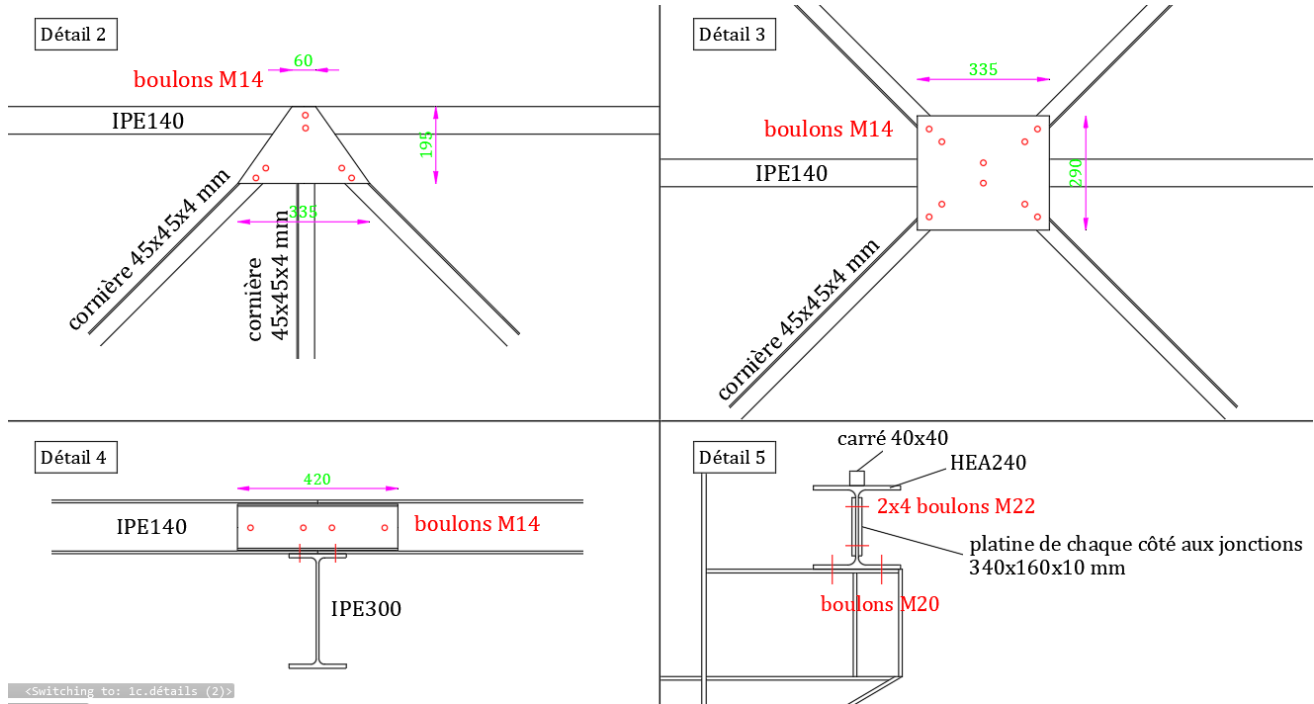
Vue en plan de la charpente



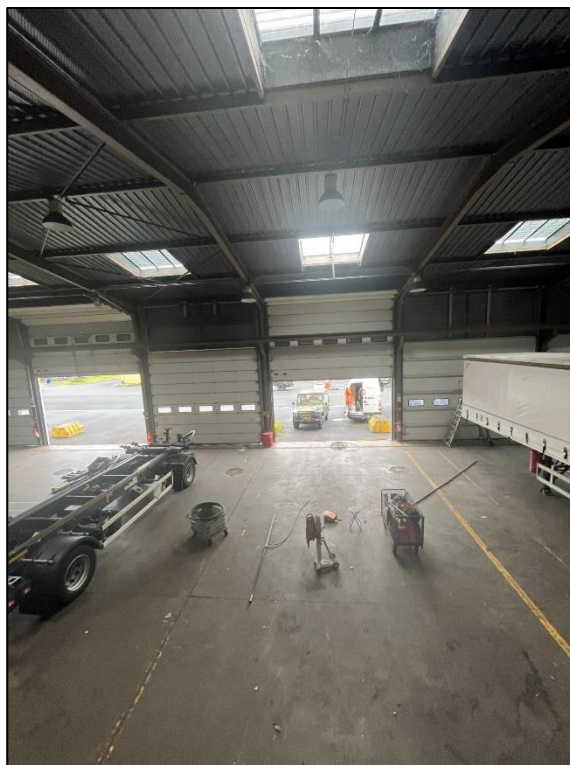
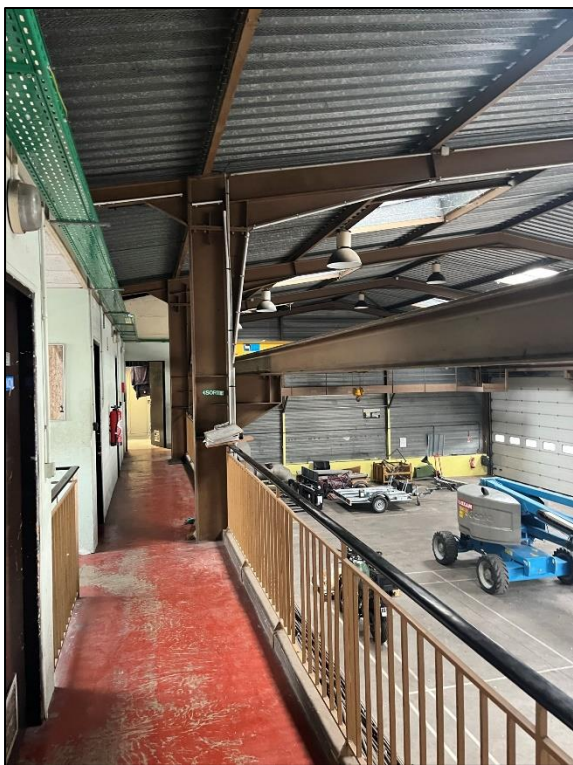
Coupe AA de la charpente



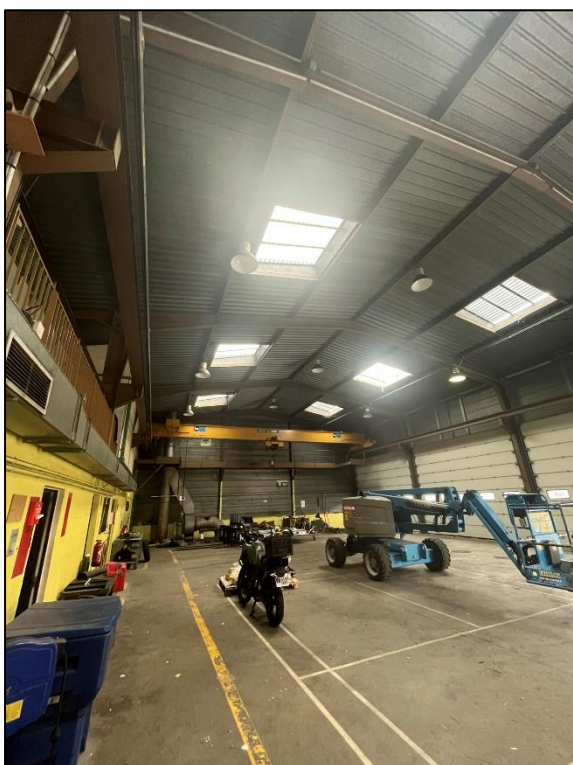
Détail 1



Détails 2 à 5



Vues générales de la charpente



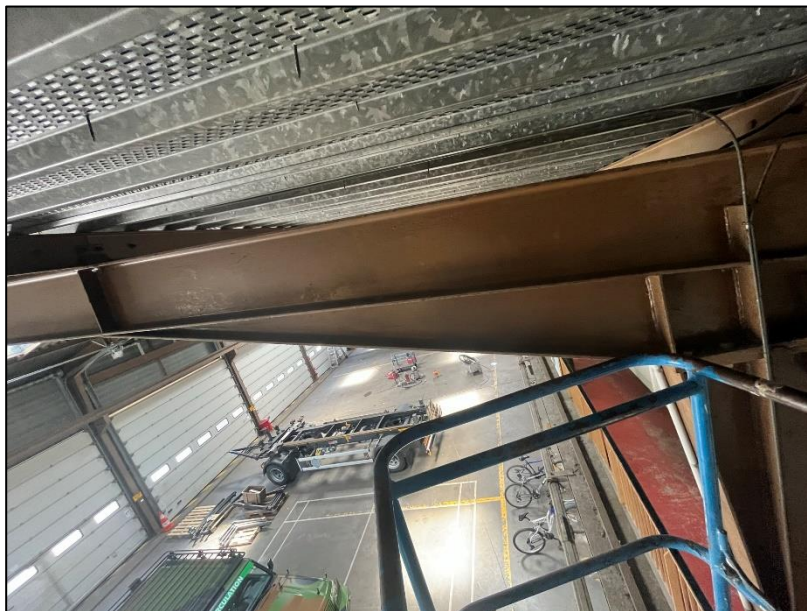
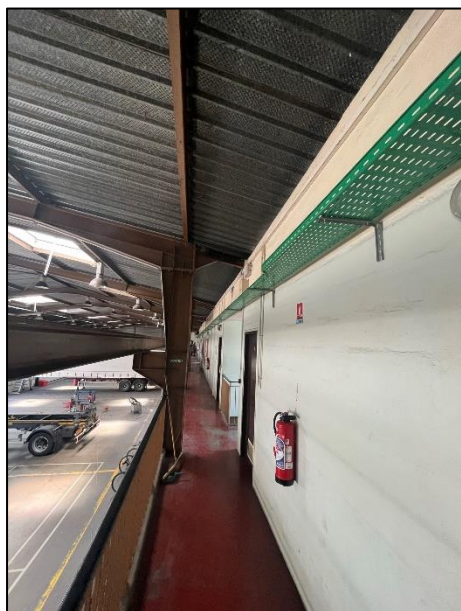
Vues générales de la charpente



Fissures en surface de dalle



Mezzanine



Poteaux IPE360 en file B



Détail de l'assemblage arbalétriers sur poteau en file B (Détail 1)



Lierne entre pannes



Assemblage contreventement



Assemblage contreventement
 (Détail 2)



Assemblage contreventement
 (Détail 3)



Assemblage pannes (Détail 4)



Assemblage poutre du pont roulant (Détail 5)

B. Reconnaissances du dallage

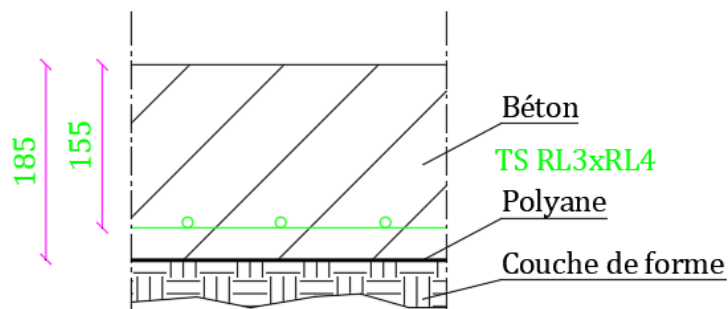
1. Caractéristiques du dallage

Des investigations ont été menées au niveau du dallage du hangar afin d'en définir les caractéristiques et permettre le recalcul de la capacité portante du dallage.

Ainsi, trois carottages ont été effectués pour définir la constitution du dallage, son ferrailage et estimer sa qualité.

Les résultats sont les suivants :

Carottage C4 : dallage béton armé



Coupe schématique du dallage au droit du carottage C4



Photographie du carottage C4

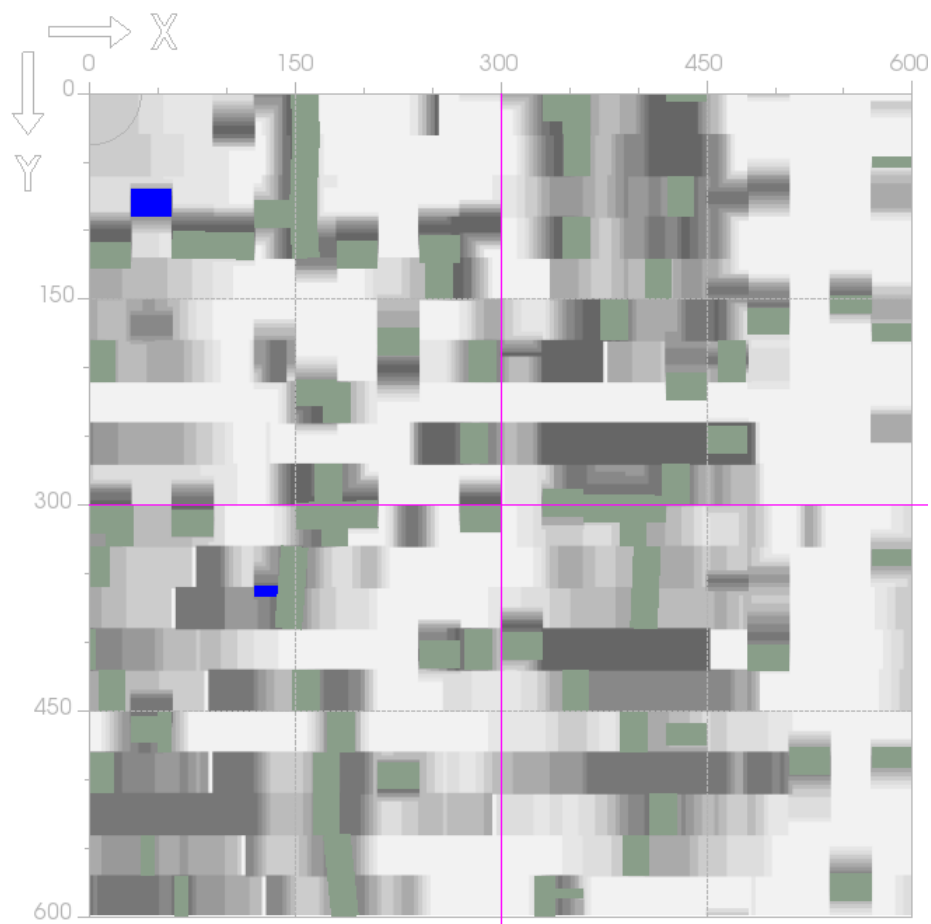
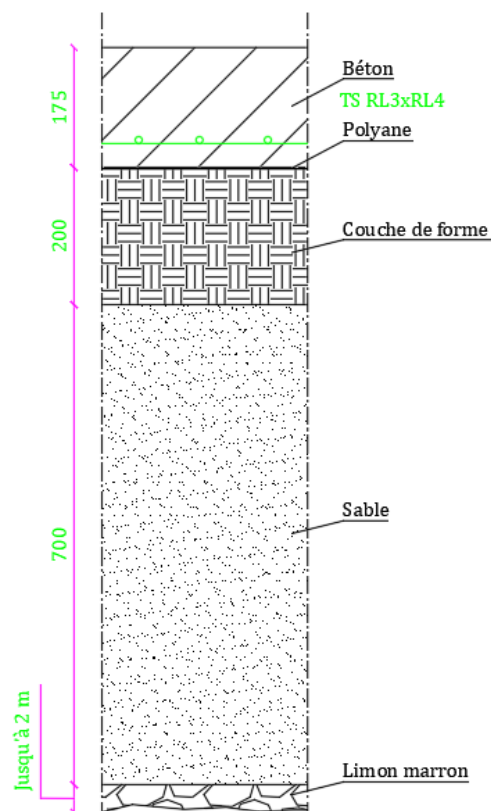


Image ferroskan en surface du dallage au droit de C4
– ferrailage trop profond non détecté

Carottage C5 : dallage béton armé



Coupe schématique du dallage au droit du carottage C5



Photographie du
carottage C5

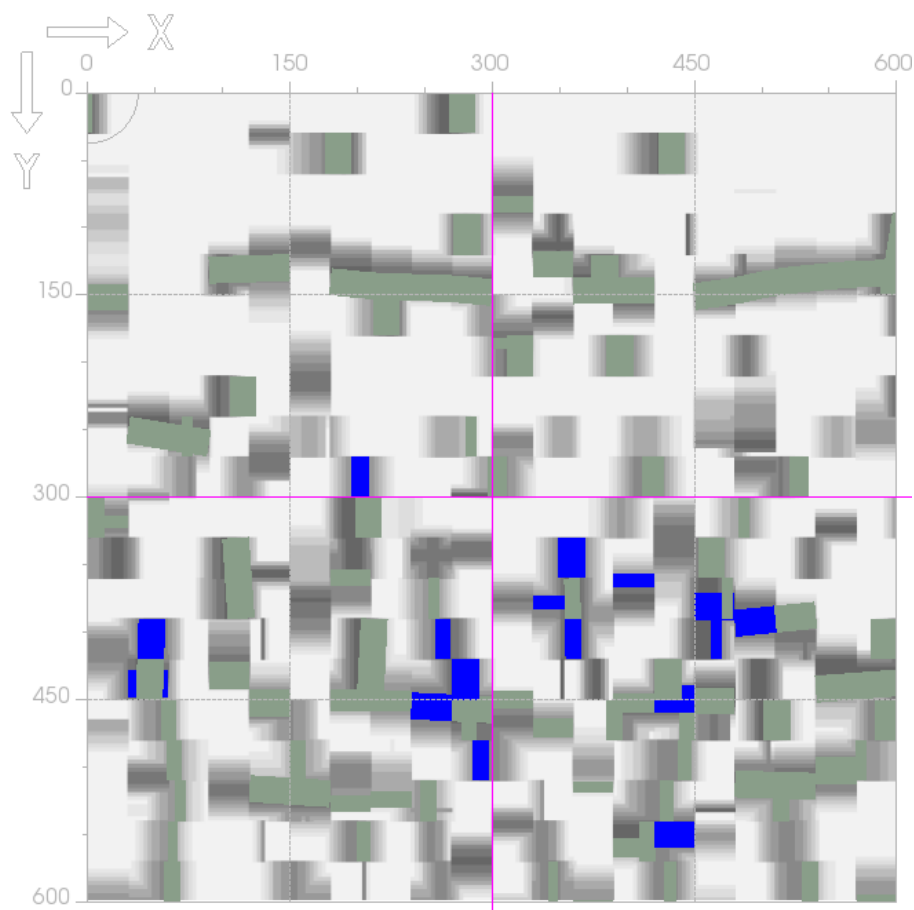
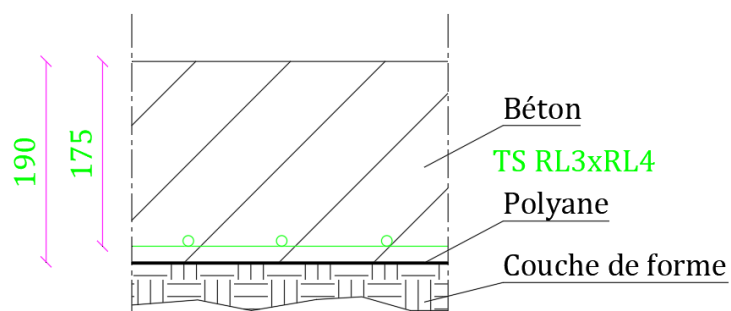


Image ferroskan en surface du dallage au droit de C5
– ferrailage trop profond non détecté

Carottage C6 : dallage béton armé



Coupe schématique du dallage au droit du carottage C6



Photographie du carottage C6

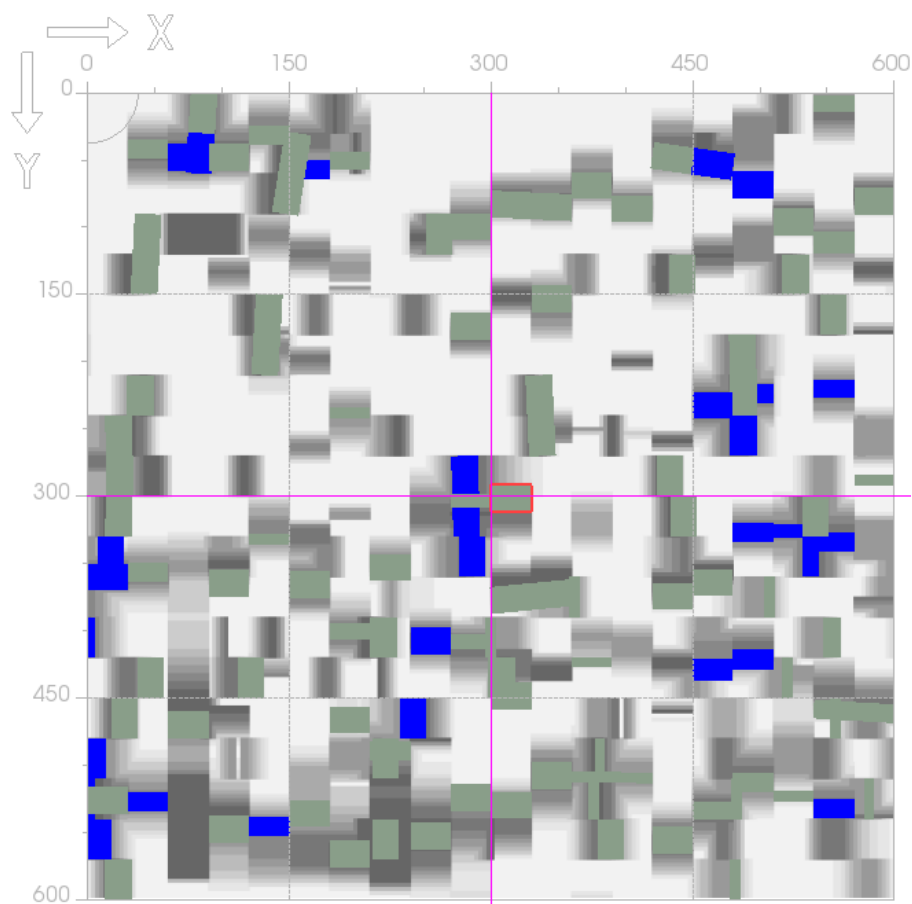


Image ferroskan en surface du dallage au droit de C6
– ferrailage trop profond non détecté

2. Qualité du béton

Trois essais de compression ont été effectués sur les carottes afin d'avoir un avis sur la qualité du béton. Les prélèvements ont été rectifiés avant essai, la résistance indiquée est donc la résistance à cœur du béton. Les essais ont été réalisés conformément à la norme NF EN 12390-3, le 31/08/2022.

Les résultats sont les suivants :

Rectification pour la compression : Rectifieuse
Système de mesure : Presse controlab – 3000KN – classe 1

Prélèvement	Caractéristiques des éprouvettes				Densité	Charge à la rupture (KN)	Résistance à la compression (MPa)	Conformité de la rupture	
	Diamètre (mm)	Hauteur (mm)	H/D	Masse (g)				C	NC
C4	73	170	2.3	1683	2.37	149	35.6	X	
C5	93	157	1.7	2488	2.33	332	47.6	X	
C6	73	172	2.3	1650	2.29	117	28.0	X	
Moyenne							37.0		

Classe de résistance estimée selon NF EN 206/CN = C30/37.

Nota (Rappel sur les recommandations de la norme NF EN 13791) :

Pour une zone d'essai donnée, l'évaluation de la résistance caractéristique à la compression des bétons doit reposer sur au moins 3 prélèvements. Ce nombre minimal de 3 éprouvettes se rapporte à des carottes ayant un diamètre d'au moins 100 mm. Lorsque le diamètre des carottes est inférieur à 100 mm, la norme NF EN 13791 recommande d'augmenter le nombre de carottes. La recommandation repose sur le nombre de prélèvements à retenir en fonction du diamètre : $N = (0,12 \times \varnothing) + 15$ avec \varnothing en mm. Ex : pour un diamètre $\varnothing = 71$ mm, un nombre minimum de 7 prélèvements doit être réalisé afin d'évaluer la résistance caractéristique à la compression des bétons selon les recommandations de la norme NF EN 13791.

3. Essai pressiométrique

Un essai pressiométrique a été réalisé sous le dallage dans le carottage C5 afin de déterminer le module E_m du sol sous-jacent.

Il s'avère que le sol sous-jacent est constitué d'une couche de forme d'environ 20 cm puis de sable sur 70 cm puis de limon marron.

Les résultats des essais sont les suivants :

SP2 (dans le carottage C5) :

Type de sonde : Sonde 44 - Tube fendu Ø 55mm

Type de forage : (type de forage inconnu)

Inertie : 1 (du 27/06/2022)

Calibrage : calibrage (du 31/05/2022)

Profondeur de l'essai (-Zs) : 1.50 m

Hauteur du C.P.V. (Zc) : 1.60 m

Nappe d'eau (-Zw) : Inconnu

Em (MPa) : 8.041
Pf* (MPa) : 0.516
PI* (MPa) : 0.956

Em/PI* : 8.411

PI*/Pf* : 1.853

ohs (MPa) : 0.013

Pel (MPa) : 0.322

Vel (cm³) : 550

P1 (MPa) : 0.115

V1 (cm³) : 140.0

P2 (MPa) : 0.529

V2 (cm³) : 225.6

Vs (cm³) : 441.9

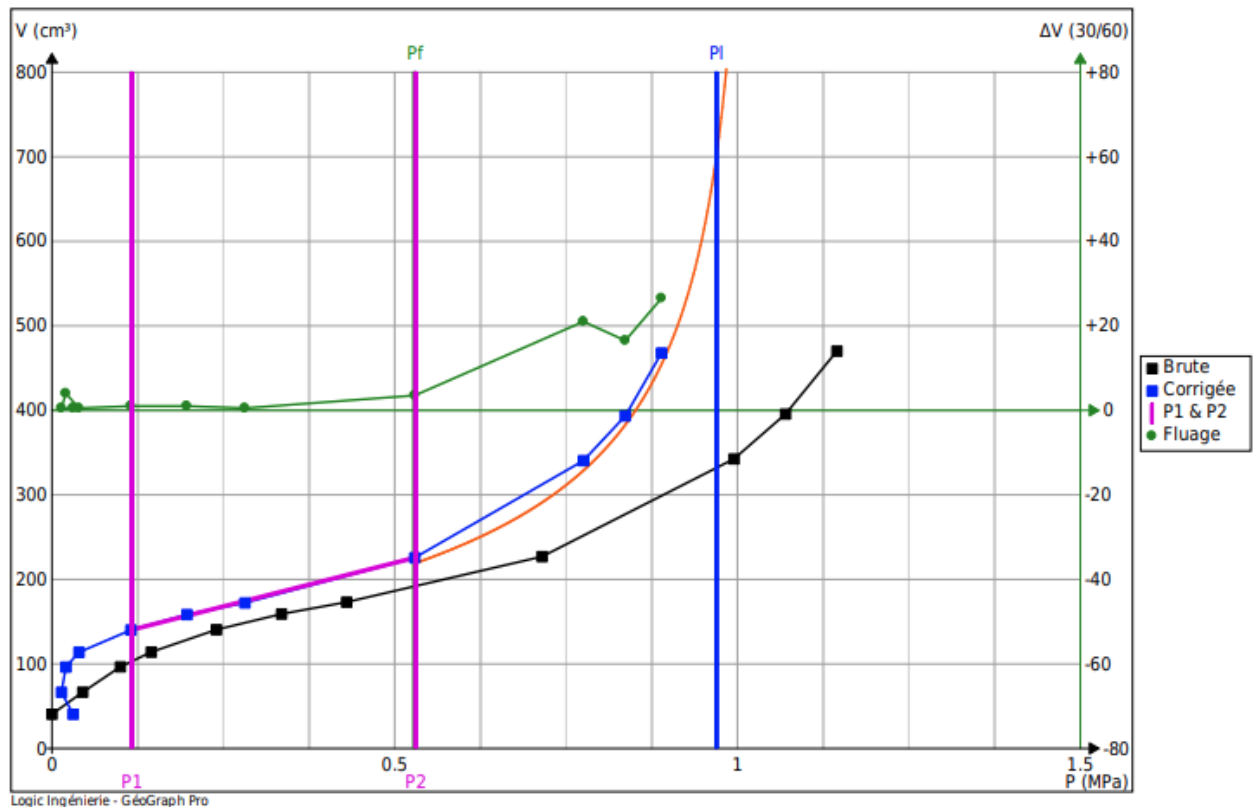
a (cm³/MPa) : 2.00

Vc (cm³) : 113.0

Is (mm) : 210

di (mm) : 58

Valeurs brutes	P (MPa)	0.000	0.045	0.100	0.145	0.240	0.335	0.430	0.715	0.995	1.070	1.145
V (cm³)		40.5	66.5	96.5	114.0	140.5	159.0	173.0	227.0	342.5	395.5	470.0
Valeurs corrigées	P (MPa)	0.031	0.014	0.020	0.040	0.115	0.197	0.282	0.529	0.775	0.836	0.889
V (cm³)		40.5	66.4	96.3	113.7	140.0	158.3	172.1	225.6	340.5	393.4	467.7



4. Synthèse

C4, C5 et C6 :

- Dallage en béton armé de 17,5 cm à 19 cm d'épaisseur
- Qualité du béton estimée C30/37
- Ferrailage en place : RL3xRL4, esp = NC
- Présence de joints de retraits
- Module Em à -1,00 m = 8,04 MPa

IV. RESULTATS DES INVESTIGATIONS – BÂTIMENT 430

A. Reconnaissance de la charpente

Le bâtiment 430 est constitué d'une zone hangar et d'une zone de bureau.



Bâtiment 430

La charpente métallique du hangar est constituée de portiques en profilés IPE, régulièrement espacés.

Les pannes de la charpente sont des IPE160 et la couverture est en bac acier avec un isolant et une étanchéité bitumineuse.

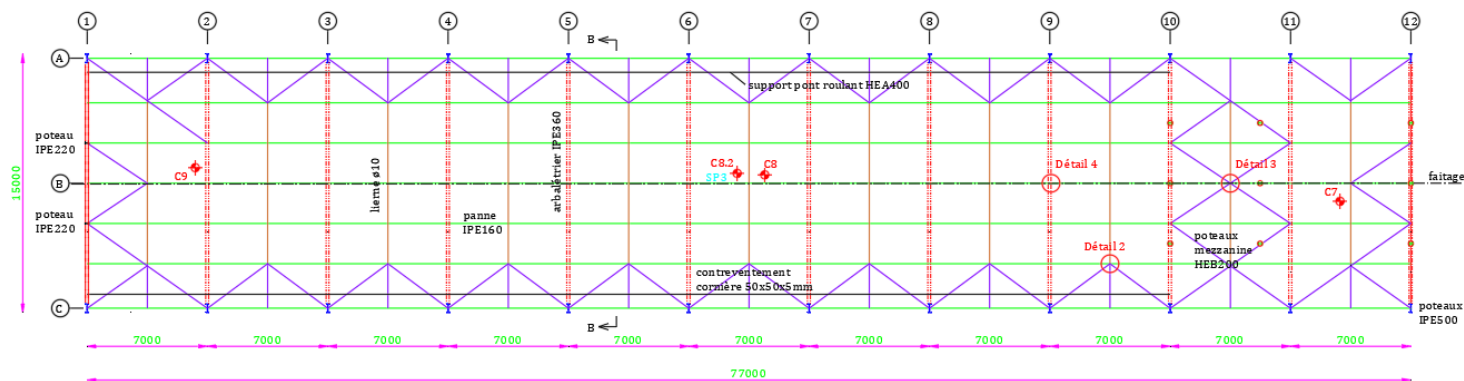
Un pont roulant est présent sur deux rails reposant sur les poteaux des portiques de la charpente.

Les relevés ont permis de réaliser les plans et coupes suivants :

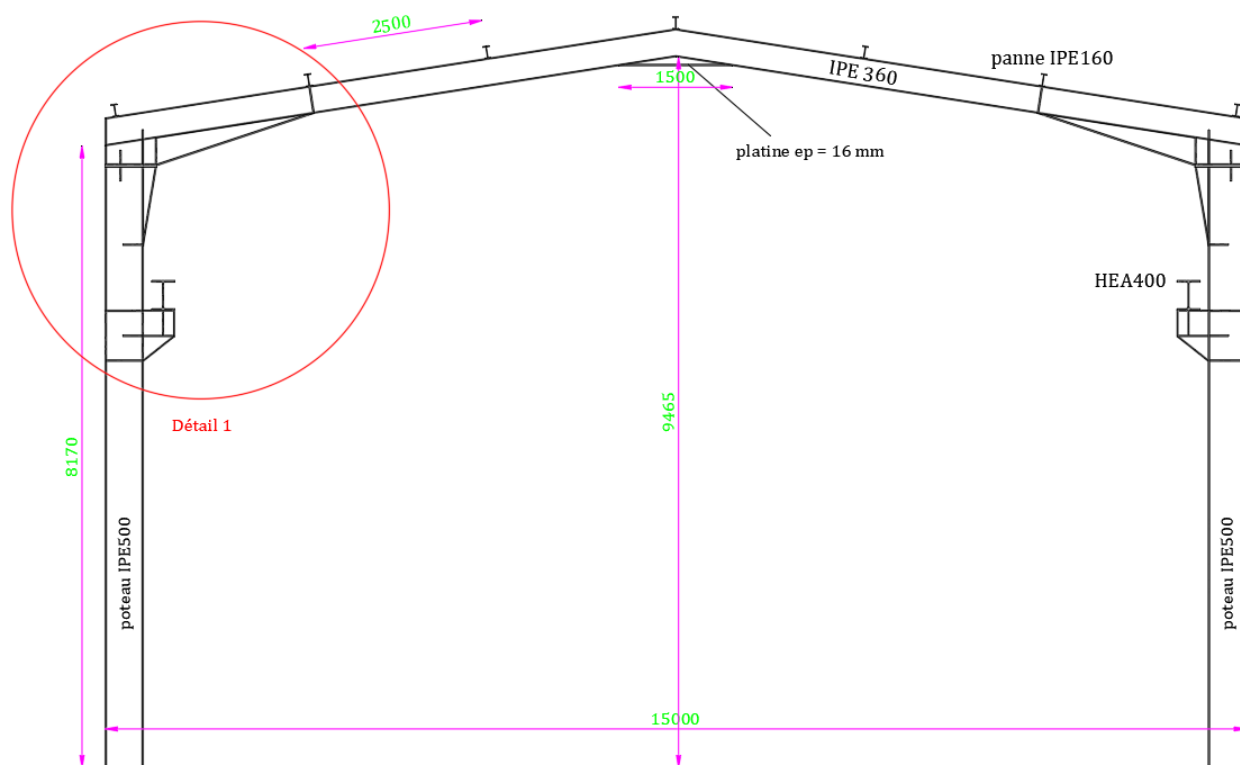
Une vue en plan de la charpente visible en annexe 2a.

Une coupe AA de la charpente visible en annexe 2b.

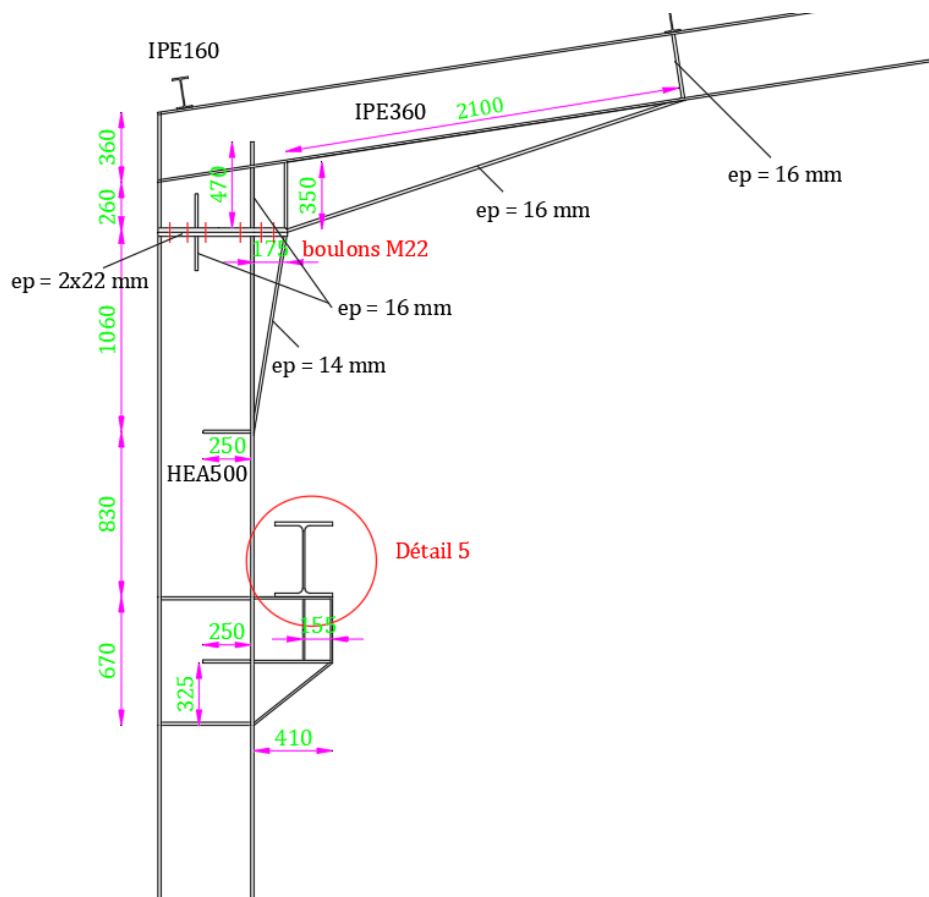
Un carnet de détail de la charpente visible en annexe 2c.



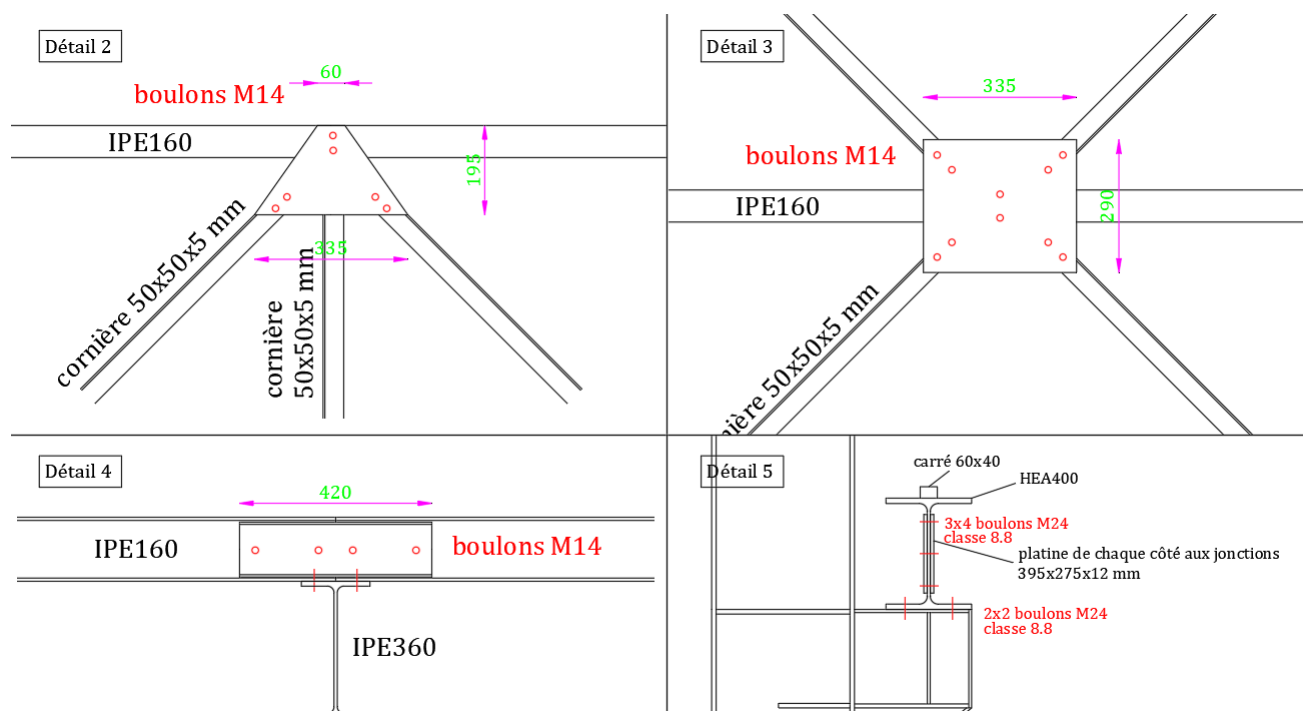
Vue en plan de la charpente



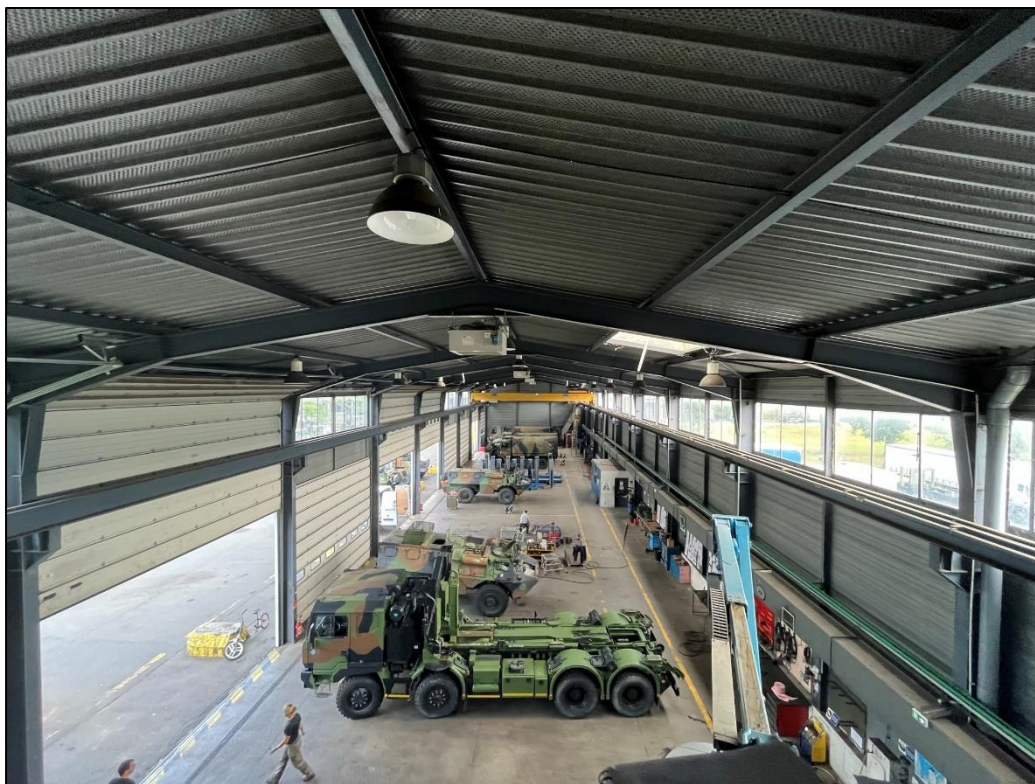
Coupe BB de la charpente



Détail 1



Détails 2 à 5



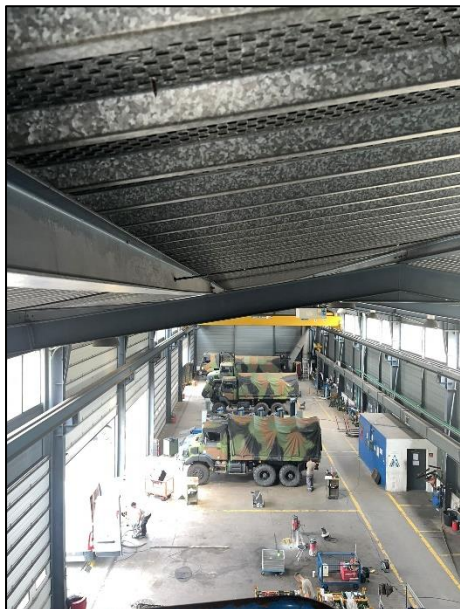
Vue générale de la charpente



Vue de la toiture depuis l'extérieur



Détail de l'assemblage arbalétrier sur poteau (Détail 1)



Lierne entre pannes



Contreventement



Poutre du pont roulant sur appui



Panne sur arbalétrier



Faitage

B. Reconnaissances du dallage

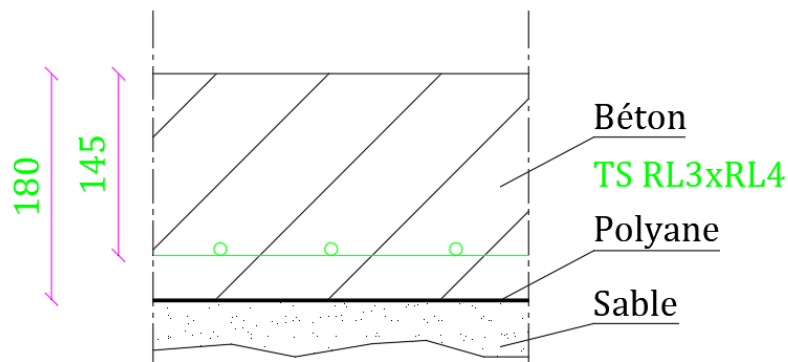
1. Caractéristiques du dallage

Des investigations ont été menées au niveau du dallage du hangar afin d'en définir les caractéristiques et permettre le recalcul de la capacité portante du dallage.

Ainsi, trois carottages ont été effectués pour définir la constitution du dallage, son ferrailage et estimer sa qualité.

Les résultats sont les suivants :

Carottage C7 : dallage béton armé



Coupe schématique du dallage au droit du carottage C7



Photographie du carottage C7

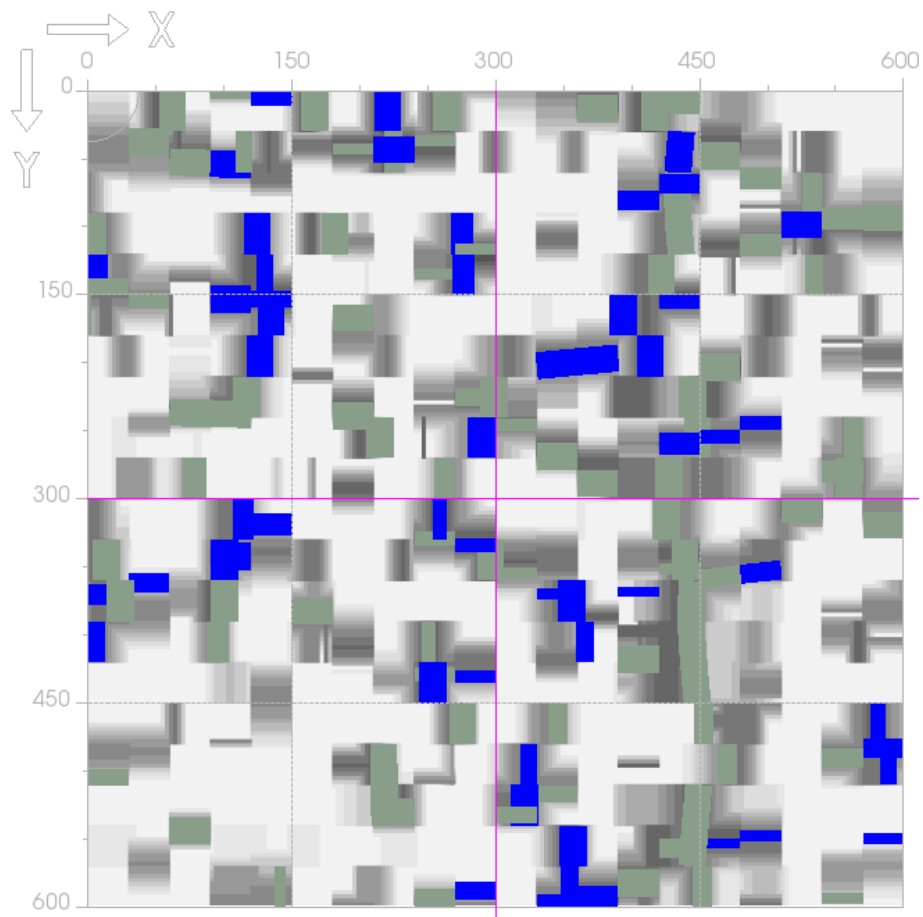
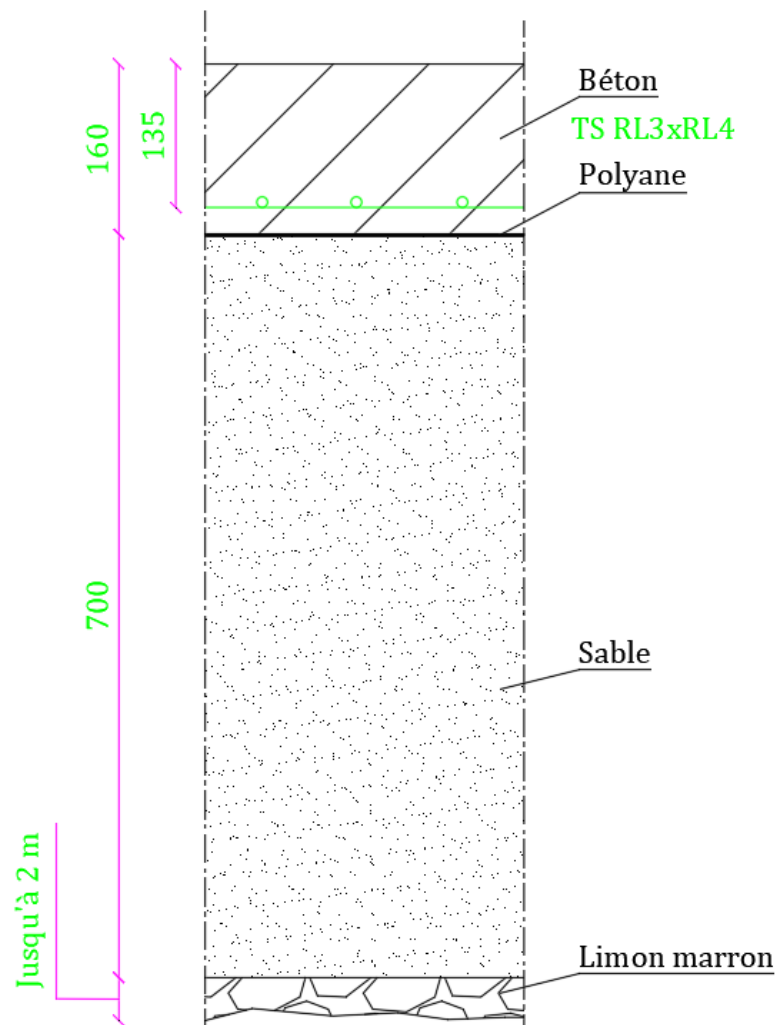


Image ferroskan en surface du dallage au droit de C7
– ferrailage trop profond non détecté

Carottage C8 : dallage béton armé



Coupe schématique du dallage au droit du carottage C8



Photographie du carottage C8

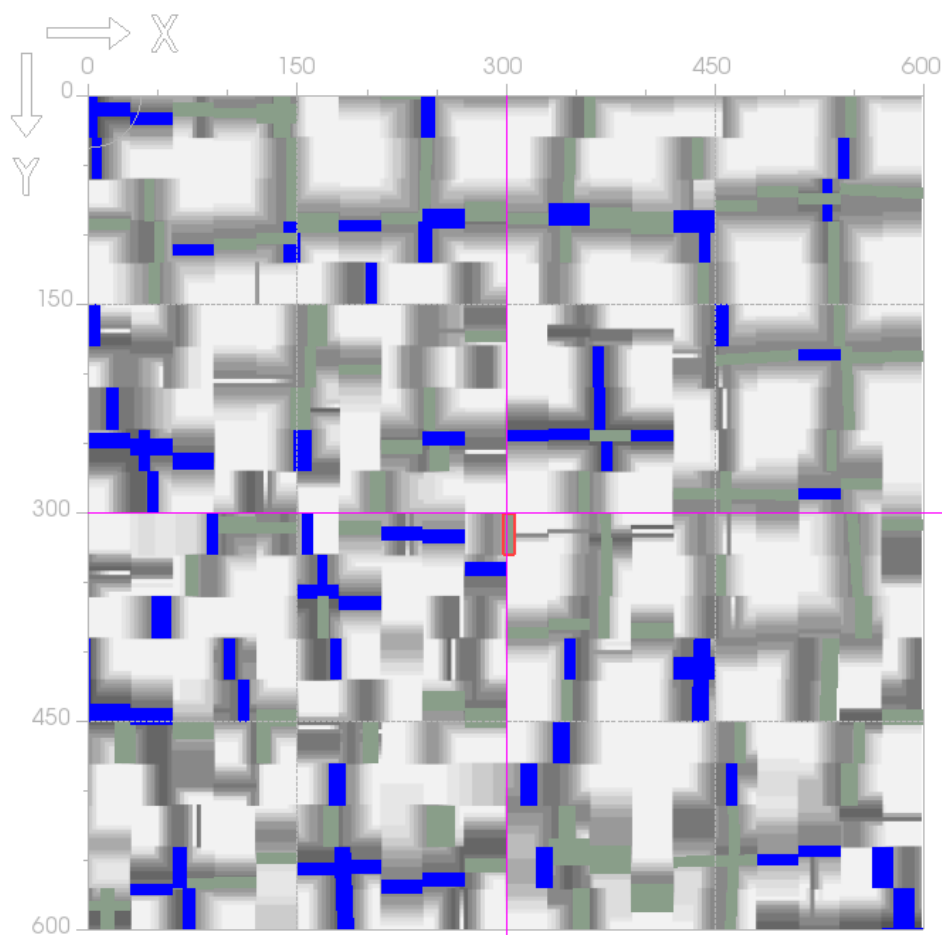
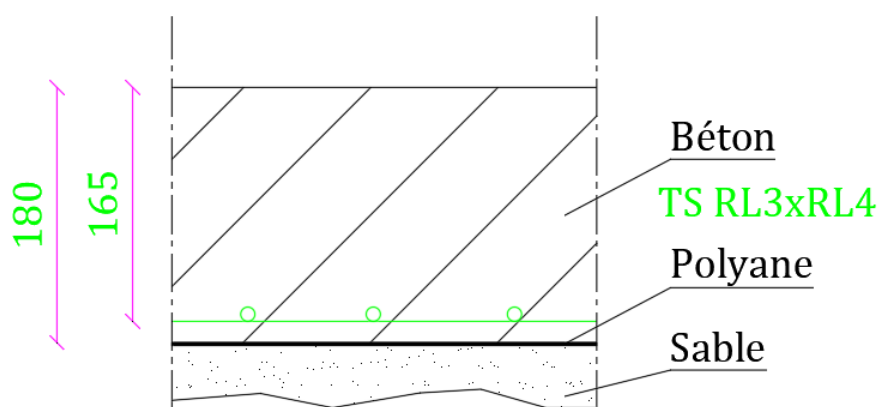


Image ferroskan en surface du dallage au droit de C8
 – ferrailage trop profond non détecté

Carottage C9 : dallage béton armé



Coupe schématique du dallage au droit du carottage C9



Photographie du carottage C9

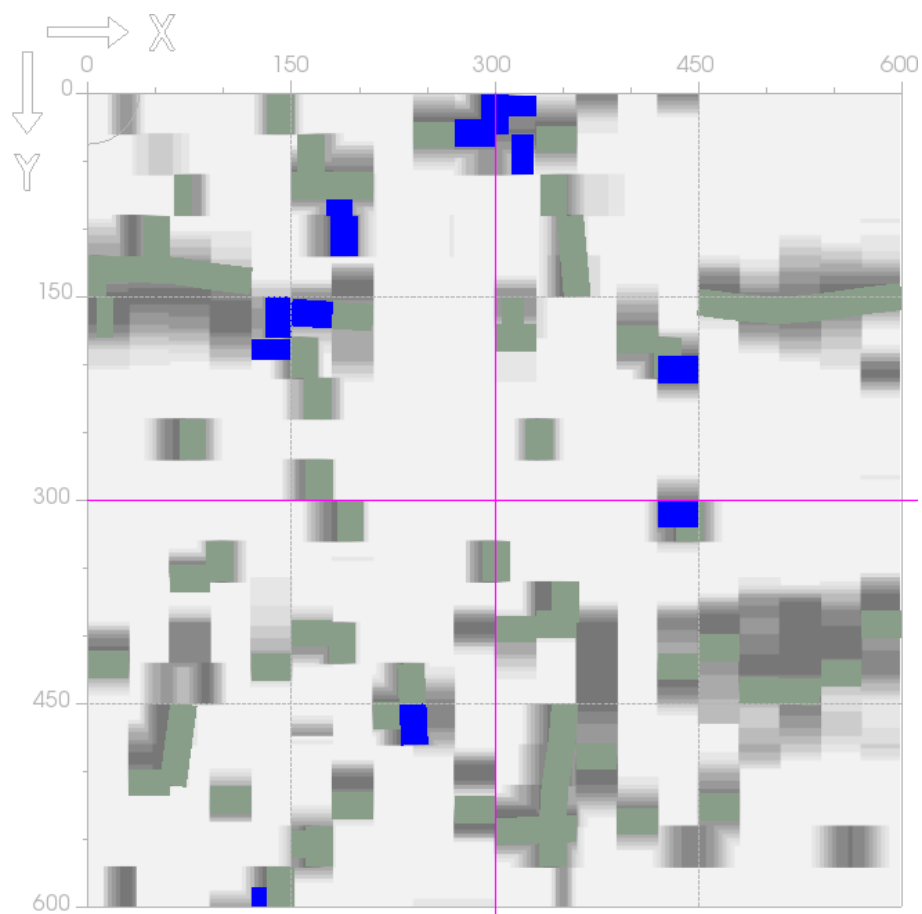


Image ferroskan en surface du dallage au droit de C9
– ferrailage trop profond non détecté

2. Qualité du béton

Trois essais de compression ont été effectués sur les carottes afin d'avoir un avis sur la qualité du béton. Les prélèvements ont été rectifiés avant essai, la résistance indiquée est donc la résistance à cœur du béton. Les essais ont été réalisés conformément à la norme NF EN 12390-3, le 31/08/2022.

Les résultats sont les suivants :

Rectification pour la compression : Rectifieuse
Système de mesure : Presse controlab – 3000KN – classe 1

Prélèvement	Caractéristiques des éprouvettes				Densité	Charge à la rupture (KN)	Résistance à la compression (MPa)	Conformité de la rupture	
	Diamètre (mm)	Hauteur (mm)	H/D	Masse (g)				C	NC
C7	93	166	1.8	2541	2.25	190	27.9	X	
C8	73	146	2.0	1424	2.33	139	33.2	X	
C9	93	155	1.7	2471	2.35	209	30.0	X	
Moyenne							30.4		

Classe de résistance estimée selon NF EN 206/CN = C30/37.

Nota (Rappel sur les recommandations de la norme NF EN 13791) :

Pour une zone d'essai donnée, l'évaluation de la résistance caractéristique à la compression des bétons doit reposer sur au moins 3 prélèvements. Ce nombre minimal de 3 éprouvettes se rapporte à des carottes ayant un diamètre d'au moins 100 mm. Lorsque le diamètre des carottes est inférieur à 100 mm, la norme NF EN 13791 recommande d'augmenter le nombre de carottes. La recommandation repose sur le nombre de prélèvements à retenir en fonction du diamètre : $N = (0,12 \times \varnothing) + 15$ avec \varnothing en mm. Ex : pour un diamètre $\varnothing = 71$ mm, un nombre minimum de 7 prélèvements doit être réalisé afin d'évaluer la résistance caractéristique à la compression des bétons selon les recommandations de la norme NF EN 13791.

3. Essai pressiométrique

Un essai pressiométrique a été réalisé sous le dallage dans le carottage C8 afin de déterminer le module E_m du sol sous-jacent.

Il s'avère que le sol sous-jacent est constitué de sable sur 70 cm puis de limon marron.

Les résultats des essais sont les suivants :

SP3 (dans le carottage C8) :

Type de sonde : Sonde 44 - Tube fendu Ø 55mm

Type de forage : (type de forage inconnu)

Inertie : 1 (du 27/06/2022)

Calibrage : calibrage (du 31/05/2022)

Profondeur de l'essai (-Zs) : 1.35 m

Hauteur du C.P.V. (Zc) : 1.60 m

Nappe d'eau (-Zw) : Inconnu

E_m (MPa) : 11.179
 Pf^* (MPa) : 0.427
 PI^* (MPa) : 1.077

E_m/PI^* : 10.380

PI^*/Pf^* : 2.524

σ_{hs} (MPa) : 0.012

P_{el} (MPa) : 0.322

V_{el} (cm³) : 550

$P1$ (MPa) : 0.126

$V1$ (cm³) : 125.0

$P2$ (MPa) : 0.439

$V2$ (cm³) : 168.8

V_s (cm³) : 441.9

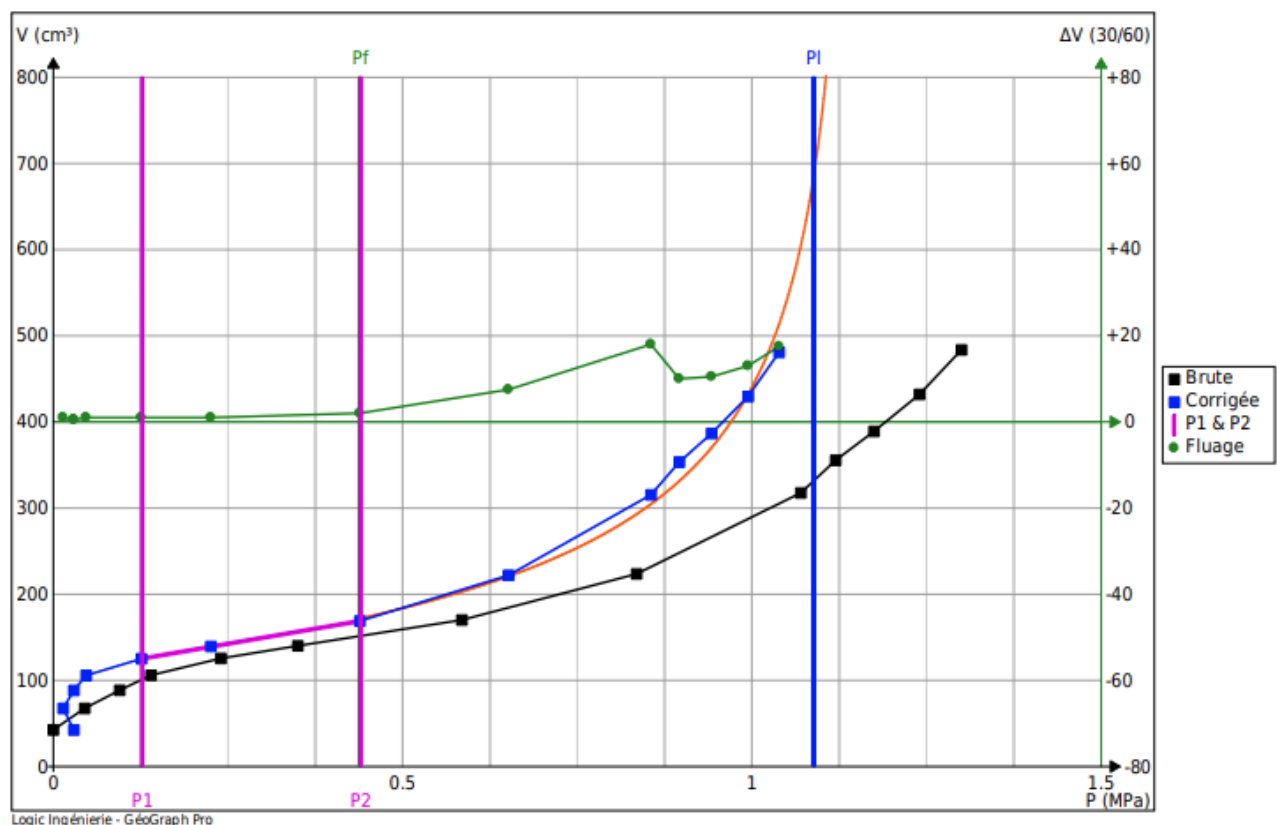
a (cm³/MPa) : 2.00

V_c (cm³) : 113.0

l_s (mm) : 210

d_i (mm) : 58

Valeurs brutes	P (MPa)	0.000	0.045	0.095	0.140	0.240	0.350	0.585	0.835	1.070	1.120	1.175	1.240	1.300
	V (cm ³)	42.5	67.5	88.5	106.0	125.5	140.0	170.0	223.5	317.5	355.5	389.0	432.0	483.5
Valeurs corrigées	P (MPa)	0.030	0.014	0.030	0.047	0.126	0.226	0.439	0.652	0.856	0.896	0.942	0.995	1.039
	V (cm ³)	42.5	67.4	88.3	105.7	125.0	139.3	168.8	221.8	315.4	353.3	386.6	429.5	480.9



4. Synthèse

C7, C8 et C9 :

- Dallage en béton armé de 16 cm à 18 cm d'épaisseur
- Qualité du béton estimée C30/37
- Ferrailage en place : RL3xRL4, esp = NC
- Présence de joints de retraits
- Module Em à -1,00 m = 11,18 MPa

V. RESULTATS DES INVESTIGATIONS – BÂTIMENT 435

A. Reconnaissance de la charpente

Le bâtiment 435 est constitué d'une zone hangar et d'une zone de bureau.



Bâtiment 435

La charpente métallique du hangar est constituée d'une poutre principale au faitage en IPE 500 reposant sur des murs de refend en béton. Des arbalétriers en IPE300 prennent appui sur le profilé IPE500 au faitage et reposent sur des poteaux BA en rive.

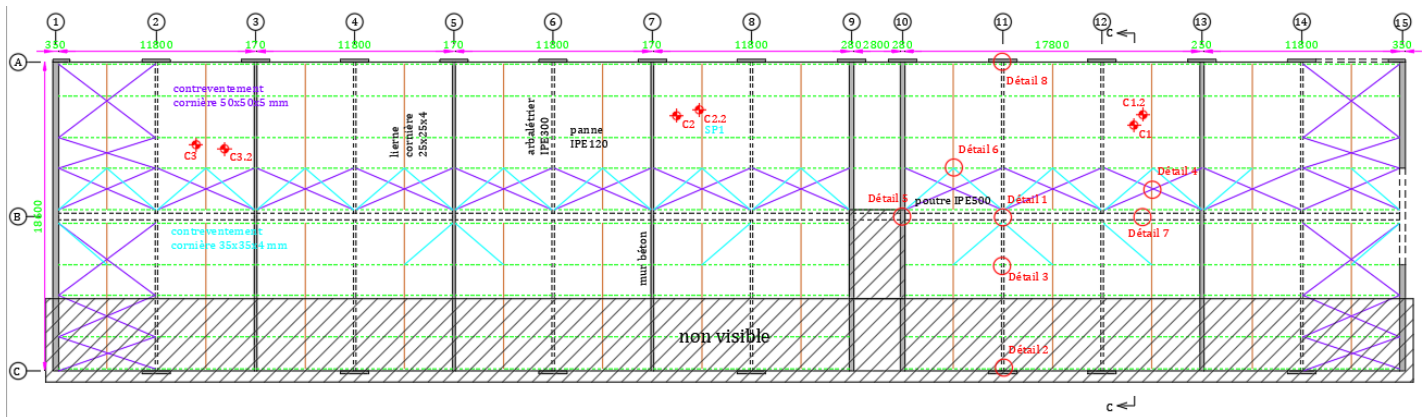
Les pannes de la charpente sont des IPE120 et la couverture est en panneau sandwich isolé (polystyrène).

Les relevés ont permis de réaliser les plans et coupes suivants :

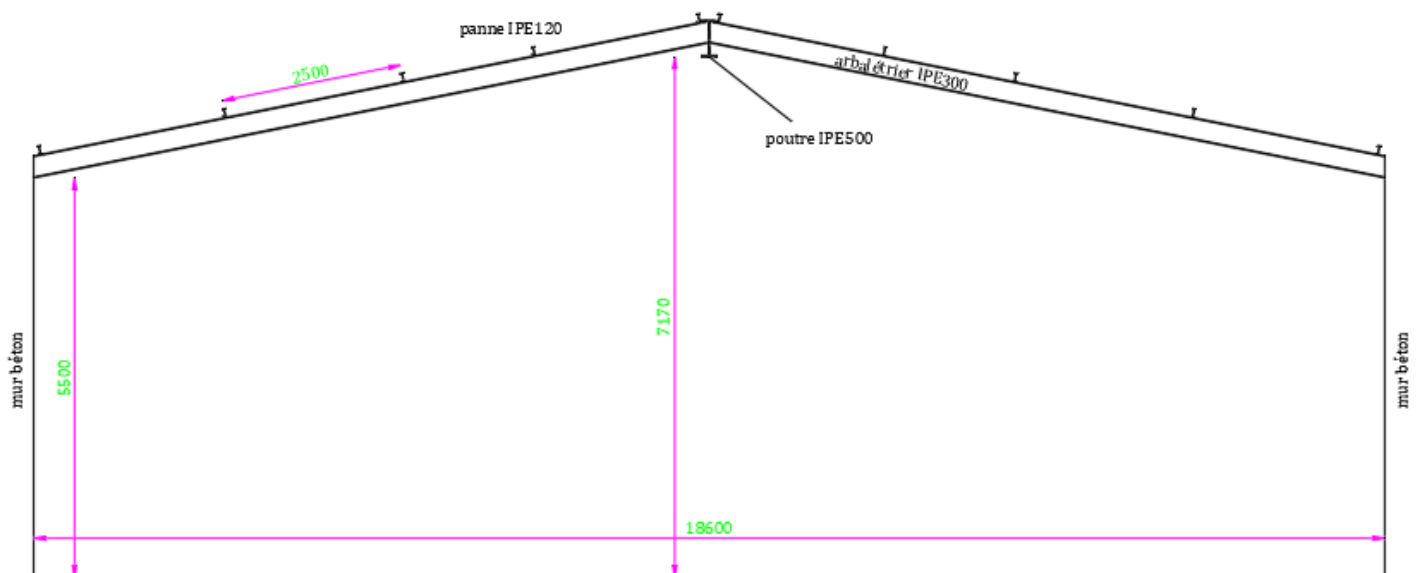
Une vue en plan de la charpente visible en annexe 3a.

Une coupe AA de la charpente visible en annexe 3b.

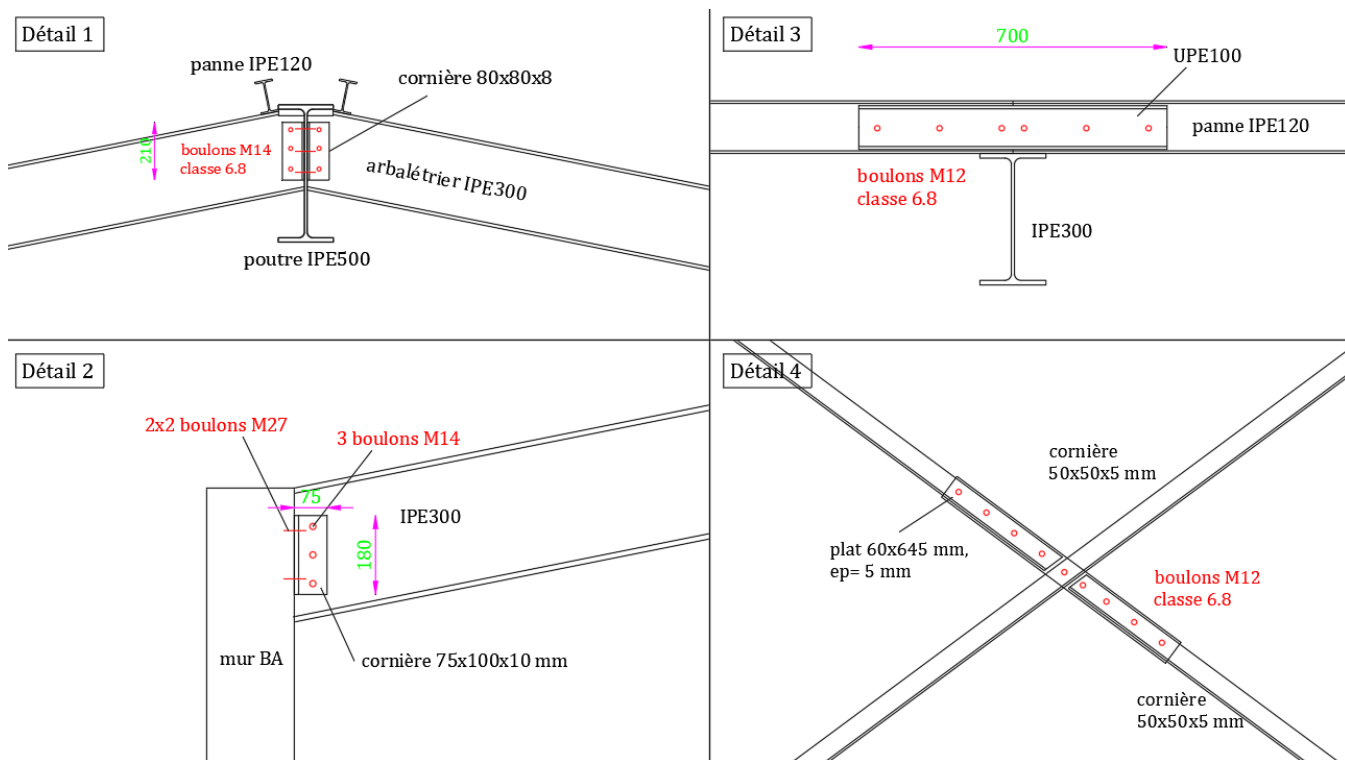
Un carnet de détail de la charpente visible en annexe 3c.



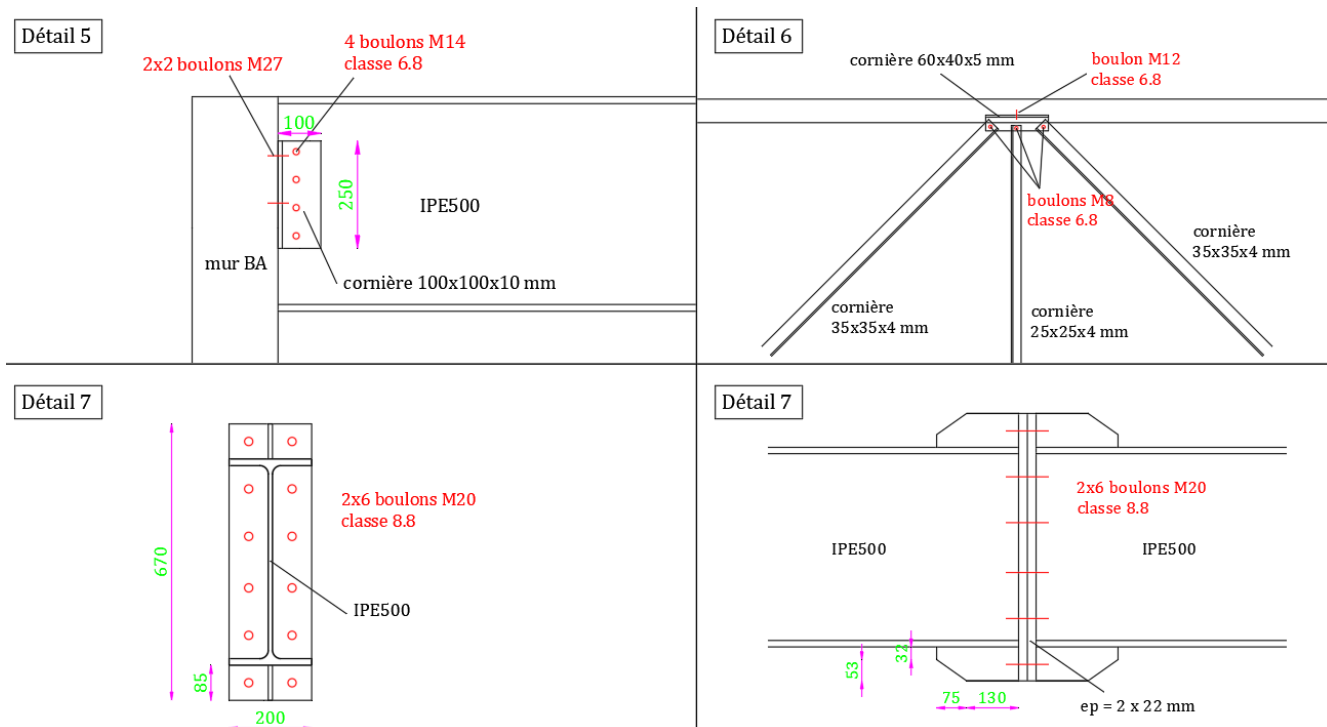
Vue en plan de la charpente



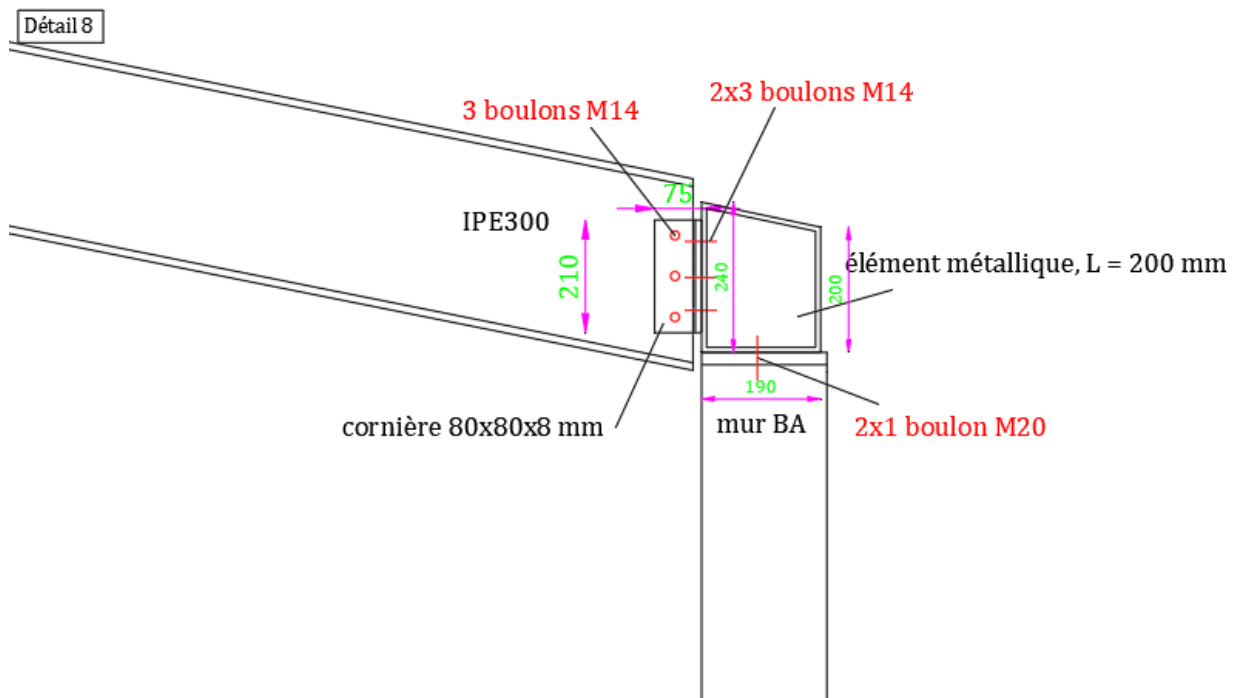
Coupe CC de la charpente



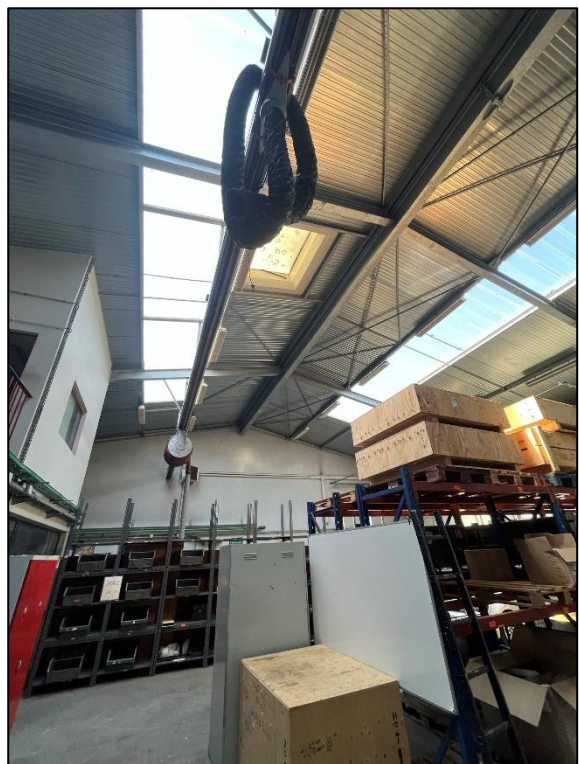
Détails 1 à 4



Détails 5 à 7



Détail 8



Vues générales de la charpente



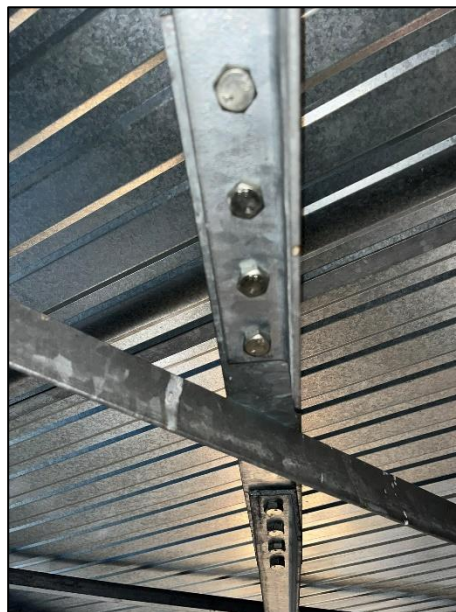
Détail 1



Assemblage contreventement



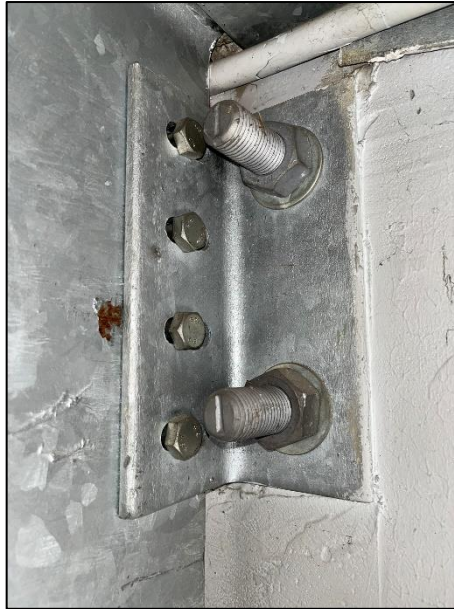
Détail 6



Détail 4



IPE 500 au faitage



Détail 5



Détail 2



Détail 8



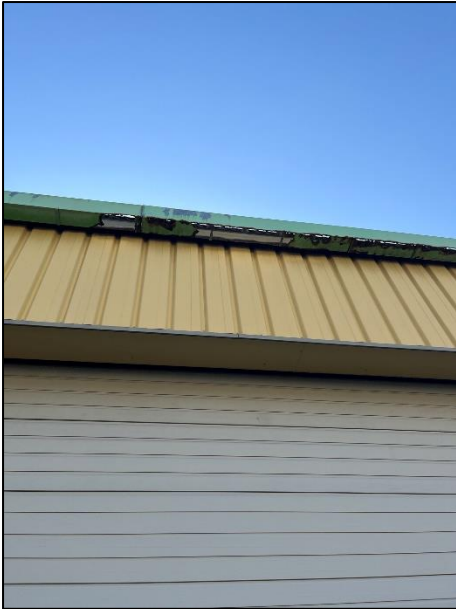
Détail 7



Détail 3



Couverture



Chéneaux complètement dégradés



Infiltrations dans le bâtiment

Il a été constaté quelques désordres au niveau de ce bâtiment notamment au niveau des gouttières sur la façade avant du bâtiment qui sont à remplacer car complètement percées par la corrosion. De même, il a été constaté des infiltrations d'eaux dans les 3 cages d'escalier du bâtiment entrainant le cloquage des peintures et la ruine des faux plafonds. Le phénomène doit être traité avant qu'il n'affecte la structure.

B. Reconnaissances du dallage

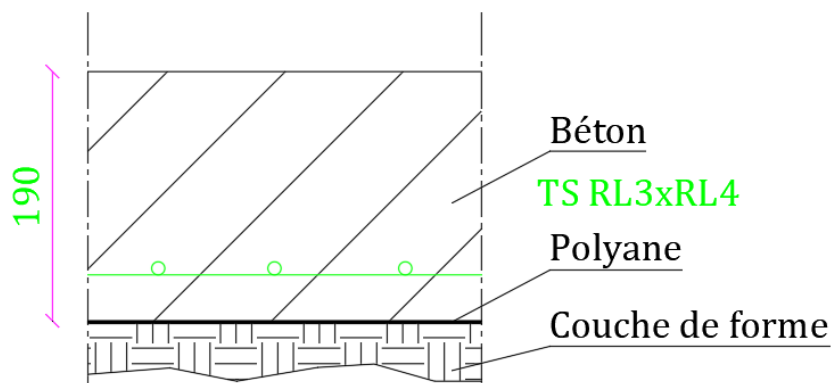
1. Caractéristiques du dallage

Des investigations ont été menées au niveau du dallage du hangar afin d'en définir les caractéristiques et permettre le recalcul de la capacité portante du dallage.

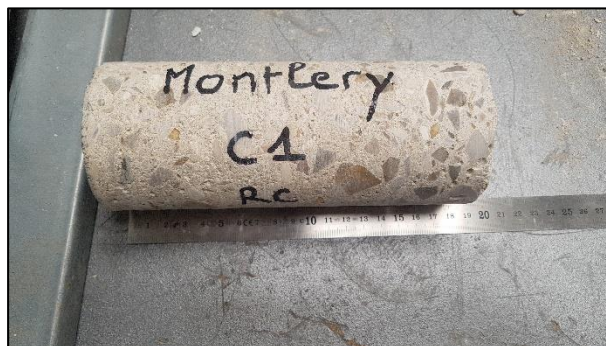
Ainsi, trois carottages ont été effectués pour définir la constitution du dallage, son ferrailage et estimer sa qualité.

Les résultats sont les suivants :

Carottage C1 : dallage béton armé



Coupe schématique du dallage au droit du carottage C1



Photographie du carottage C1

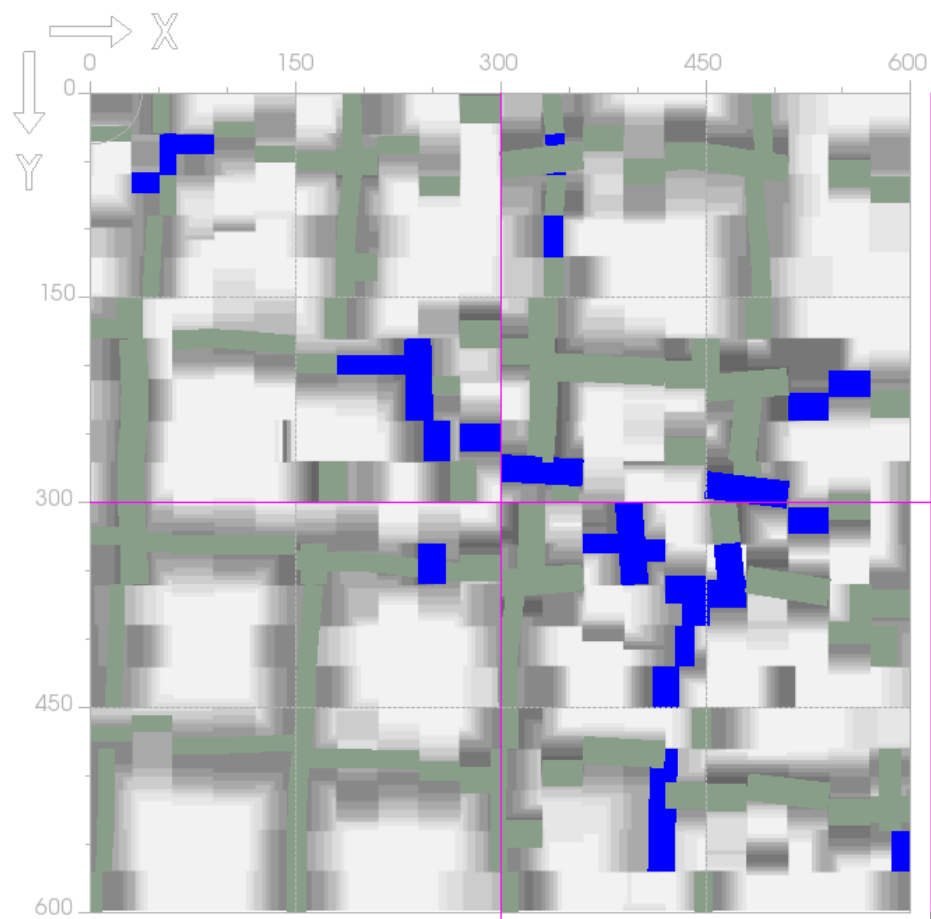
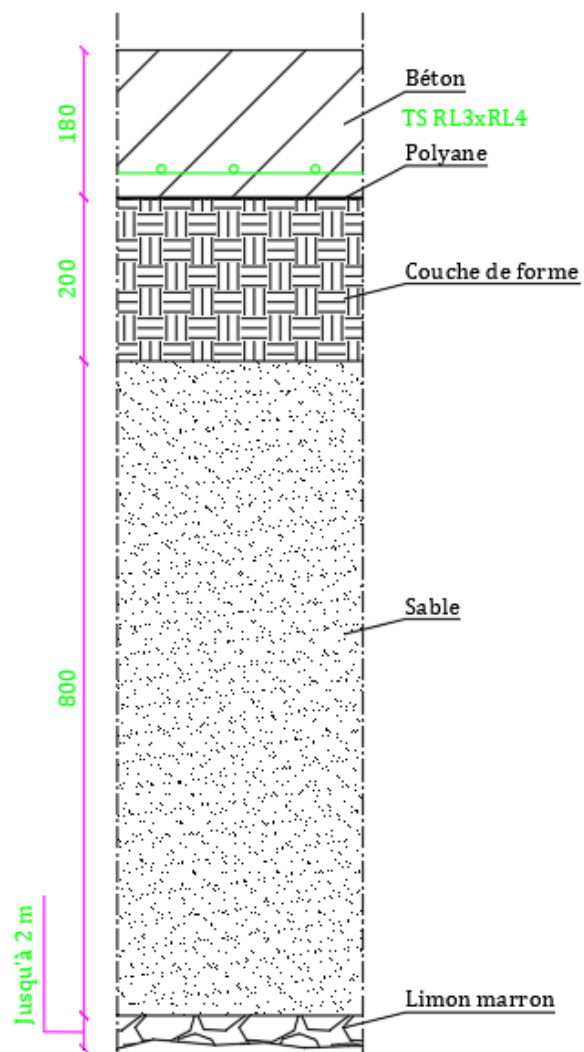


Image ferroskan en surface du dallage au droit de C1
– ferrailage trop profond, non détecté

Carottage C2 : dallage béton armé



Coupe schématique du dallage au droit du carottage C2



Photographie du carottage C2

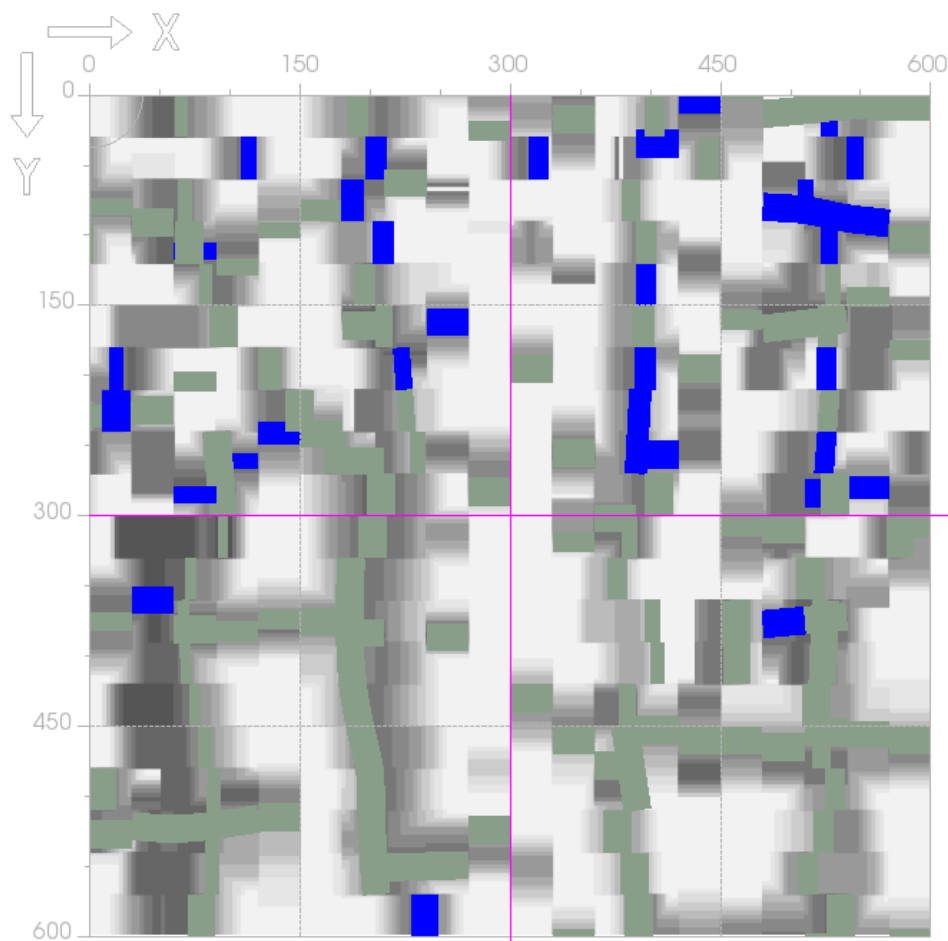
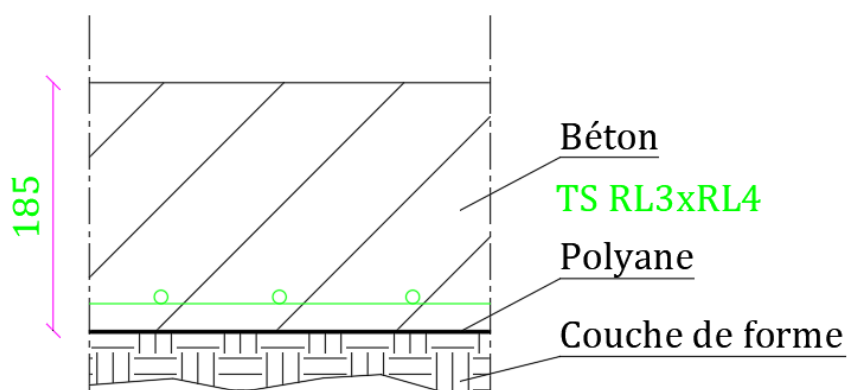


Image ferroskan en surface du dallage au droit de C2
– maillage 15x15 cm

Carottage C3 : dallage béton armé



Coupe schématique du dallage au droit du carottage C3



Photographie du carottage C3

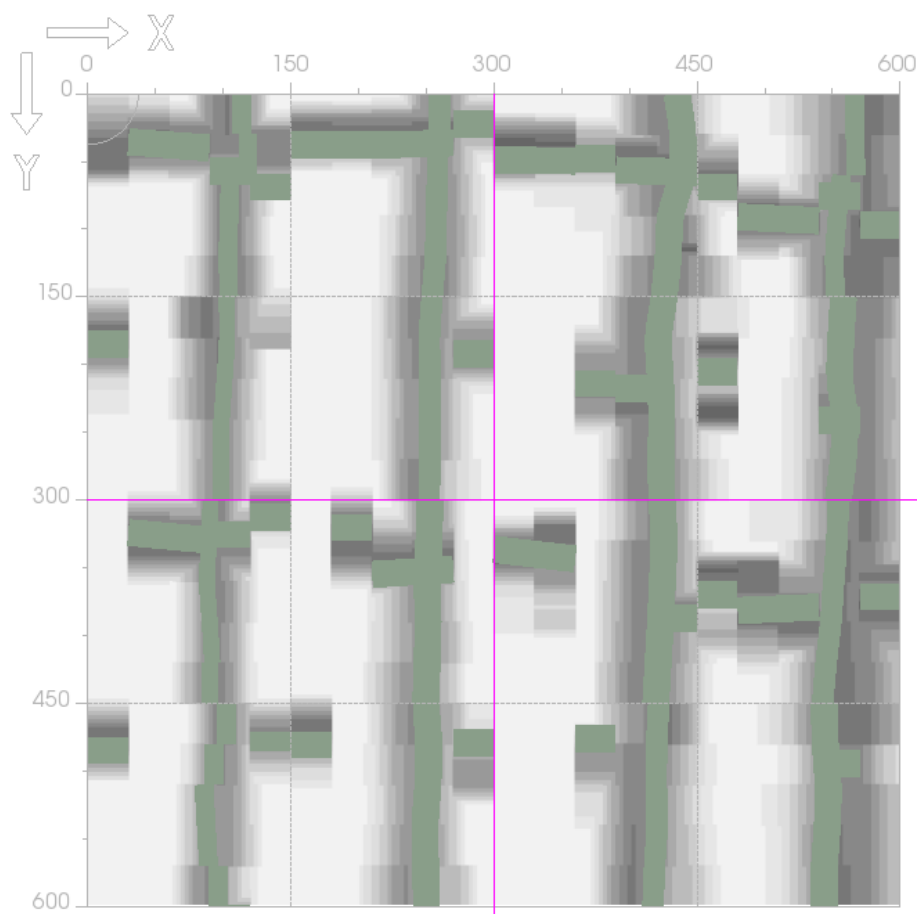


Image ferroskan en surface du dallage au droit de C3
– maillage 15x15 cm

2. Qualité du béton

Trois essais de compression ont été effectués sur les carottes afin d'avoir un avis sur la qualité du béton. Les prélèvements ont été rectifiés avant essai, la résistance indiquée est donc la résistance à cœur du béton. Les essais ont été réalisés conformément à la norme NF EN 12390-3, le 31/08/2022.

Les résultats sont les suivants :

Rectification pour la compression : Rectifieuse
Système de mesure : Presse controlab – 3000KN – classe 1

Prélèvement	Caractéristiques des éprouvettes				Densité	Charge à la rupture (KN)	Résistance à la compression (MPa)	Conformité de la rupture	
	Diamètre (mm)	Hauteur (mm)	H/D	Masse (g)				C	NC
C1	73	173	2.4	1584	2.19	70	17.3	X	
C2	73	164	2.2	1525	2.22	97	23.3	X	
C3	73	177	2.4	1683	2.27	83	19.9	X	
Moyenne							20.2		

Classe de résistance estimée selon NF EN 206/CN = C20/25.

Nota (Rappel sur les recommandations de la norme NF EN 13791) :

Pour une zone d'essai donnée, l'évaluation de la résistance caractéristique à la compression des bétons doit reposer sur au moins 3 prélèvements. Ce nombre minimal de 3 éprouvettes se rapporte à des carottes ayant un diamètre d'au moins 100 mm. Lorsque le diamètre des carottes est inférieur à 100 mm, la norme NF EN 13791 recommande d'augmenter le nombre de carottes. La recommandation repose sur le nombre de prélèvements à retenir en fonction du diamètre : $N = (0,12 \times \varnothing) + 15$ avec \varnothing en mm. Ex : pour un diamètre $\varnothing = 71$ mm, un nombre minimum de 7 prélèvements doit être réalisé afin d'évaluer la résistance caractéristique à la compression des bétons selon les recommandations de la norme NF EN 13791.

3. Essai pressiométrique

Un essai pressiométrique a été réalisé sous le dallage dans le carottage C2 afin de déterminer le module E_m du sol sous-jacent.

Il s'avère que le sol sous-jacent est constitué d'une couche de forme d'environ 20 cm puis de sable sur 80 cm puis de limon marron.

Les résultats des essais sont les suivants :

SP1 (dans le carottage C2) :

Type de sonde : Sonde 44 - Tube fendu Ø 55mm

Type de forage : (type de forage inconnu)

Inertie : 1 (du 27/06/2022)

Calibrage : calibrage (du 31/05/2022)

Profondeur de l'essai (-Zs) : 1.30 m

Hauteur du C.P.V. (Zc) : 1.60 m

Nappe d'eau (-Zw) : Inconnu

E_m (MPa) : 8.420
 Pf^* (MPa) : 0.562
 PI^* (MPa) : ≥ 0.843

E_m/PI^* : ≤ 9.994

PI^*/Pf^* : ≥ 1.499

ohs (MPa) : 0.012

Pel (MPa) : 0.322

Vel (cm³) : 550

$P1$ (MPa) : 0.129

$V1$ (cm³) : 161.4

$P2$ (MPa) : 0.550

$V2$ (cm³) : 247.5

Vs (cm³) : 441.9

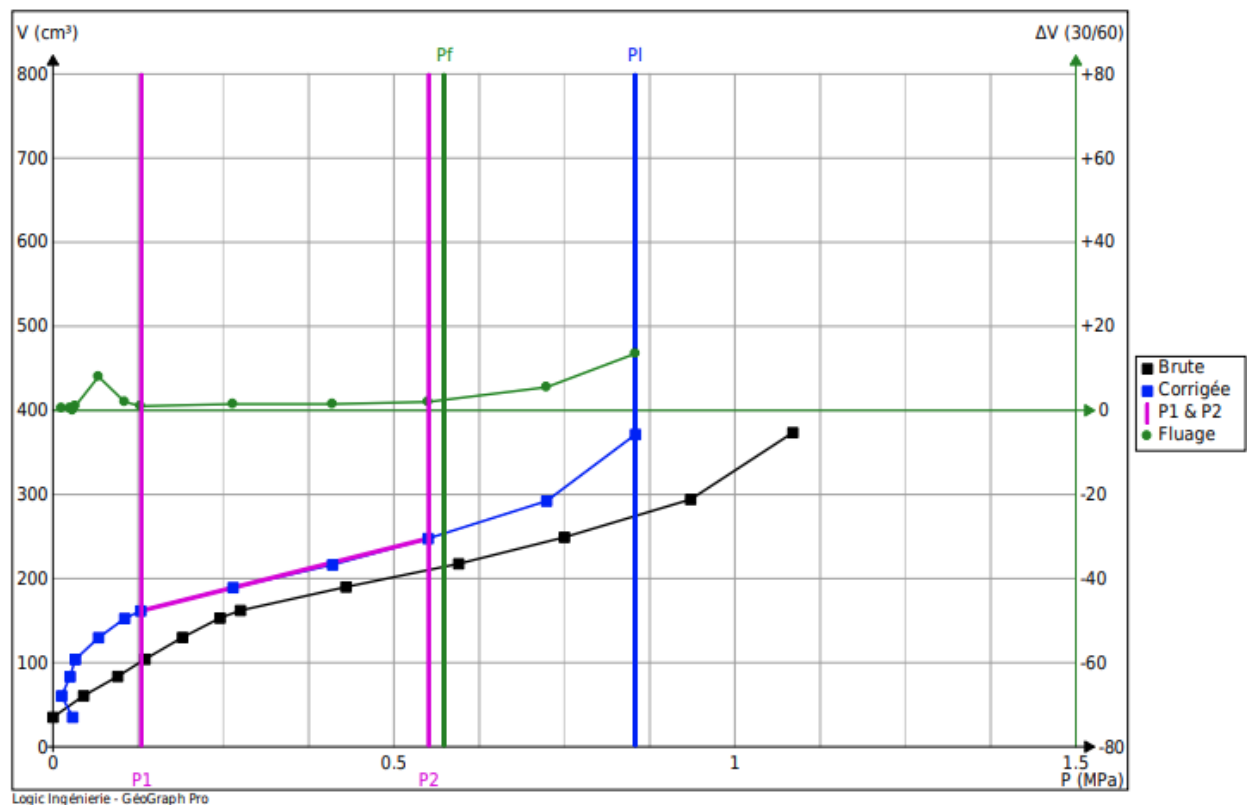
a (cm³/MPa) : 2.00

Vc (cm³) : 113.0

Is (mm) : 210

di (mm) : 58

Valeurs brutes	P (MPa)	0.000	0.045	0.095	0.135	0.190	0.245	0.275	0.430	0.595	0.750	0.935	1.085
	V (cm ³)	35.0	60.5	83.5	104.0	130.0	153.0	162.0	190.0	217.5	249.0	294.0	373.5
Valeurs corrigées	P (MPa)	0.029	0.013	0.025	0.033	0.067	0.105	0.129	0.264	0.410	0.550	0.724	0.854
	V (cm ³)	35.0	60.4	83.3	103.7	129.6	152.5	161.4	189.1	216.3	247.5	292.1	371.3



4. Synthèse

C1, C2 et C3 :

- Dallage en béton armé de 18 cm à 19 cm d'épaisseur
- Qualité du béton estimée C20/25
- Ferrailage en place : RL4xRL3, esp = 15 cm x 15 cm
- Présence de joints de retraits
- Module Em à -1,00 m = 8,42 MPa

VI. CONCLUSIONS

Un rapport de calcul est visible en annexe 4. La synthèse de calcul des charpentes et dallages des trois bâtiments objets de l'étude est visible ci-dessous.

	Charges maximum	Eléments critiques	Remarques
Charpente N° 1 (bâtiment 429)	46 kg /m ²	pannes	Les portiques (arbalétrier/poteau) sont sur dimensionnés, cependant, il est possible que le pont roulant limite encore plus la charge des portiques. (Absence d'information sur le pont roulant)
Pont Roulant (bâtiment 429)	11,5 tonnes	Poutre support HEA 240	
Dallage N° 1 (bâtiment 429)	2,00 T /m ² + 1,49 T en charge ponctuelle.	Traction dans le béton	Remblais peu compacts
Charpente N° 2 (bâtiment 430)	82 kg /m ²	pannes	Les portiques (arbalétrier/poteau) sont sur dimensionnés, cependant, il est possible que le pont roulant limite encore plus la charge des portiques. (Absence d'information sur le pont roulant)
Pont Roulant (bâtiment 430)	16 tonnes	Poutre support HEA 400	Le pont roulant peut reprendre une charge de 24 tonnes mais nous le limiterons à 16 tonnes car nous n'avons pas toutes les caractéristiques du pont roulant
Dallage N° 2 (bâtiment 430)	2,00 T /m ² + 2,02 T en charge ponctuelle.	Traction dans le béton	Remblais peu compacts
Charpente N° 3 (bâtiment 435)	14 kg /m ²	pannes et bretelle	
Dallage N° 3 (bâtiment 435)	2,00 T /m ² + 1,10 T en charge ponctuelle.	Traction dans le béton	Remblais peu compacts

VII. RECAPITULATIF DES ANNEXES

ANNEXE 1a : Vue en plan de la charpente du bâtiment 429

ANNEXE 1b : Coupe AA de la charpente du bâtiment 429

ANNEXE 1c : Détails de la charpente du bâtiment 429

ANNEXE 2a : Vue en plan de la charpente du bâtiment 430

ANNEXE 2b : Coupe BB de la charpente du bâtiment 430

ANNEXE 2c : Détails de la charpente du bâtiment 430

ANNEXE 3a : Vue en plan de la charpente du bâtiment 435

ANNEXE 3b : Coupe CC de la charpente du bâtiment 435

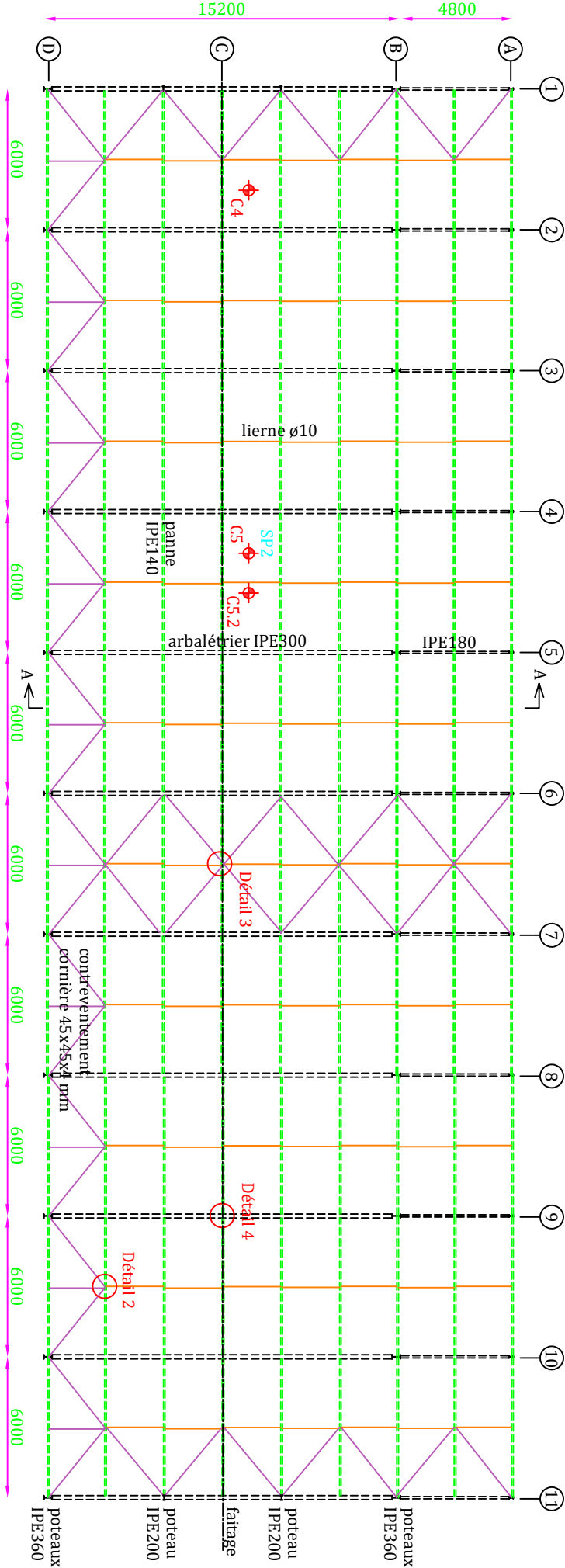
ANNEXE 3c : Détails de la charpente du bâtiment 435


ANNEXE 4 : Rapport de calcul

Le présent compte rendu doit permettre au maître d'œuvre d'envisager un programme de réhabilitation de l'ouvrage.

MasterDiag se tient à la disposition du client pour toutes informations sur le présent compte rendu.

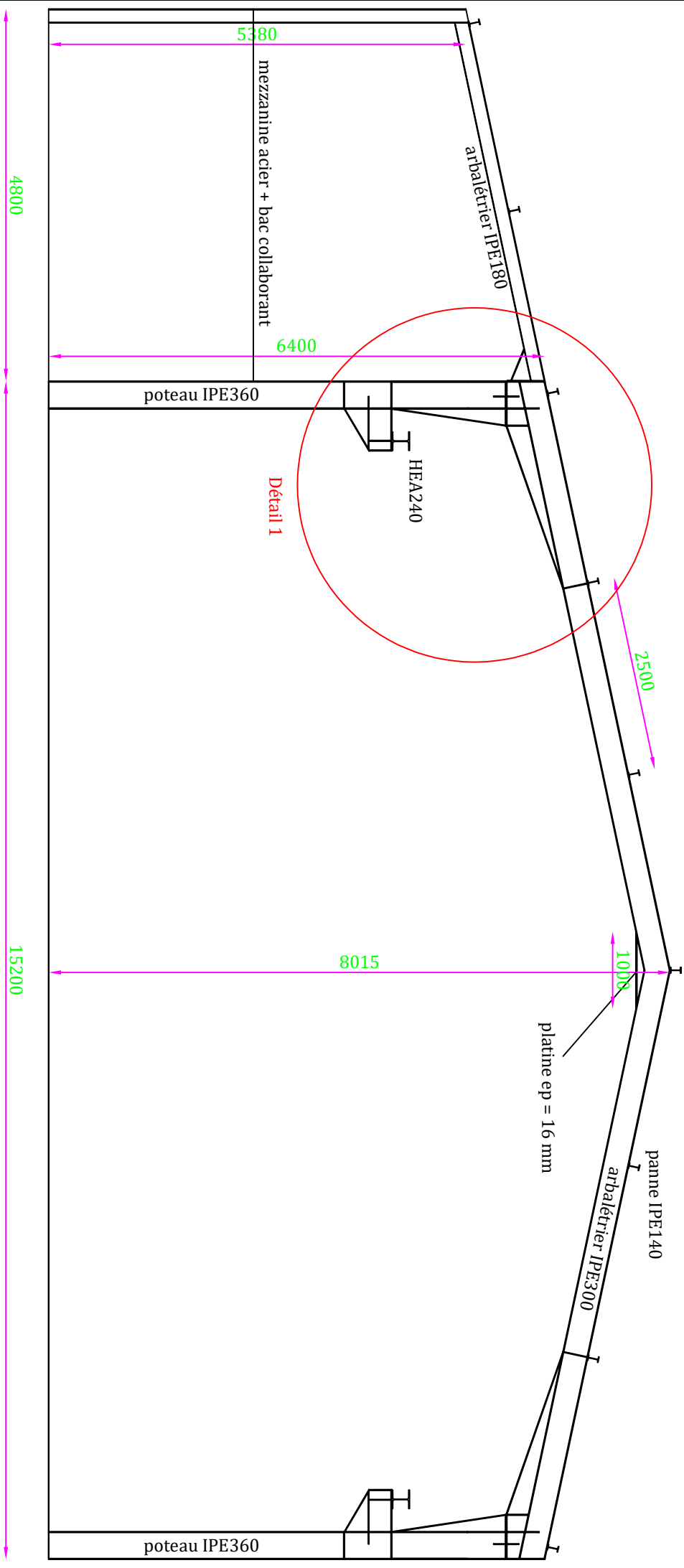
L.BOUR
Ingénieur structure



Indice		Modification		Date	Signature	
Dessiné par L.BOUR		Vérifié par V.HOUDET		Numéro de dossier D2101.246	Date 29/07/2022	Echelle
121 Régiment du Train à Montlhéry						
ESID IDF				 MASTERDIAC		

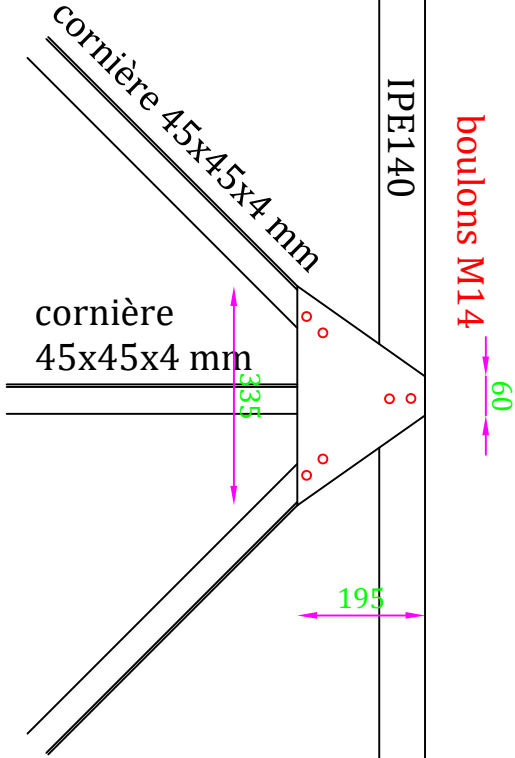


MASTERDIAG

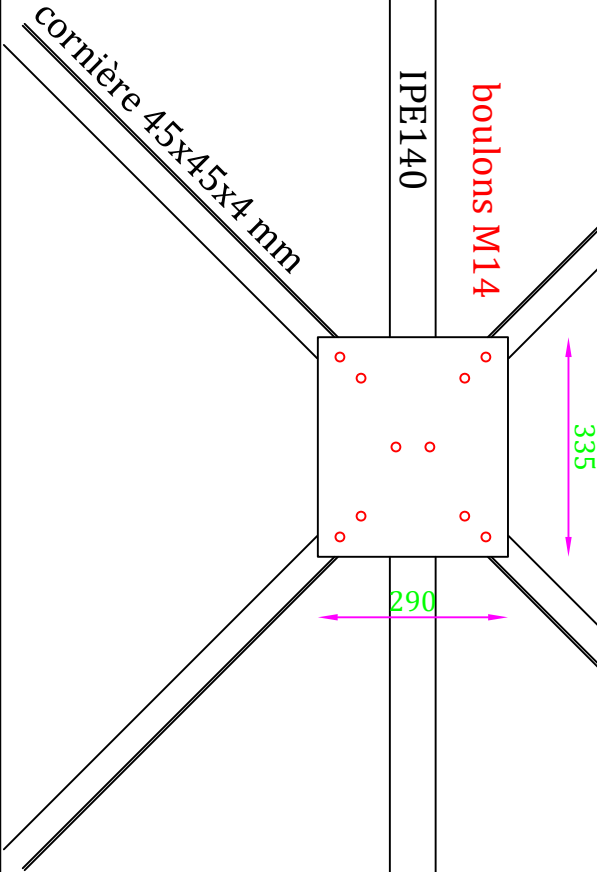


Indice	Modification		Date	Signature
Dessiné par L.BOUR	Vérifié par V.HOUDET	Número de dossier D2101.24.6	Date 29/07/2022	Echelle
121 Régiment du Train à Montlhéry		ESID IDF		

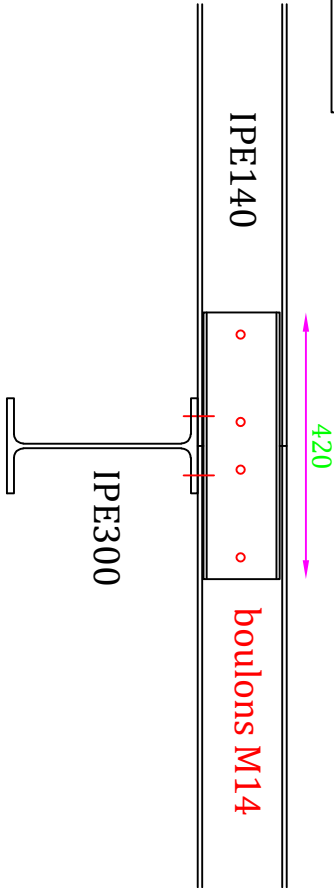
Détail 2



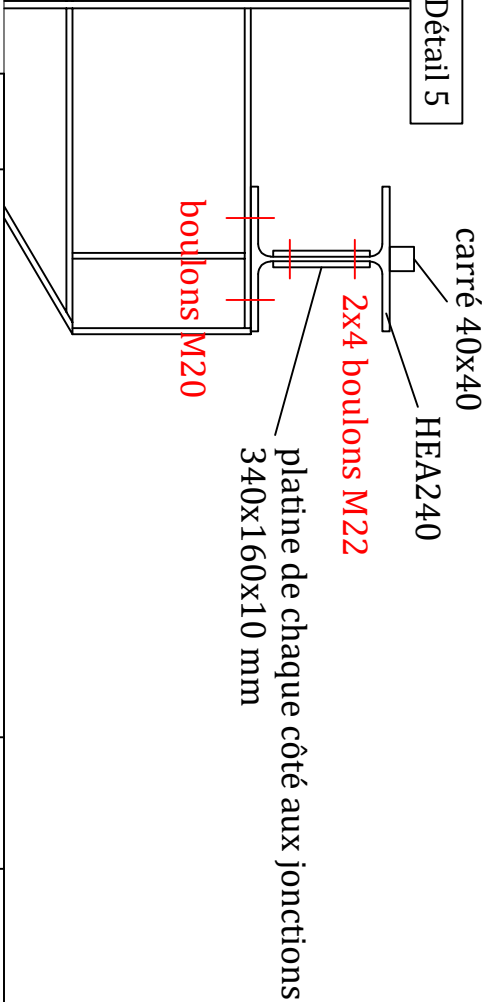
Détail 3



Détail 4



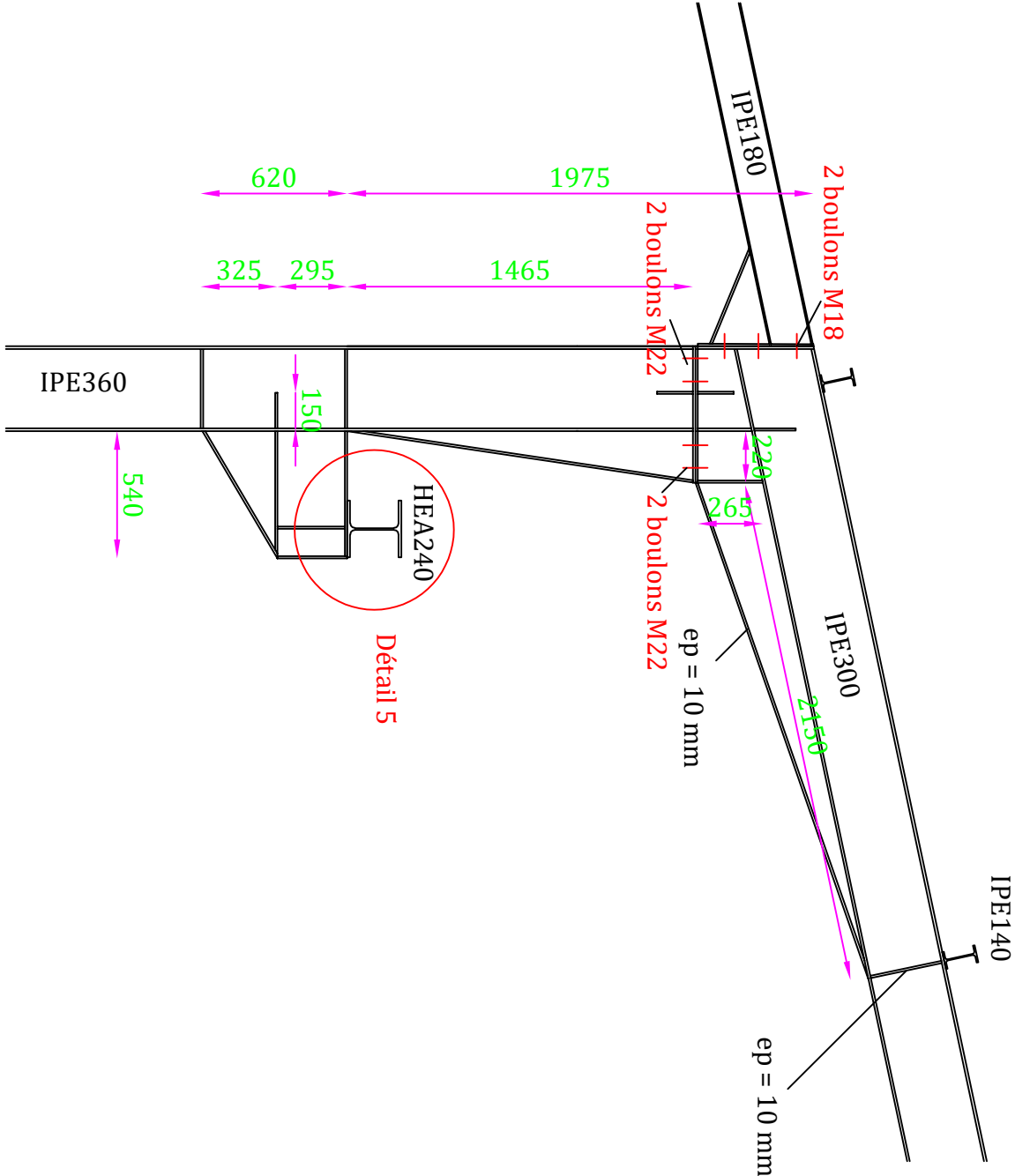
Détail 5




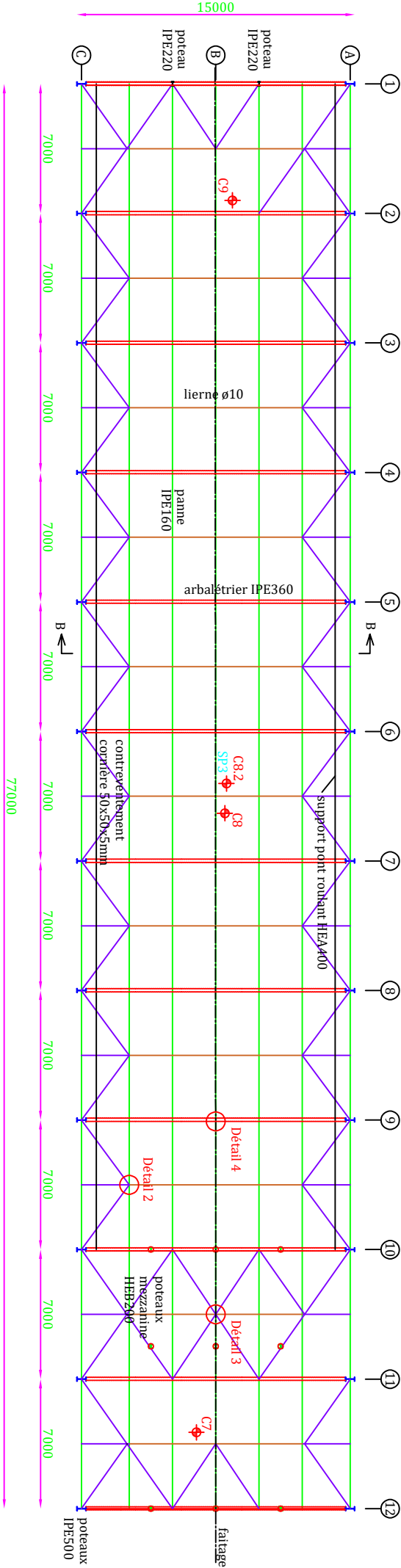
--	--	--	--	--


Indice	Modification	Date	Signature
Dessiné par L.BOUR	Vérifié par V.HOUDET	Número de dossier D2101.24.6	Date 29/07/2022
Echelle			

Détail 1



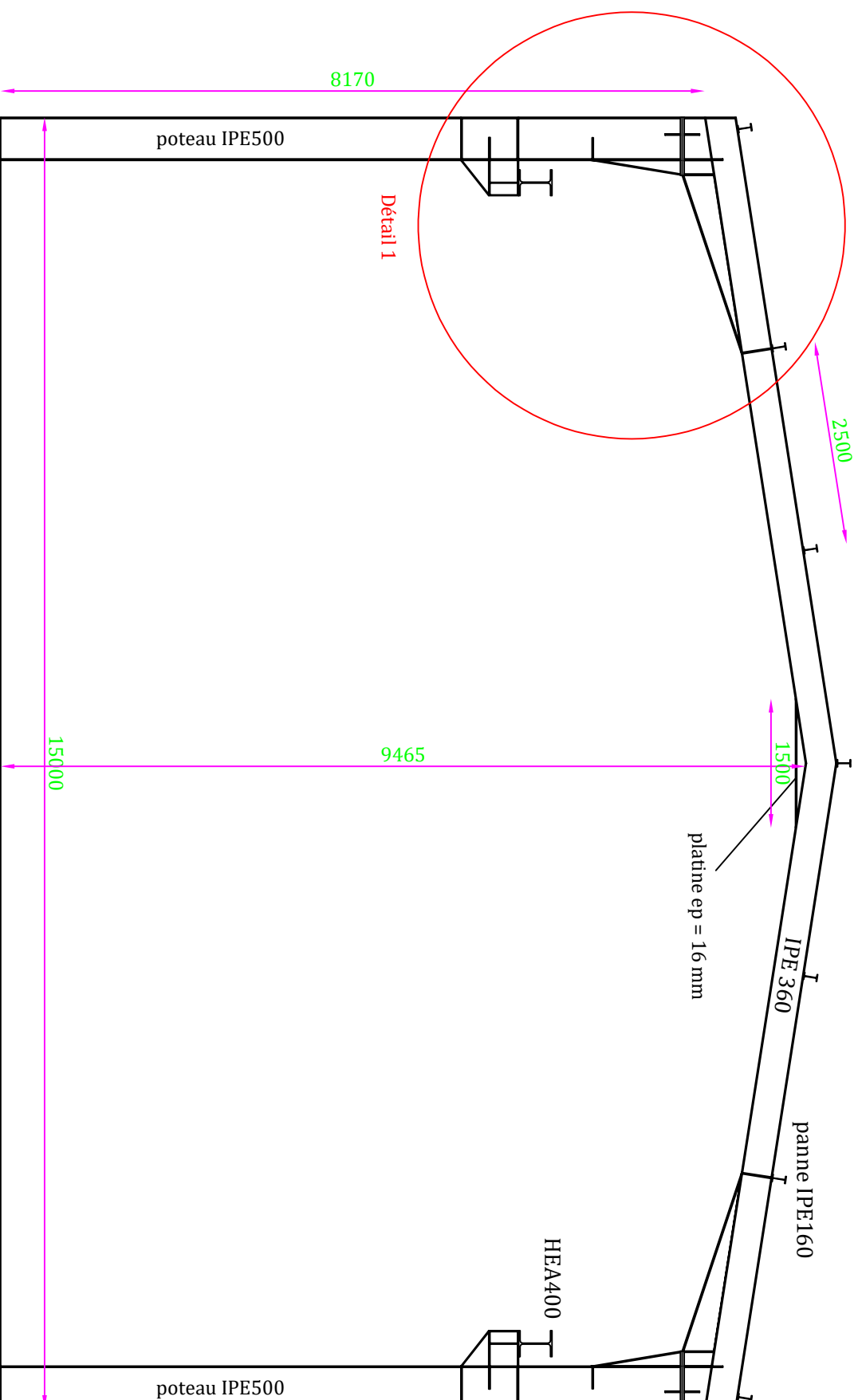
Indice	Modification			Date
Dessiné par L.BOUR	Vérifié par V.HOUDET	Numéro de dossier D2101246		Date 29/07/2022
121 Régiment du Train à Montlhéry				ESID IDF
				 MASTERDIAG




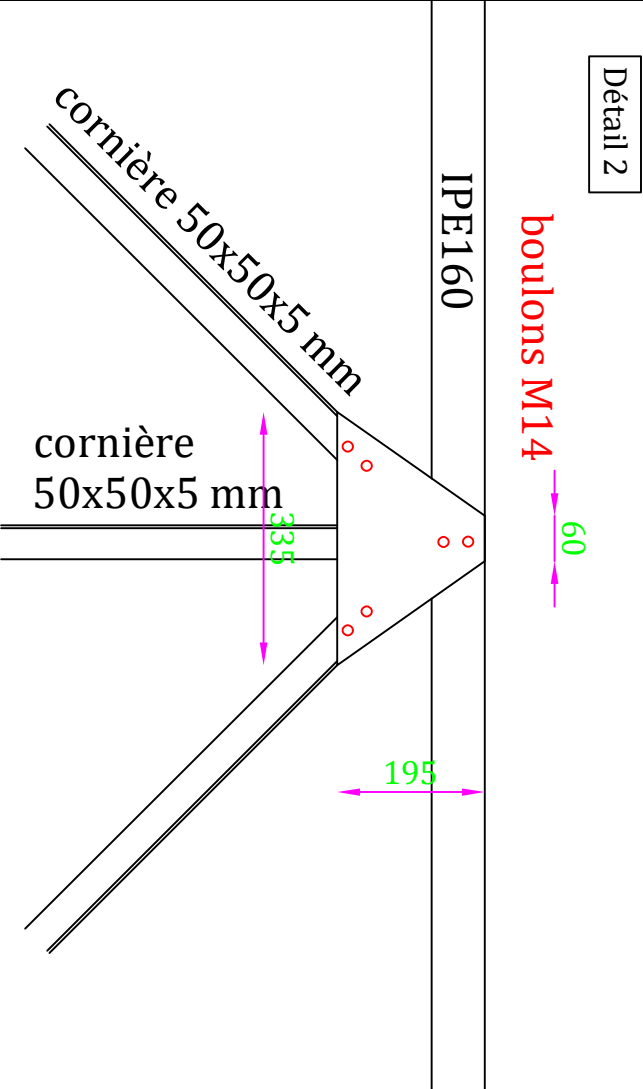
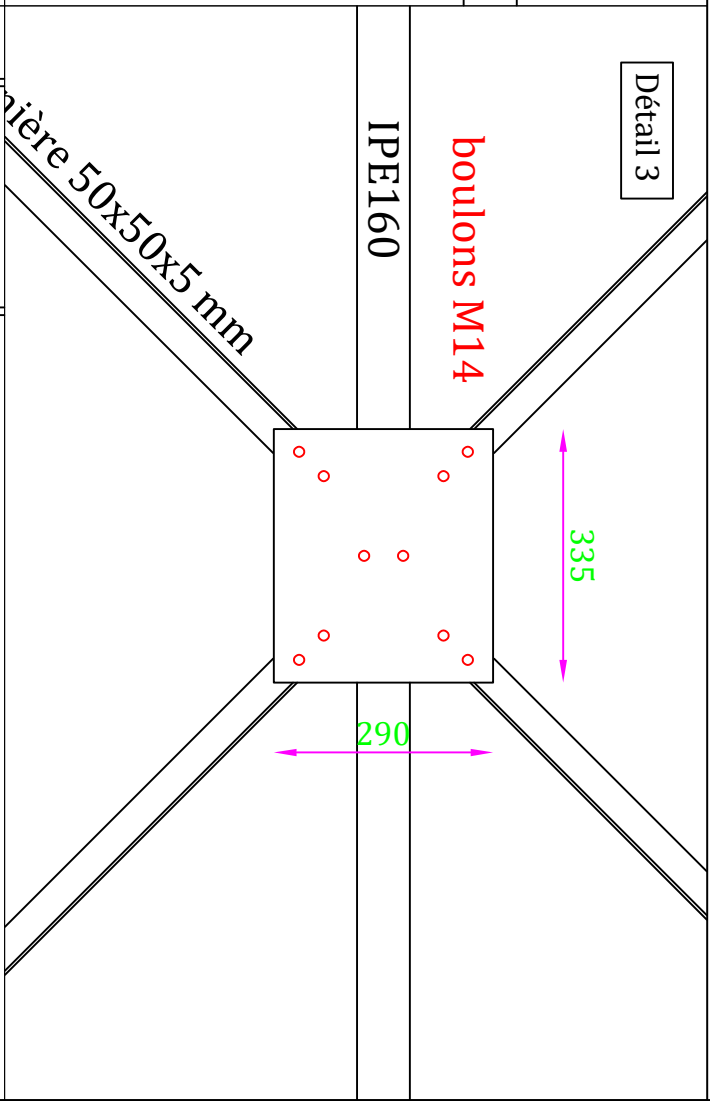
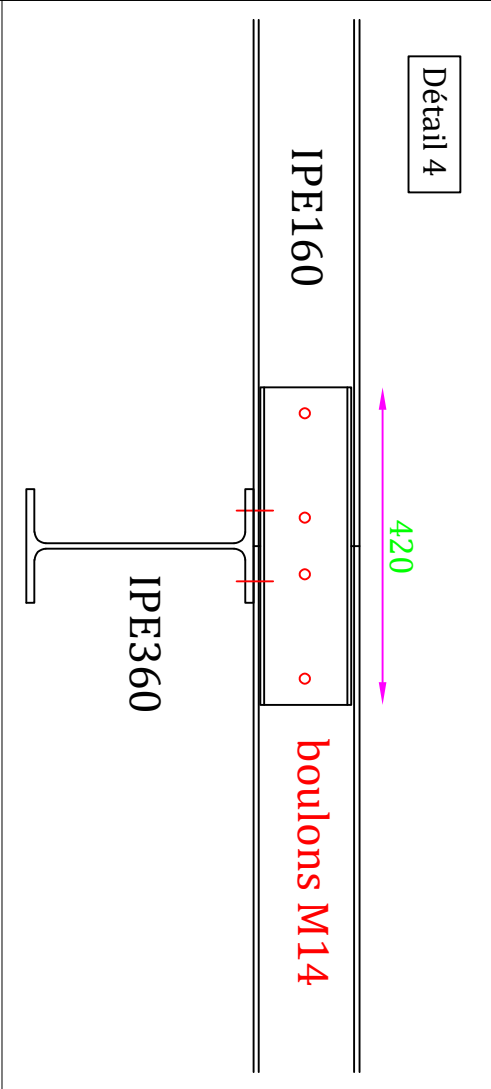
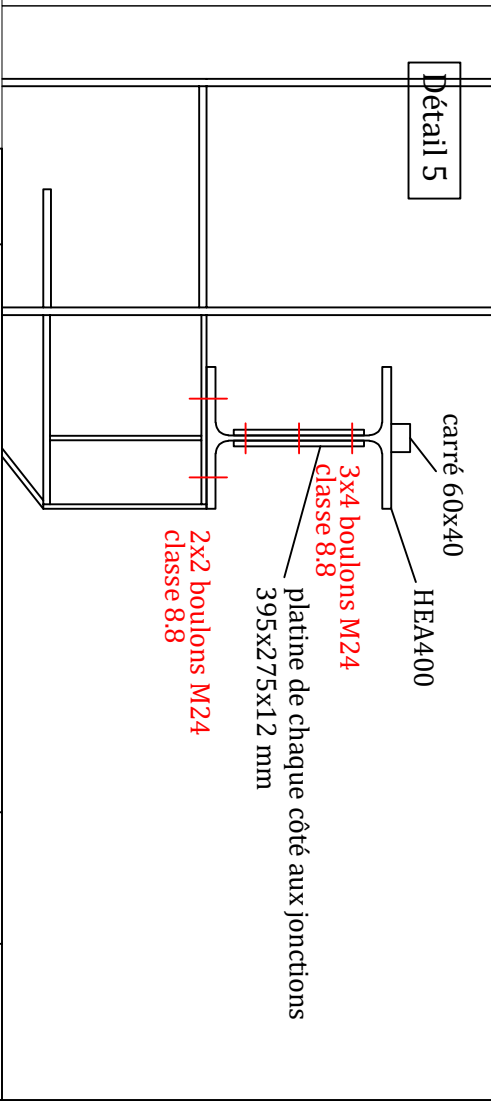
Indice	Modification			Date	Signature
Dessiné par L.BOUR	Vérifié par V.HOUDET	Numéro de dossier D2101.246		Date 29/07/2022	Echelle
121 Régiment du Train à Montlhéry				ESID IDF	
				 MASTERDIAG	

Coupe BB de la charpente - Bâtiment 430

ANNEXE 2b

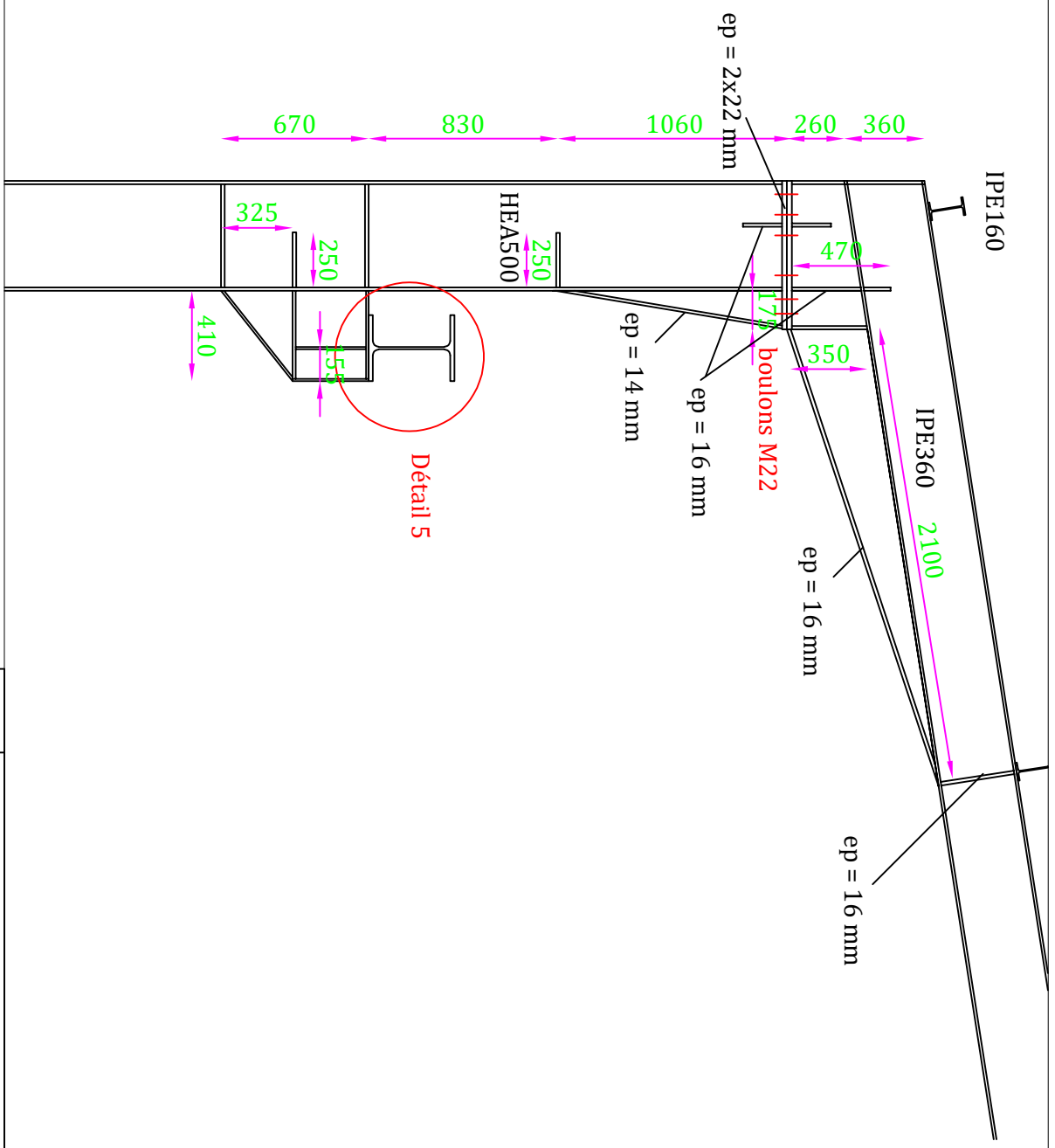



Indice	Modification		Date
Dessiné par L.BOUR	Vérifié par V.HOUDET	Numéro de dossier D2101.246	Date 29/07/2022
121 Régiment du Train à Montlhéry		ESID IDF	
		 MASTERDIA	

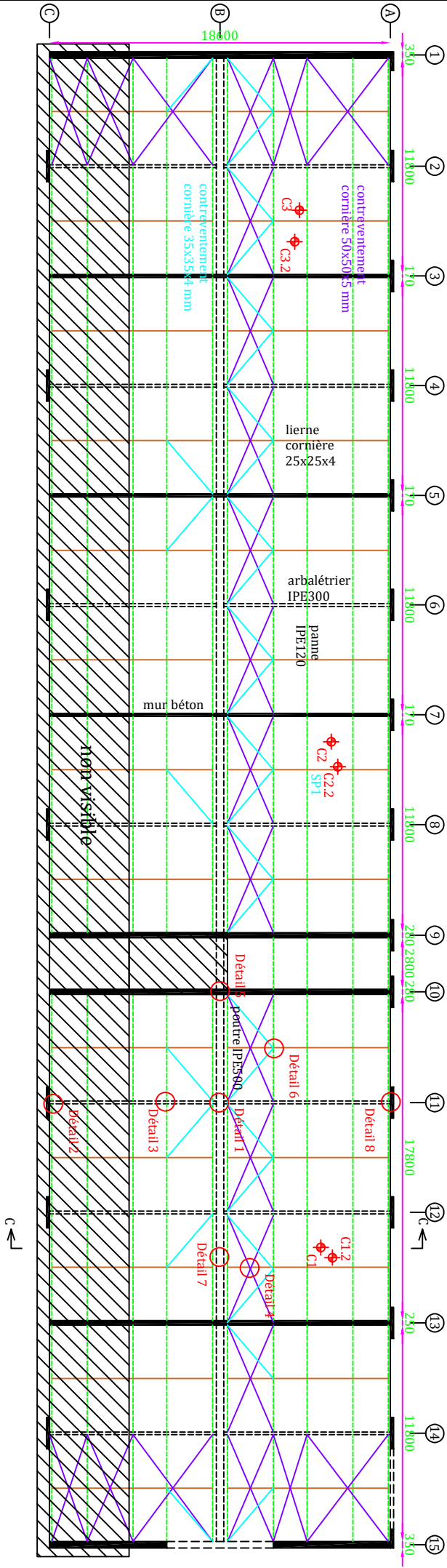
<div>Détail 2</div>  <p>IPE160</p> <p>boulons M14</p> <p>60</p> <p>335</p> <p>195</p> <p>cornière 50x50x5 mm</p> <p>cornière 50x50x5 mm</p>			<div>Détail 3</div>  <p>IPE160</p> <p>boulons M14</p> <p>335</p> <p>290</p> <p>cornière 50x50x5 mm</p>		
<div>Détail 4</div>  <p>IPE160</p> <p>boulons M14</p> <p>420</p> <p>IPE360</p>			<div>Détail 5</div>  <p>carré 60x40</p> <p>HEA400</p> <p>3x4 boulons M24 classe 8.8</p> <p>platine de chaque côté aux jonctions 395x275x12 mm</p> <p>2x2 boulons M24 classe 8.8</p>		


Indice	Modification		Date	Signature
Dessiné par L.BOUR	Vérifié par V.HOUDET	Número de dossier D2101.24.6	Date 29/07/2022	Echelle
121 Régiment du Train à Montlhéry			ESID IDF	

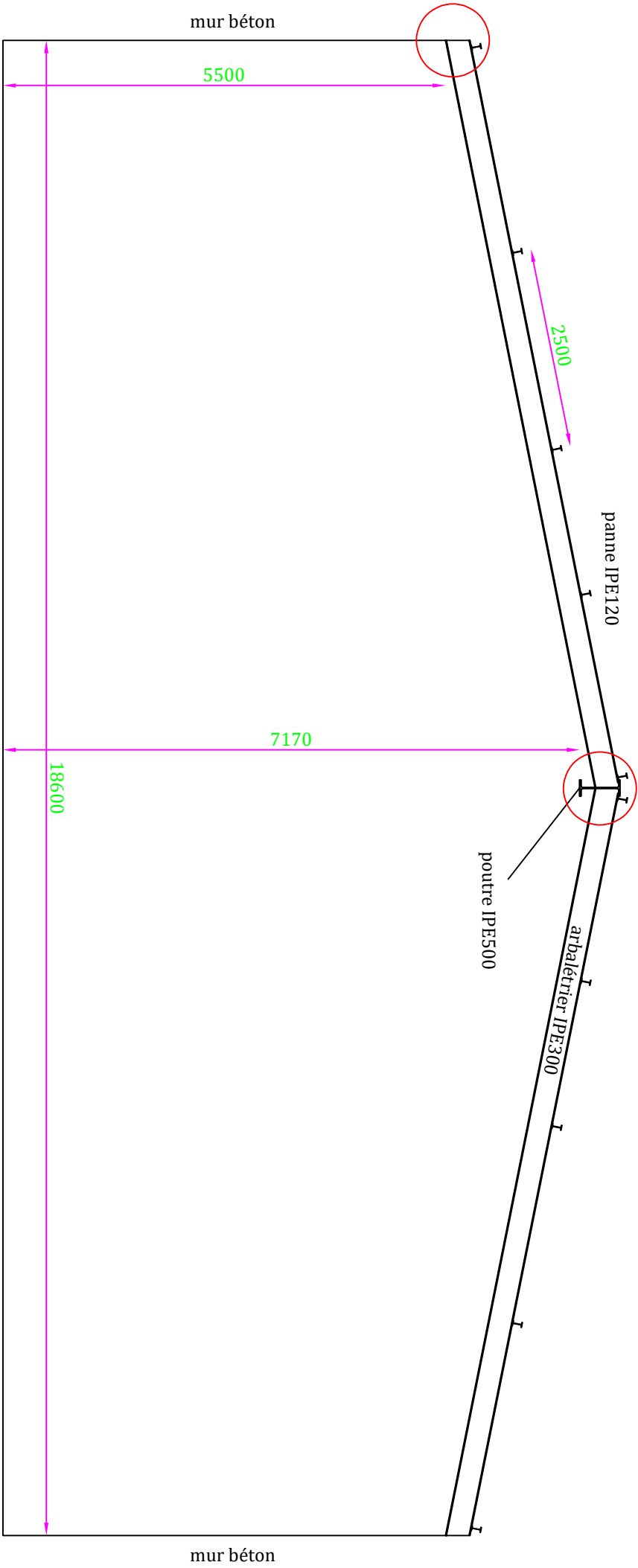
Détail 1



Indice	Modification			Date	Signature
Dessiné par L.BOUR	Vérifié par V.HOUDET		Numéro de dossier D2101.246	Date 29/07/2022	Echelle
121 Régiment du Train à Montlhéry			ESID IDF		
			 MASTERDIAC		

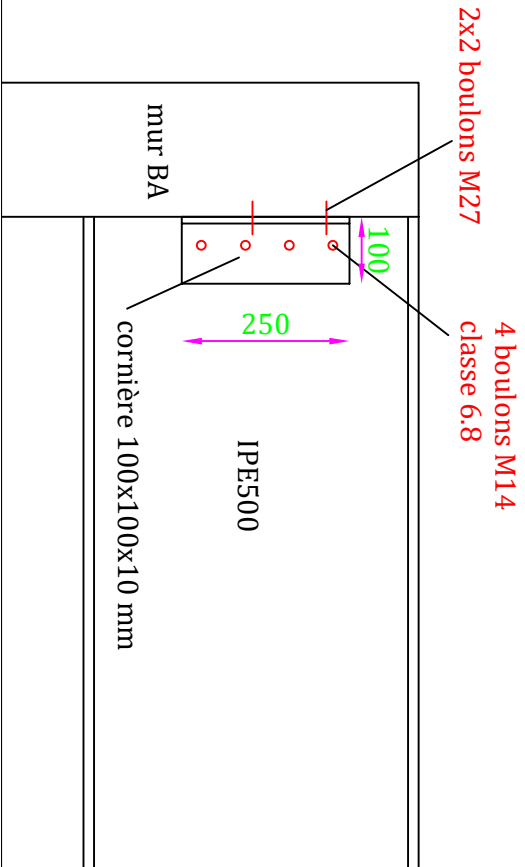


Indice		Modification				Date	
Dessiné par L.BOUR		Vérifié par V.HOUDET		Numéro de dossier D2101.246		Date 29/07/2022	
121 Régiment du Train à Montlhéry				ESID IDF			
							
				MASTERDIAG			

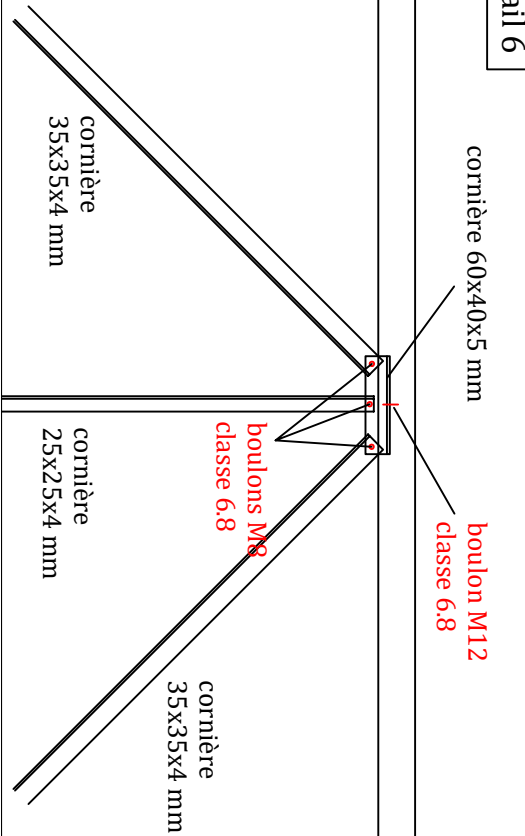


Indice		Modification		Date	Signature
Dessiné par	L.BOUR	Vérifié par	V.HOUDET	Numéro de dossier	D2101.24.6
121 Régiment du Train à Montlhéry		ESID IDF		Date	29/07/2022
				Echelle	

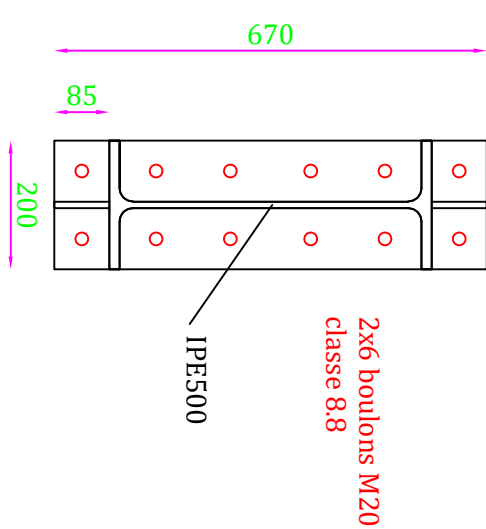
Détail 5



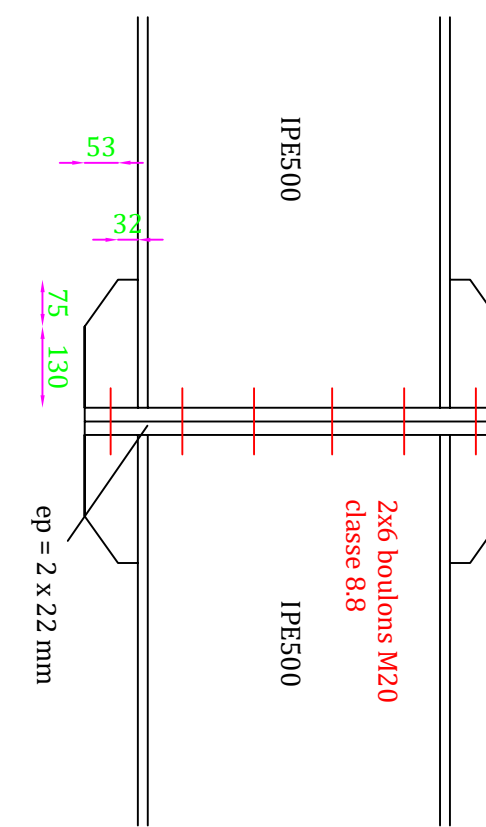
Détail 6



Détail 7

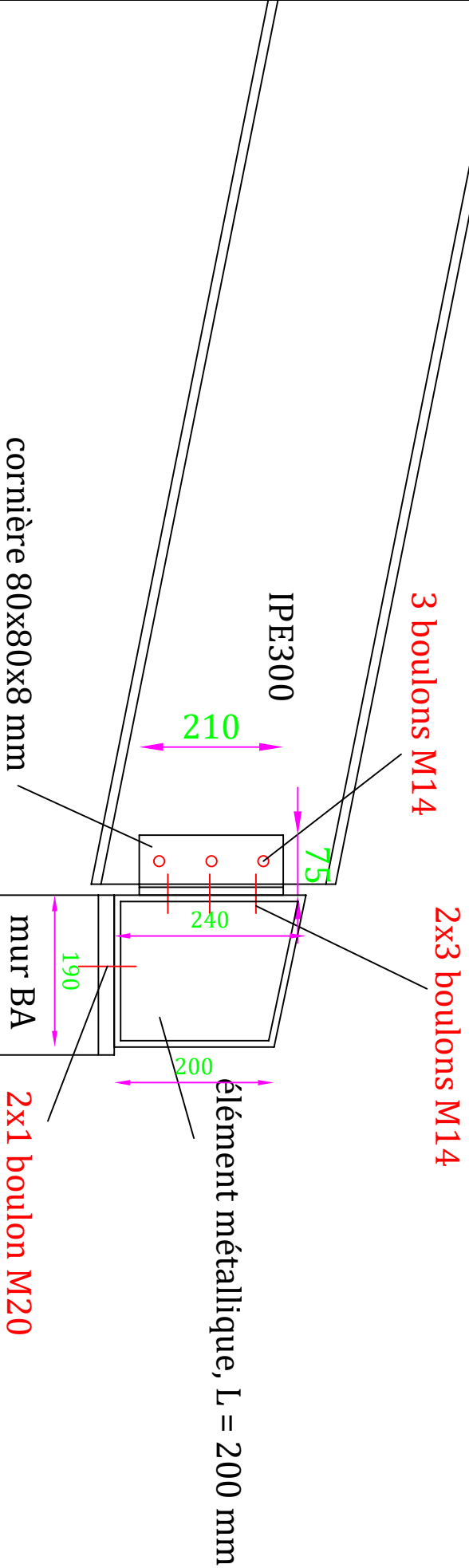



Détail 7

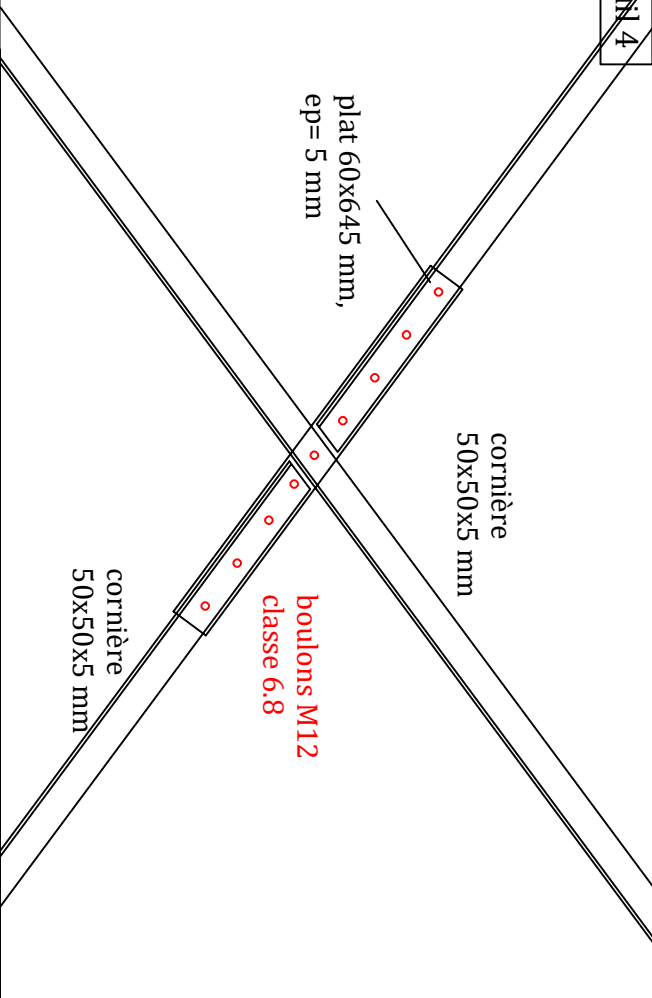
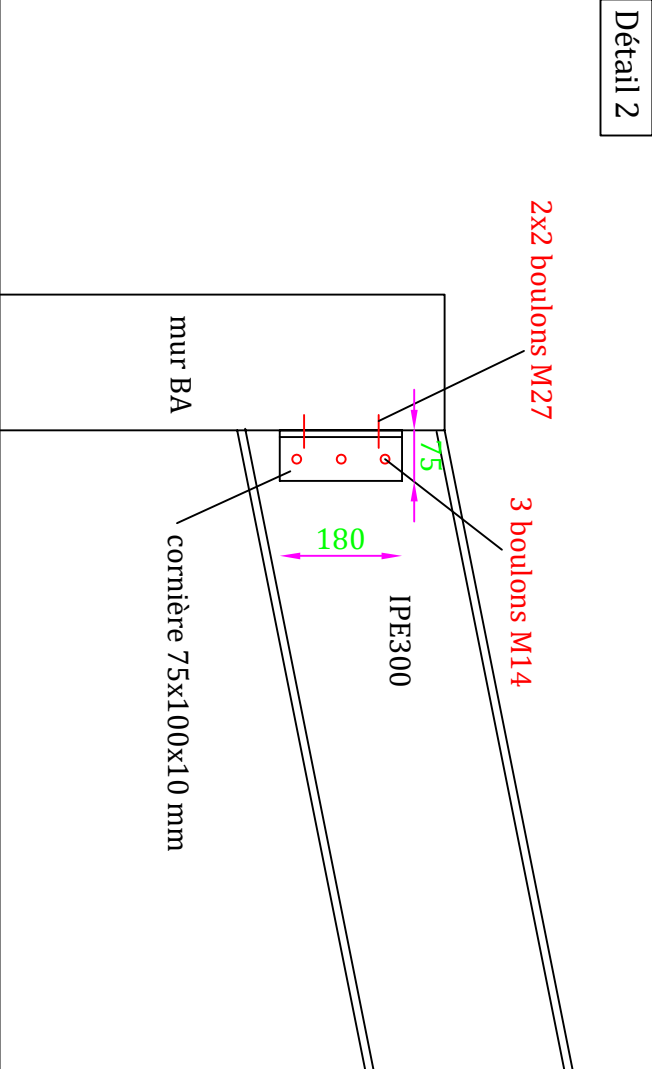
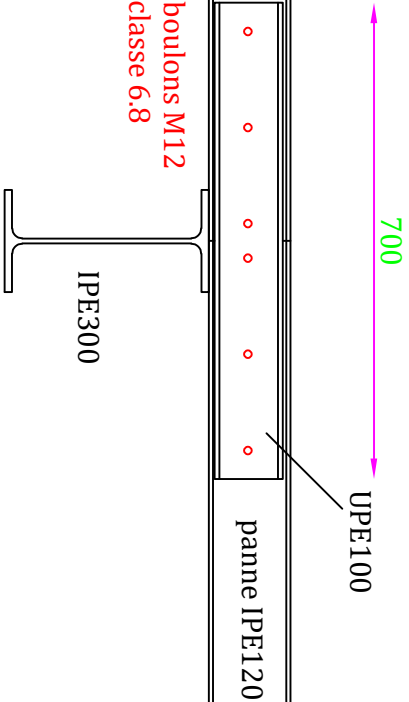
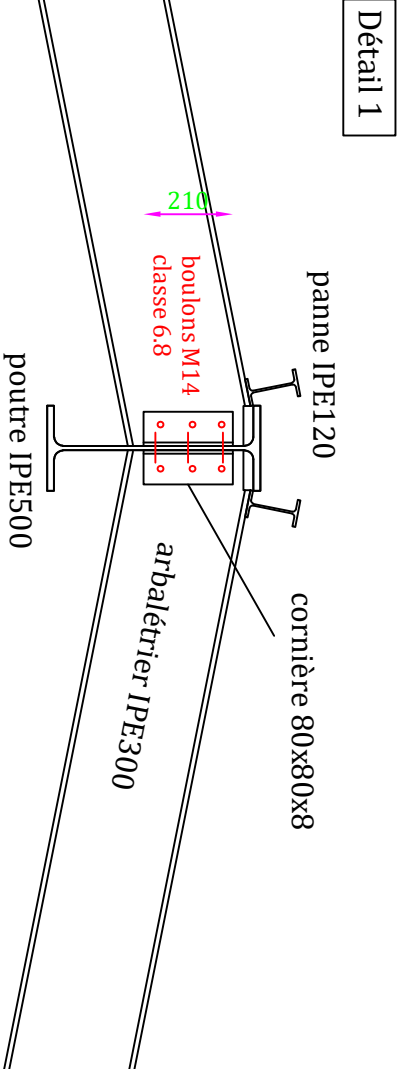


Indice	Modification		Date	Signature
Dessiné par L.BOUR	Vérifié par V.HOUDET	Número de dossier D2101.246	Date 29/07/2022	Echelle
121 Régiment du Train à Montlhéry			ESID IDF	

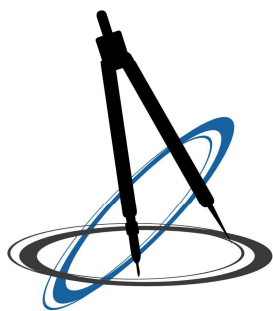
Détail 8



Indice	Modification			Date	Signature
Dessiné par L.BOUR	Vérifié par V.HOUDET	Numéro de dossier D2101.246		Date 29/07/2022	Echelle
121 Régiment du Train à Montlhéry				ESID IDF	
				 MASTERDIAG	



Indice	Modification		Date	Signature
Dessiné par L.BOUR	Vérifié par V.HOUDET	Número de dossier D2101.24.6	Date 29/07/2022	Echelle
121 Régiment du Train à Montlhéry			ESID IDF	



BET CLAIR'EQUEAUX

Bureau d'Etudes Structures - Diagnostic - Renforcement - Maîtrise d'Oeuvre

DIAGNOSTIC STRUCTUREL DES CHARPENTES METALLIQUES ET DES DALLAGES DES BATIMENTS 429, 430 ET 435 SITUES AU 121^{EME} REGIMENT DU TRAIN A MONTLHERY DANS L'OPTIQUE DE DETERMINER LEURS CAPACITES PORTANTES RESPECTIVES

A l'attention de :

Masterdiag
2 rue Saint Eloi
ZA WITRY CAUREL
51110 CAUREL
Tél : 09 63 21 66 92
Port : 06 26 34 76 33 (Lucas)

N° Dossier :

VNG-2022-08-124-A-DIAG-91

Maître d'œuvre / Architecte :



<u>Date :</u>	<u>Modifications :</u>	<u>Etabli par :</u>	<u>Vérifié par :</u>
27/09/2022	0 Première diffusion	V.H. NGUYEN	S. CARGNELUTTI

Le chargé d'affaires,
Van Huy Nguyen

SOMMAIRE

I. CONTENU DE LA MISSION.....	2
II. Hypothèses générales	2
1) Réglementation	2
2) Matériaux	3
3) Charge	3
III. Vérification de la CHARPENTE N° 1 (BÂTIMENT 429).....	5
1) Localisation	5
2) Charges	5
3) Modélisation.....	6
4) Dispositif de contreventement.....	7
5) Vérification	8
6) Exemple de calcul détaillé d'une panne	9
7) Dallage	17
IV. Vérification de la CHARPENTE N° 2 (bâtiment 430)	19
1) Localisation	19
2) Modélisation.....	20
3) Charges	21
4) Dispositif de contreventement.....	22
5) Vérification	23
6) Dallage	24
V. Vérification de la CHARPENTE N° 3 (BATIMENT 435).....	25
1) Localisation	25
2) Modélisation.....	25
3) Charges	26
4) Dispositif de contreventement.....	27
5) Vérification	27
6) Dallage	28
VI. Conclusion	29
VII. Remarques :.....	29

I. CONTENU DE LA MISSION

Le client confie à BET Clair'Equeaux les prestations de diagnostic structurel de trois charpentes métalliques et de trois dallages dans l'optique de déterminer leurs capacités portantes respectives.

La mission concerne les bâtiments 429, 430 et 435 situés au 121ème Régiment du Train à Montlhéry.



La prestation comprendra les éléments suivants :

Rendu de la mission :

- Recalcul de trois charpentes métalliques
- Recalcul de trois dallages
- Préconisations de renforcement si nécessaire

II. HYPOTHESES GENERALES

1) Réglementation

A la vue des informations récoltées sur site au niveau des dallages, il apparaît qu'ils sont non armé selon le DTU13.3, avec un ferrailage minimum et la présence de joints de retrait réguliers. Pour déterminer la capacité portante de ces dallages il suffira donc de vérifier que la valeur de la traction dans le béton reste admissible.

Comme ces dallages ont une épaisseur comprise entre 17,5 cm et 19 cm, ils correspondent à un dallage de la partie 1, avec des charges pouvant être supérieures à 1 tonnes/m².

En effet, d'après le DTU 13.3, l'épaisseur nominale d'un dallage est au moins égale à :

- 15 cm pour les dallages relevant de la partie 1.
- 13 cm pour les dallages relevant de la partie 2.
- 12 cm pour les dallages relevant de la partie 3.

Dans le cas présent, les dallages de l'atelier présentent des épaisseurs supérieures à 15 cm, ils relèvent donc de la partie 1.

USAGE DES LOCAUX	Parties à appliquer
Tout local à usage industriel, tel qu'usine, atelier, entrepôt, stockage, laboratoire quelle que soit sa surface et quelle que soient ses charges d'exploitation.	Partie 1
Local quelle que soit sa destination, s'il est soumis à une charge d'exploitation répartie supérieure à 10 kN/m ² ou concentrée supérieure à 10 kN.	
Local commercial ou assimilé, tel que magasin, boutique, hall, réserve, chambre froide, dont la surface excède 1000 m ² quelle que soit sa charge d'exploitation.	
Local commercial ou assimilé, tel que magasin, boutique, hall, réserve, chambre froide, dont la superficie n'excède pas 1000 m ² et dont les charges d'exploitation n'excèdent 10 kN/m ² réparties, ni 10 kN concentrées.	Partie 2
Local soumis à des charges d'exploitation supérieures ou égales à 10 kN/m ² réparties et/ou 10 kN concentrées, et dont l'usage est le suivant. <ul style="list-style-type: none"> • habitation collective ou d'hébergement • administratif ou bureau • santé, hôpital, clinique ou dispensaire • scolaire ou universitaire • sportif, à l'exception des surfaces homologuées • spectacles, expositions ou lieux de culte • garages ou parcs de stationnement pour véhicules légers • agricole 	Partie 2
Maisons individuelles	Partie 3

Le DTU 13.3 impose de déterminer la portance du support (sol éventuellement renforcé par une couche de forme) par un essai à la plaque. Le module de déformation du support devant être :

- au moins égal à 50 MPa/m pour un dallage de la partie 1 et 2.
- au moins égal à 30 MPa/m pour un dallage de la partie 3.

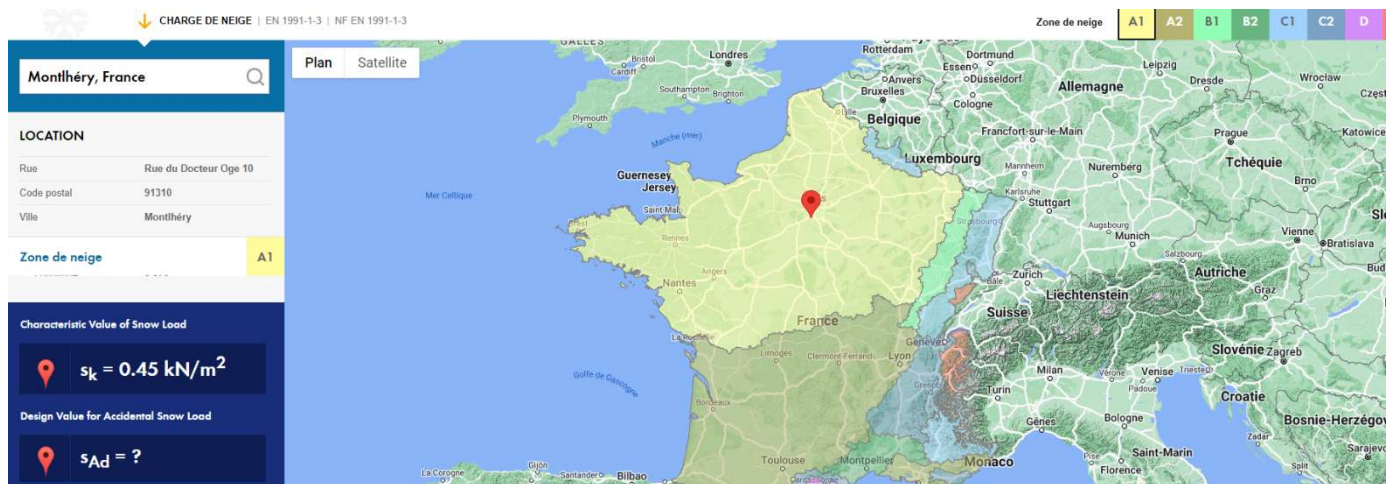
2) Matériaux

- ✓ Béton armé : C20/25 et C30/37
- ✓ Acier :
 - FeE235 : rond lisse
 - FeE400 : tors
- ✓ Sol : en l'absence d'étude de sol nous partirons sur une fondation de 1,5 bars, il serait judicieux de prévoir une étude de sol en phase d'exécution

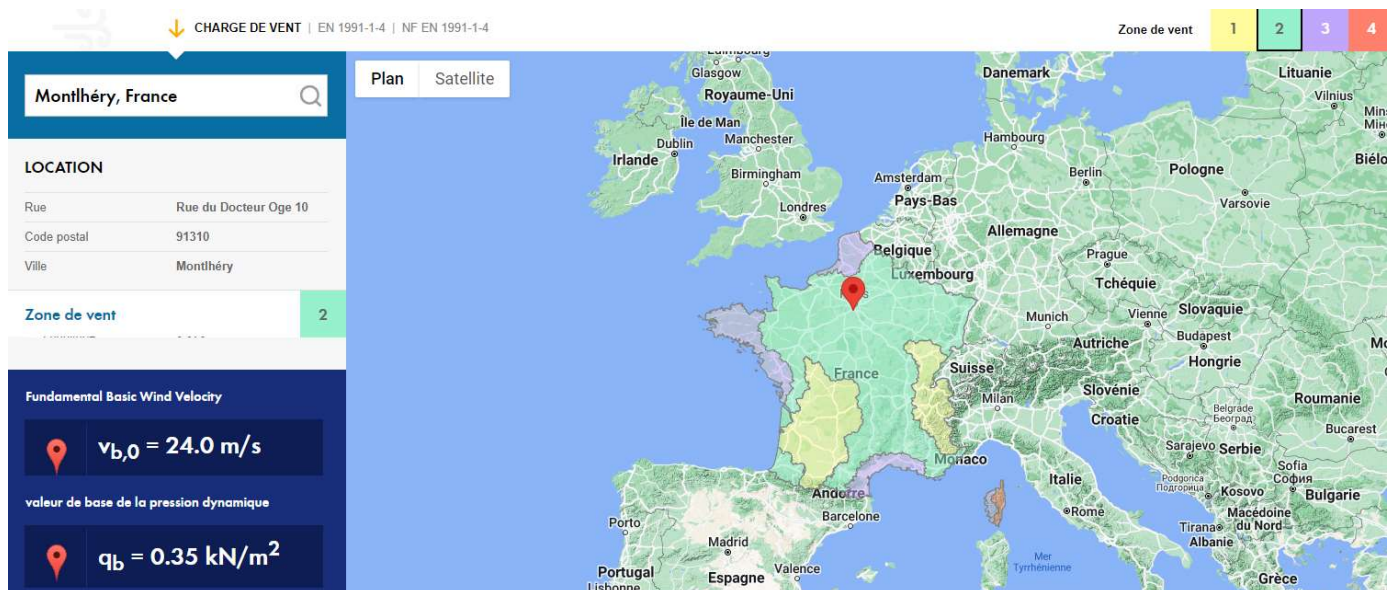
3) Charge

- ✓ Béton : 2500 kg/m³
- ✓ Charge pont roulant : négligé (pas d'information)
- ✓ Charges permanentes en toiture :
 - Poids propre des éléments :
 - Etanchéité bitumineuse : 5 kg/m²

- Bacs aciers : 7 kg/m^2
- Réseaux divers : 2 kg/m^2
- ✓ Charges d'exploitation :
 - Neige : 45 kg/m^2 (en toiture)
 - Neige (partie courante) : $s = 0,8 \times 45 = 36 \text{ kg/m}^2$
 - Neige (zone d'accumulation acrotère) : $s = 1,60 \times 45 = 72 \text{ kg/m}^2$



- Charge d'entretien : 800 kg répartis sur une surface de 10 m^2 au plus défavorable
- Vent



- Vent : EN 1991-1-4
- Région 2 : $V_{b,0} = 24 \text{ m/s}$
- Catégorie de terrain : IIIb
- Région : A
- Altitude : 35 m
- $P_{n0} = 0.45 \text{ kN/m}^2$ (valeur de référence hors altitude)

Catégorie H : toitures inaccessibles pente $< 15\%$ recevant une étanchéité. Ces charges sont des charges d'entretien.

$q_k = 0.8 \text{ kN/m}^2$;

$Q_k = 1.5 \text{ kN}$;

Note : Ces charges ne seront pas prises en compte avec les charges de neige ou les actions dues au vent. La charge répartie et la charge ponctuelle ne sont pas à appliquer simultanément.

Le paragraphe 2.7.3.1 de la norme fixe forfaitairement les charges à prendre en compte, en fonction de la portée $l(m)$ de l'élément considéré.

La vérification de la stabilité de la structure est effectuée à l'aide du logiciel ROBOT (notes de calculs jointes en annexes) avec une vérification des contraintes maximales pour une panne courante et les structures courantes ainsi que la vérification des flèches admissibles ($<L/200$) en fonction des surcharges (vérification selon règles EUROCODES).

Il a été vérifié une panne, et une ferme courante et leurs assemblages.

La synthèse des résultats de vérification obtenus est présentée ci-après et les notes de calculs sont jointes en annexes.

III. VERIFICATION DE LA CHARPENTE N° 1 (BÂTIMENT 429)

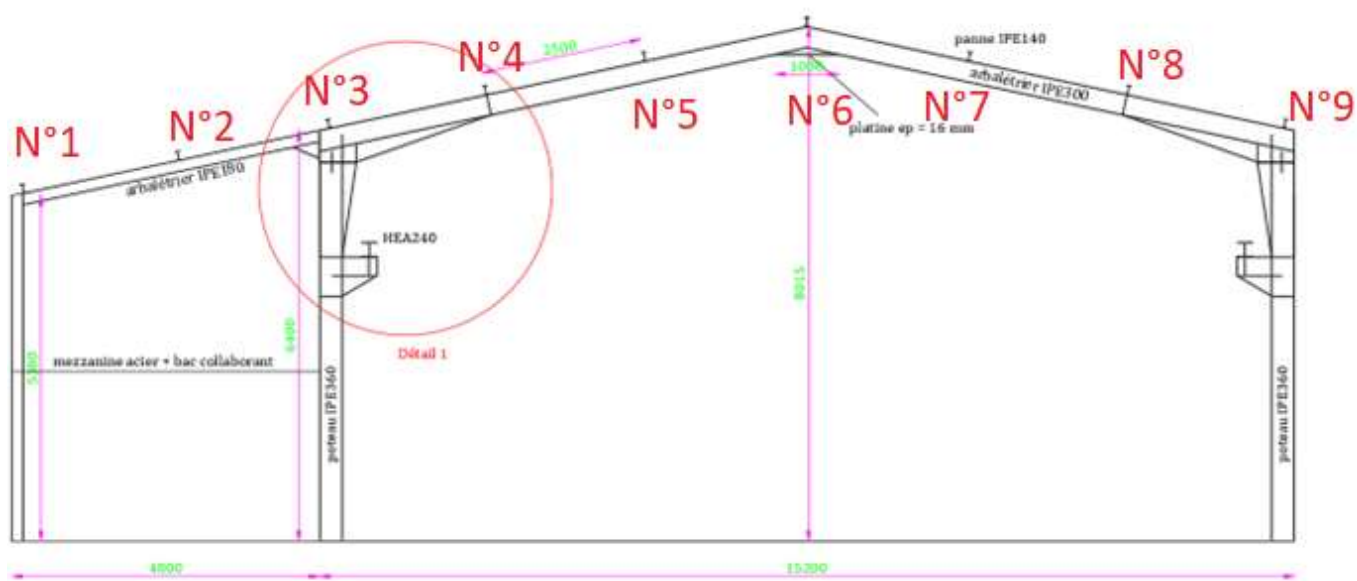
1) Localisation



2) Charges

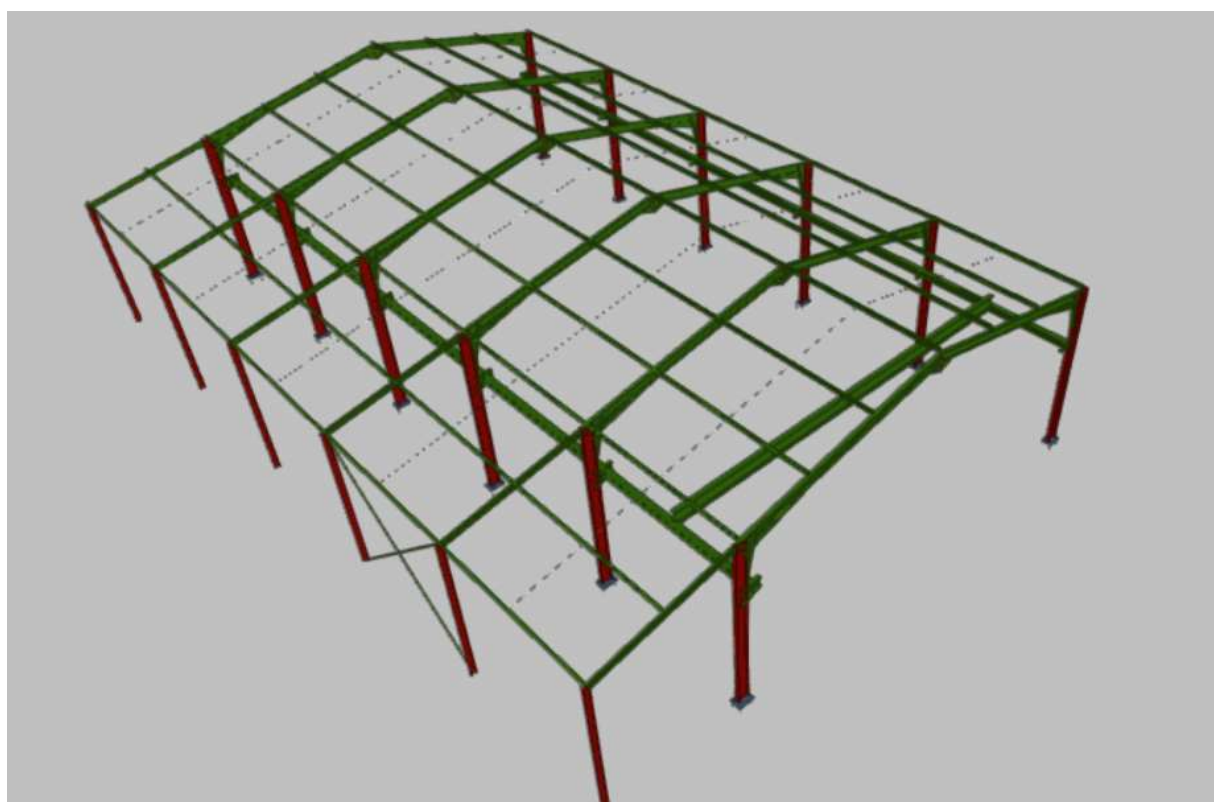
- Charges de neige (pas d'acrotère):
 - Panne N° 1/9: $G = 0,36 \times 1,25 \text{ m} = 0,45 \text{ kN/ml}$
 - Panne N° 2/3/4/5/6/7/8 : $G = 0,36 \times 2,50 \text{ m} = 0,90 \text{ kN/ml}$
- Charges d'entretien : 800 kg répartis sur une surface de 10 m^2 au plus défavorable,
 - $2,50 \text{ m} \times 6,00 \text{ m} = 15 \text{ m}^2$

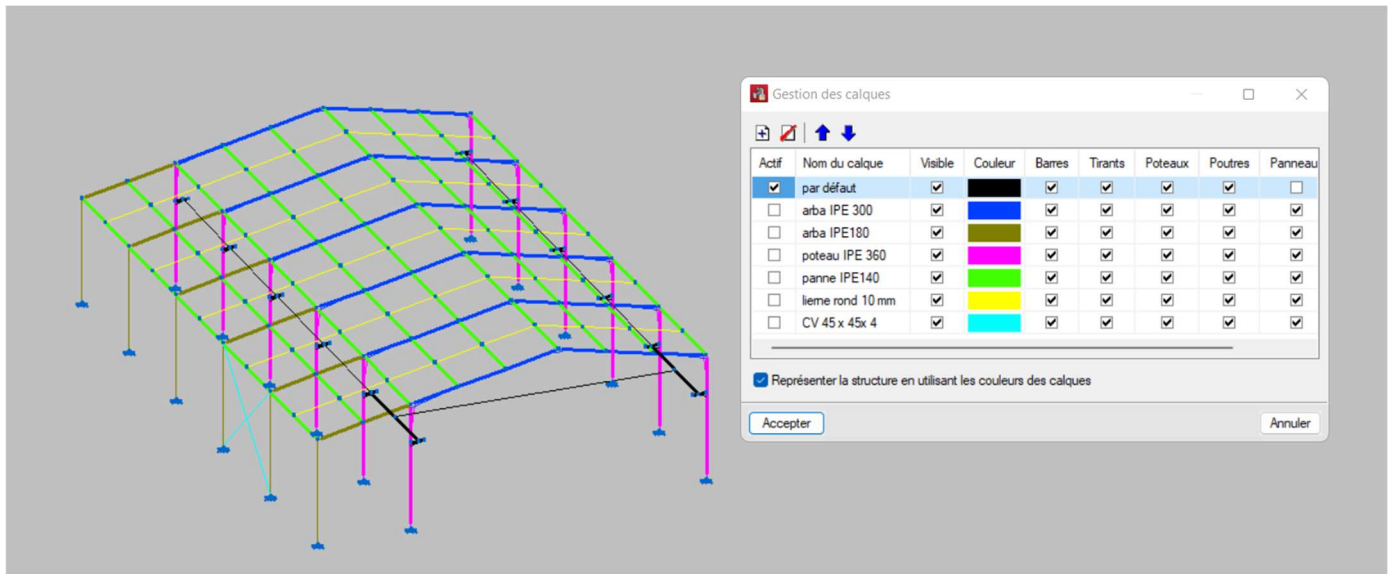
- Pour une surface de 10 m² réglementaire cela correspond à 1,6667 m x 6,00 m, soit une charge de 80 kg/ml sur la panne
- Ponts roulants : 115 kN en charge verticale / 11.5 kN en charge horizontale



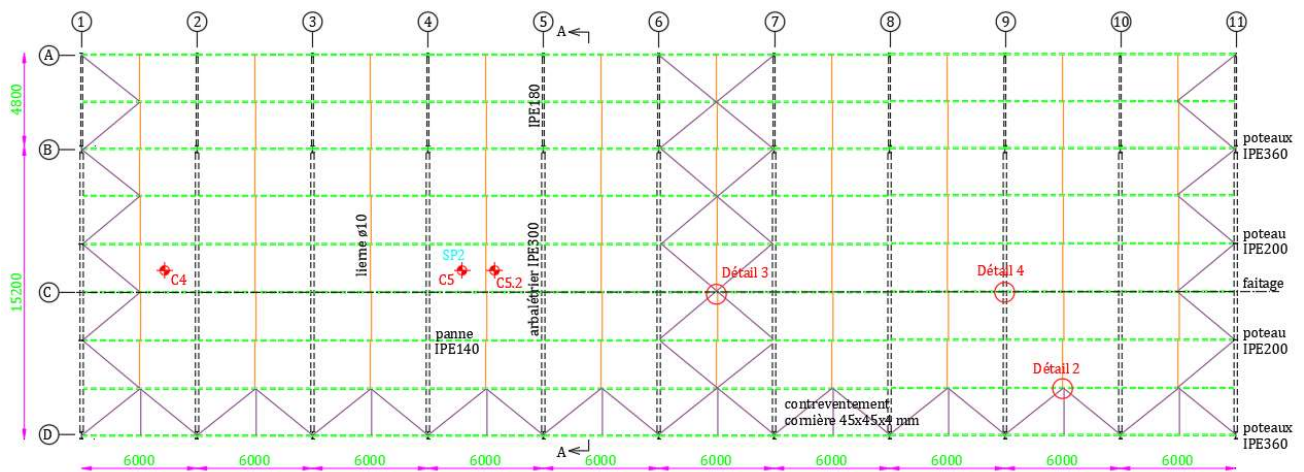
3) Modélisation

La modélisation a été réalisée uniquement sur 6 travées, mais cela n'a pas d'influence sur les résultats.

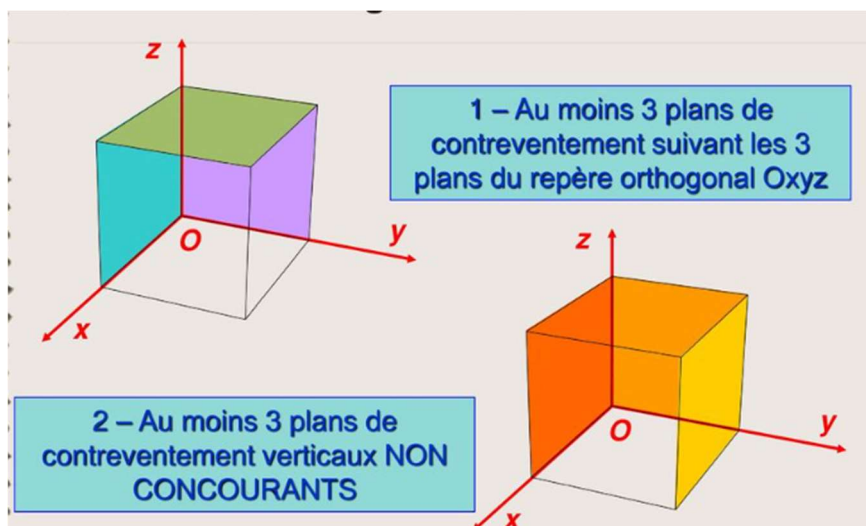




4) Dispositif de contreventement



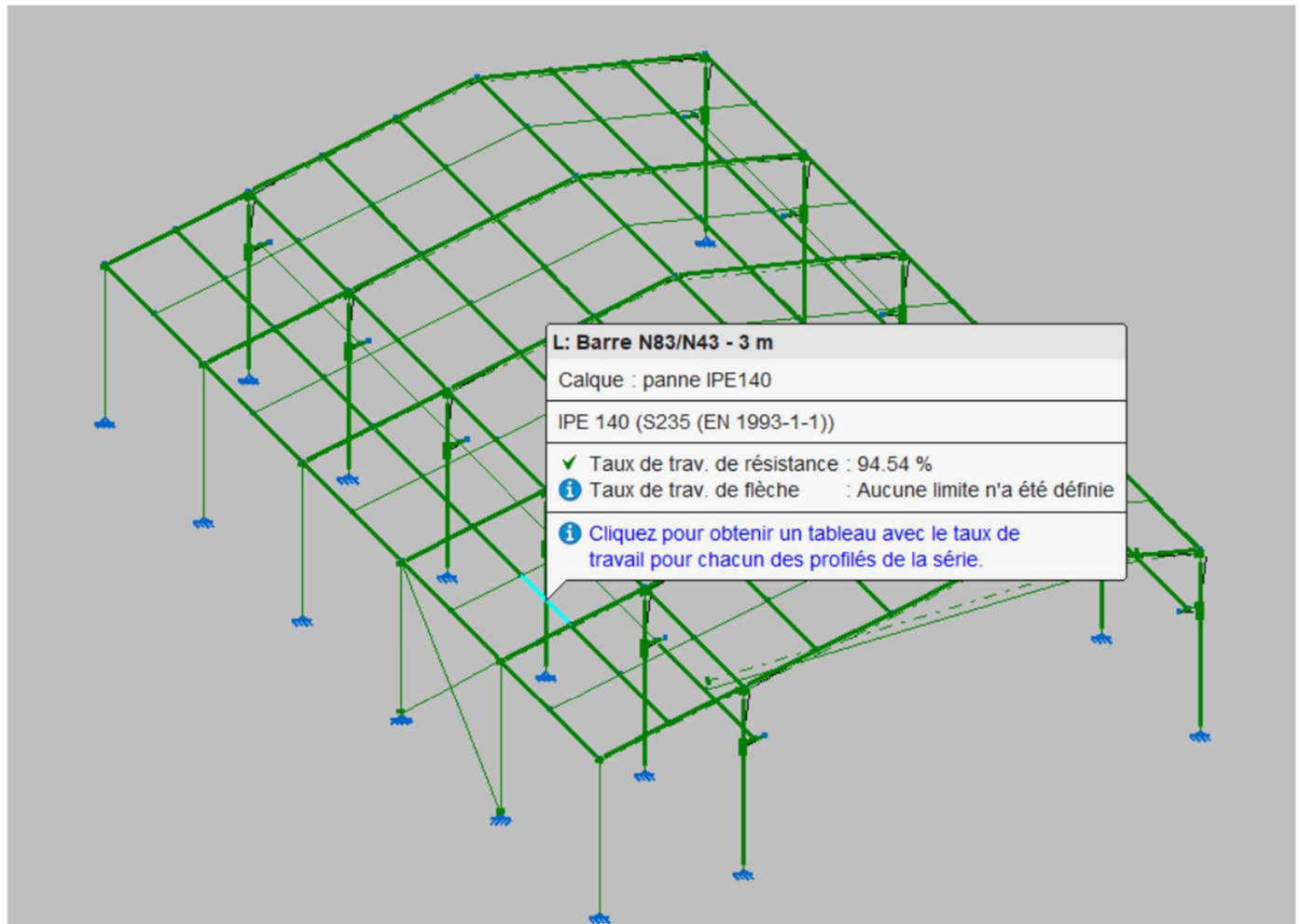
D'après les relevés de la structure métallique, il semblerait que la zone qui constitue les bureaux, avec la mezzanine serve à contreventer le bâtiment. En effet, il devrait y avoir un contreventement sur les files 1 ou 11, pour obtenir les 3 plans non concourants.



Par conséquent, la structure en maçonnerie au droit de la mezzanine fait partie du contreventement du bâtiment. Toute modification des éléments verticaux (mur, poteau, ouverture porte, fenêtre), nécessitera, une vérification de la stabilité du bâtiment.

5) Vérification

Nous avons pu déterminer les charges maximales, en sollicitant les éléments entre 90 et 100 %. Et nous avons pu déterminer que les pannes de rive dans les zones d'accumulation de neige limitent la charge de la charpente existante (voir localisation ci-après).



Par conséquent, la charpente N°1 peut reprendre au maximum une charge **de 46 kg/m², soit une charge de 32 kg/m² en charge supplémentaire, en plus des charges existantes.**

Les poutres de support du pont roulant en HEA 240 limitent la charge du pont roulant, et ne doit être excédé 11,5 tonnes (voir ci-après la localisation de la barre la plus sollicité).

Voilement de l'âme engendré par l'aile comprimée (Eurocode 3 EN 1993-1-5: 2006, Article 8)

Doit être respecté:

$$\frac{h_w}{t_w} \leq k \frac{E}{f_{yf}} \sqrt{\frac{A_w}{A_{fc,ef}}}$$

$$26.85 \leq 290.91 \quad \checkmark$$

Où:

h_w : Hauteur de l'âme.

t_w : Épaisseur d'âme.

A_w : Aire de l'âme.

$A_{fc,ef}$: Aire réduite de l'aile comprimée.

k : Coefficient dépendant de la classe de la section.

E : Module d'élasticité longitudinale.

f_{yf} : Limite élastique de l'acier de l'aile comprimée.

Avec:

$$f_{yf} = f_y$$

$$h_w : 126.20 \text{ mm}$$

$$t_w : 4.70 \text{ mm}$$

$$A_w : 5.93 \text{ cm}^2$$

$$A_{fc,ef} : 5.04 \text{ cm}^2$$

$$k : 0.30$$

$$E : 210000 \text{ MPa}$$

$$f_{yf} : 235.00 \text{ MPa}$$

Résistance à la traction (Eurocode 3 NF EN 1993-1-1/NA: 2007-05, Article 6.2.3)

Doit être respecté:

$$\eta = \frac{N_{t,Ed}}{N_{t,Rd}} \leq 1$$

$$\eta : 0.001 \quad \checkmark$$

L'effort sollicitant de calcul défavorable se produit pour la combinaison d'actions 1.35·PP+1.35·G1+1.5·Q1.

$N_{t,Ed}$: Effort normal de traction sollicitant de calcul défavorable.

$$N_{t,Ed} : 0.40 \text{ kN}$$

La résistance de calcul à la traction $N_{t,Rd}$ est donnée par:

$$N_{t,Rd} = A \cdot f_{yd}$$

$$N_{t,Rd} : 385.40 \text{ kN}$$

Où:

A : Aire brute de la section transversale de la barre.

$$A : 16.40 \text{ cm}^2$$

f_{yd} : Résistance de calcul de l'acier.

$$f_{yd} : 235.00 \text{ MPa}$$

$$f_{yd} = f_y / \gamma_{M0}$$

Avec:

f_y : Limite d'élasticité. (Eurocode 3 NF EN 1993-1-1/NA: 2007-05, Tableau 3.1)

$$f_y : 235.00 \text{ MPa}$$

γ_{M0} : Coefficient partiel de sécurité du matériau.

$$\gamma_{M0} : 1.00$$

Résistance à la compression (Eurocode 3 NF EN 1993-1-1/NA: 2007-05, Article 6.2.4)

La vérification n'est pas réalisée car il n'y a pas d'effort normal de compression.

Résistance à la flexion suivant l'axe Y (Eurocode 3 NF EN 1993-1-1/NA: 2007-05, Article 6.2.5)

Doit être respecté:

$$\eta = \frac{M_{Ed}}{M_{c,Rd}} \leq 1$$

$$\eta : \underline{0.671} \quad \checkmark$$

Pour la flexion positive:

M_{Ed}⁺: Moment fléchissant sollicitant de calcul le plus défavorable.

$$M_{Ed}^+ : \underline{0.00} \text{ kN}\cdot\text{m}$$

Pour la flexion négative:

L'effort sollicitant de calcul défavorable se produit au noeud N43, pour la combinaison d'actions 1.35·PP+1.35·G1+1.5·Q1.

M_{Ed}⁻: Moment fléchissant sollicitant de calcul le plus défavorable.

$$M_{Ed}^- : \underline{13.93} \text{ kN}\cdot\text{m}$$

Le moment fléchissant résistant de calcul **M_{c,Rd}** est donné par:

$$M_{c,Rd} = W_{pl,y} \cdot f_{yd}$$

$$M_{c,Rd} : \underline{20.75} \text{ kN}\cdot\text{m}$$

Où:

Classe: Classe de la section, selon la capacité de déformation et de développement de la résistance plastique des éléments plans d'une section à flexion simple.

$$\text{Classe} : \underline{1}$$

W_{pl,y}: Module résistant plastique correspondant à la fibre de plus grande tension, pour les sections de classe 1 et 2.

$$W_{pl,y} : \underline{88.30} \text{ cm}^3$$

f_{yd}: Résistance de calcul de l'acier.

$$f_{yd} : \underline{235.00} \text{ MPa}$$

$$f_{yd} = f_y / \gamma_{M0}$$

Avec:

f_y: Limite d'élasticité. (Eurocode 3 NF EN 1993-1-1/NA: 2007-05, Tableau 3.1)

$$f_y : \underline{235.00} \text{ MPa}$$

γ_{M0}: Coefficient partiel de sécurité du matériau.

$$\gamma_{M0} : \underline{1.00}$$

Résistance au déversement: (Eurocode 3 NF EN 1993-1-1/NA: 2007-05, Article 6.3.2)

Non traité car les longueurs de déversement sont nulles.

Résistance à la flexion suivant l'axe Z (Eurocode 3 NF EN 1993-1-1/NA: 2007-05, Article 6.2.5)

Doit être respecté:

$$\eta = \frac{M_{Ed}}{M_{c,Rd}} \leq 1$$

$$\eta : \underline{0.273} \quad \checkmark$$

Pour la flexion positive:

M_{Ed}⁺: Moment fléchissant sollicitant de calcul le plus défavorable.

$$M_{Ed}^+ : \underline{0.00} \text{ kN}\cdot\text{m}$$

Pour la flexion négative:

L'effort sollicitant de calcul défavorable se produit au noeud N43, pour la combinaison d'actions 1.35·PP+1.35·G1+1.5·Q1.

M_{Ed}⁻: Moment fléchissant sollicitant de calcul le plus défavorable.

$$M_{Ed}^- : \underline{1.24} \text{ kN}\cdot\text{m}$$

Le moment fléchissant résistant de calcul **M_{c,Rd}** est donné par:

$$M_{c,Rd} = W_{pl,z} \cdot f_{yd}$$

$$M_{c,Rd} : \underline{4.54} \text{ kN}\cdot\text{m}$$

Où:

Classe: Classe de la section, selon la capacité de déformation et de développement de la résistance plastique des éléments plans d'une section à flexion simple.

$$\text{Classe} : \underline{1}$$

$$W_{pl,z} : \underline{19.30} \text{ cm}^3$$



$W_{pl,z}$: Module résistant plastique correspondant à la fibre de plus grande tension, pour les sections de classe 1 et 2.

f_{yd} : Résistance de calcul de l'acier.

f_{yd} : 235.00 MPa

$$f_{yd} = f_y / \gamma_{M0}$$

Avec:

f_y : Limite d'élasticité. (Eurocode 3 NF EN 1993-1-1/NA: 2007-05, Tableau 3.1)

f_y : 235.00 MPa

γ_{M0} : Coefficient partiel de sécurité du matériau.

γ_{M0} : 1.00

Résistance au cisaillement Z (Eurocode 3 NF EN 1993-1-1/NA: 2007-05, Article 6.2.6)

Doit être respecté:

$$\eta = \frac{V_{Ed}}{V_{c,Rd}} \leq 1$$

η : 0.112 ✓

L'effort sollicitant de calcul défavorable se produit au noeud N43, pour la combinaison d'actions 1.35·PP+1.35·G1+1.5·Q1.

V_{Ed} : Effort tranchant sollicitant de calcul le plus défavorable.

V_{Ed} : 11.59 kN

L'effort tranchant résistant de calcul **$V_{c,Rd}$** est donné par:

$$V_{c,Rd} = A_v \cdot \frac{f_{yd}}{\sqrt{3}}$$

$V_{c,Rd}$: 103.34 kN

Où:

A_v : Aire transversale au cisaillement.

A_v : 7.62 cm²

$$A_v = A - 2 \cdot b \cdot t_f + (t_w + 2 \cdot r) \cdot t_f$$

Avec:

A : Aire brute de la section transversale de la barre.

A : 16.40 cm²

b : Largeur de la section.

b : 73.00 mm

t_f : Épaisseur de l'aile.

t_f : 6.90 mm

t_w : Épaisseur d'âme.

t_w : 4.70 mm

r : Rayon de congé entre aile et âme.

r : 7.00 mm

f_{yd} : Résistance de calcul de l'acier.

f_{yd} : 235.00 MPa

$$f_{yd} = f_y / \gamma_{M0}$$

Avec:

f_y : Limite d'élasticité. (Eurocode 3 NF EN 1993-1-1/NA: 2007-05, Tableau 3.1)

f_y : 235.00 MPa

γ_{M0} : Coefficient partiel de sécurité du matériau.

γ_{M0} : 1.00

Voilement par cisaillement de l'âme: (Eurocode 3 NF EN 1993-1-5: 2006/NA: 2007, Article 5)

Bien qu'aucun raidisseur transversal n'ait été placé, il n'est pas nécessaire de vérifier la résistance au voilement de l'âme, étant donné qu'est vérifié:

$$\frac{d}{t_w} < \frac{72}{\eta} \cdot \varepsilon$$

23.87 < 72.00 ✓

Où:



λ_w : Élançement de l'âme.

λ_w : 23.87

$$\lambda_w = \frac{d}{t_w}$$

λ_{max} : Élançement maximum.

λ_{max} : 72.00

$$\lambda_{max} = \frac{72}{\eta} \cdot \varepsilon$$

η : Coefficient qui permet de prendre en compte la résistance additionnelle en régime plastique due au durcissement par déformation du matériau.

η : 1.00

ε : Facteur de réduction.

ε : 1.00

$$\varepsilon = \sqrt{\frac{f_{ref}}{f_y}}$$

Avec:

f_{ref} : Limite élastique de référence.

f_{ref} : 235.00 MPa

f_y : Limite d'élasticité. (Eurocode 3 NF EN 1993-1-1/NA: 2007-05, Tableau 3.1)

f_y : 235.00 MPa

Résistance au cisaillement Y (Eurocode 3 NF EN 1993-1-1/NA: 2007-05, Article 6.2.6)

Doit être respecté:

$$\eta = \frac{V_{Ed}}{V_{c,Rd}} \leq 1$$

η : 0.012 ✓

L'effort sollicitant de calcul défavorable se produit au noeud N43, pour la combinaison d'actions 1.35·PP+1.35·G1+1.5·Q1.

V_{Ed} : Effort tranchant sollicitant de calcul le plus défavorable.

V_{Ed} : 1.71 kN

L'effort tranchant résistant de calcul $V_{c,Rd}$ est donné par:

$$V_{c,Rd} = A_v \cdot \frac{f_{yd}}{\sqrt{3}}$$

$V_{c,Rd}$: 142.04 kN

Où:

A_v : Aire transversale au cisaillement.

A_v : 10.47 cm²

$$A_v = A - d \cdot t_w$$

Avec:

A : Aire de la section brute.

A : 16.40 cm²

d : Largeur de l'âme.

d : 126.20 mm

t_w : Épaisseur d'âme.

t_w : 4.70 mm

f_{yd} : Résistance de calcul de l'acier.

f_{yd} : 235.00 MPa

$$f_{yd} = f_y / \gamma_{M0}$$

Avec:

f_y : Limite d'élasticité. (Eurocode 3 NF EN 1993-1-1/NA: 2007-05, Tableau 3.1)

f_y : 235.00 MPa

γ_{M0} : Coefficient partiel de sécurité du matériau.

γ_{M0} : 1.00

Résistance au moment fléchissant Y et à l'effort tranchant Z combinés (Eurocode 3 NF EN 1993-1-1/NA: 2007-05, Article 6.2.8)

Il n'est pas nécessaire de réduire la résistance de calcul à la flexion étant donné que le renfort à l'effort tranchant sollicitant de calcul défavorable V_{Ed} n'est pas supérieur à 50% de la résistance de calcul à l'effort tranchant $V_{c,Rd}$.

$$V_{Ed} \leq \frac{V_{c,Rd}}{2}$$

$$0.59 \text{ kN} \leq 51.67 \text{ kN} \quad \checkmark$$

Les efforts sollicitants de calcul défavorables se produisent pour la combinaison d'actions 1.35·PP+1.35·G1+1.5·Q1.

V_{Ed} : Effort tranchant sollicitant de calcul le plus défavorable.

$$V_{Ed} : 0.59 \text{ kN}$$

$V_{c,Rd}$: Effort tranchant résistant de calcul.

$$V_{c,Rd} : 103.34 \text{ kN}$$

Résistance au moment fléchissant Z et à l'effort tranchant Y combinés (Eurocode 3 NF EN 1993-1-1/NA: 2007-05, Article 6.2.8)

Il n'est pas nécessaire de réduire la résistance de calcul à la flexion étant donné que le renfort à l'effort tranchant sollicitant de calcul défavorable V_{Ed} n'est pas supérieur à 50% de la résistance de calcul à l'effort tranchant $V_{c,Rd}$.

$$V_{Ed} \leq \frac{V_{c,Rd}}{2}$$

$$0.63 \text{ kN} \leq 71.02 \text{ kN} \quad \checkmark$$

Les efforts sollicitants de calcul défavorables se produisent pour la combinaison d'actions 1.35·PP+1.35·G1+1.5·Q1.

V_{Ed} : Effort tranchant sollicitant de calcul le plus défavorable.

$$V_{Ed} : 0.63 \text{ kN}$$

$V_{c,Rd}$: Effort tranchant résistant de calcul.

$$V_{c,Rd} : 142.04 \text{ kN}$$

Résistance à la flexion et à l'effort normal combinés (Eurocode 3 NF EN 1993-1-1/NA: 2007-05, Article 6.2.9)

Doit être respecté:

$$\eta = \left[\frac{M_{y,Ed}}{M_{N,Rd,y}} \right]^\alpha + \left[\frac{M_{z,Ed}}{M_{N,Rd,z}} \right]^\beta \leq 1$$

$$\eta : 0.724 \quad \checkmark$$

$$\eta = \frac{N_{t,Ed}}{A \cdot f_{yd}} + k_{yy} \cdot \frac{M_{y,Ed}}{\chi_{LT} \cdot W_{pl,y} \cdot f_{yd}} + k_{yz} \cdot \frac{M_{z,Ed}}{W_{pl,z} \cdot f_{yd}} \leq 1$$

$$\eta : 0.945 \quad \checkmark$$

$$\eta = \frac{N_{t,Ed}}{A \cdot f_{yd}} + k_{zy} \cdot \frac{M_{y,Ed}}{\chi_{LT} \cdot W_{pl,y} \cdot f_{yd}} + k_{zz} \cdot \frac{M_{z,Ed}}{W_{pl,z} \cdot f_{yd}} \leq 1$$

$$\eta : 0.945 \quad \checkmark$$

Les efforts sollicitants de calcul défavorables se produisent au noeud N43, pour la combinaison d'actions 1.35·PP+1.35·G1+1.5·Q1.

Où:

$N_{t,Ed}$: Effort normal de traction sollicitant de calcul.

$$N_{t,Ed} : 0.40 \text{ kN}$$

$$M_{y,Ed} : 13.93 \text{ kN}\cdot\text{m}$$



$M_{y,Ed}$, $M_{z,Ed}$: Moments fléchissants sollicitants de calcul défavorables, selon les axes Y et Z, respectivement.

$$M_{z,Ed} : \frac{1.24}{\text{ kN}\cdot\text{m}}$$

Classe: Classe de la section, selon la capacité de déformation et de déroulement de la résistance plastique de ses éléments plans, pour l'effort normal et la flexion simple.

$$\text{Classe} : \frac{1}{\text{ }}$$

$M_{N,Rd,y}$, $M_{N,Rd,z}$: Moments fléchissants résistants plastiques réduits de calcul, autour des axes Y et Z, respectivement.

$$M_{N,Rd,y} : \frac{20.75}{\text{ kN}\cdot\text{m}}$$

$$M_{N,Rd,z} : \frac{4.54}{\text{ kN}\cdot\text{m}}$$

$$M_{N,Rd,y} = M_{pl,Rd,y} \cdot (1 - n) / (1 - 0.5 \cdot a) \leq M_{pl,Rd,y}$$

$$n \leq a \rightarrow M_{N,Rd,z} = M_{pl,Rd,z}$$

$$\alpha = 2 ; \beta = 5 \cdot n \geq 1$$

$$\alpha : \frac{2.000}{\text{ }}$$

$$\beta : \frac{1.000}{\text{ }}$$

Avec:

$$n = N_{t,Ed} / N_{pl,Rd}$$

$$n : \frac{0.001}{\text{ }}$$

$N_{pl,Rd}$: Résistance à la traction.

$$N_{pl,Rd} : \frac{385.40}{\text{ kN}}$$

$M_{pl,Rd,y}$, $M_{pl,Rd,z}$: Résistance à la flexion de la section brute en conditions plastiques, par rapport aux axes Y et Z, respectivement.

$$M_{pl,Rd,y} : \frac{20.75}{\text{ kN}\cdot\text{m}}$$

$$M_{pl,Rd,z} : \frac{4.54}{\text{ kN}\cdot\text{m}}$$

$$a = (A - 2 \cdot b \cdot t_f) / A \leq 0.5$$

$$a : \frac{0.39}{\text{ }}$$

A: Aire de la section brute.

$$A : \frac{16.40}{\text{ cm}^2}$$

b: Largeur de l'aile.

$$b : \frac{7.30}{\text{ cm}}$$

t_f : Épaisseur de l'aile.

$$t_f : \frac{6.90}{\text{ mm}}$$

Résistance au flambement: (Eurocode 3 NF EN 1993-1-1/NA: 2007-05, Article 6.3.3)

A: Aire de la section brute.

$$A : \frac{16.40}{\text{ cm}^2}$$

$W_{pl,y}$, $W_{pl,z}$: Modules résistants plastiques correspondant à la fibre de plus grande tension, autour des axes Y et Z, respectivement.

$$W_{pl,y} : \frac{88.30}{\text{ cm}^3}$$

$$W_{pl,z} : \frac{19.30}{\text{ cm}^3}$$

f_{yd} : Résistance de calcul de l'acier.

$$f_{yd} : \frac{235.00}{\text{ MPa}}$$

$$f_{yd} = f_y / \gamma_{M1}$$

Avec:

f_y : Limite d'élasticité. (Eurocode 3 NF EN 1993-1-1/NA: 2007-05, Tableau 3.1)

$$f_y : \frac{235.00}{\text{ MPa}}$$

γ_{M1} : Coefficient partiel de sécurité du matériau.

$$\gamma_{M1} : \frac{1.00}{\text{ }}$$

K_{yy} , K_{yz} , K_{zy} , K_{zz} : Coefficients d'interaction.

$$K_{yy} : \frac{1.00}{\text{ }}$$

$$K_{yz} : \frac{1.00}{\text{ }}$$

$$K_{zy} : \frac{1.00}{\text{ }}$$

$$K_{zz} : \frac{1.00}{\text{ }}$$

χ_{LT} : Coefficient de réduction par déversement.

$$\chi_{LT} : \frac{1.00}{\text{ }}$$

Résistance à la flexion, à l'effort normal et à l'effort tranchant combinés (Eurocode 3 NF EN 1993-1-1/NA: 2007-05, Article 6.2.10)

Il n'est pas nécessaire de réduire les résistances de calcul à la flexion et à l'effort normal, car l'effet de voilement par effort tranchant peut être ignoré et, de plus, l'effort tranchant sollicitant de calcul le plus défavorable **V_{Ed}** est inférieur ou égal à 50% de l'effort tranchant résistant de calcul **$V_{c,Rd}$** .

Les efforts sollicitants de calcul défavorables se produisent pour la combinaison d'actions 1.35·PP+1.35·G1+1.5·Q1.



$$V_{Ed,z} \leq \frac{V_{c,Rd,z}}{2}$$

0.59 kN ≤ 50.44 kN ✓

Où:

$V_{Ed,z}$: Effort tranchant sollicitant de calcul le plus défavorable.

$V_{Ed,z}$: 0.59 kN

$V_{c,Rd,z}$: Effort tranchant résistant de calcul.

$V_{c,Rd,z}$: 100.88 kN

Résistance à la torsion (Eurocode 3 NF EN 1993-1-1/NA: 2007-05, Article 6.2.7)

Doit être respecté:

$$\eta = \frac{M_{T,Ed}}{M_{T,Rd}} \leq 1$$

η : 0.059 ✓

L'effort sollicitant de calcul défavorable se produit pour la combinaison d'actions 1.35·PP+1.35·G1+1.5·Q1.

$M_{T,Ed}$: Moment torseur sollicitant de calcul défavorable.

$M_{T,Ed}$: 0.03 kN·m

Le moment de torsion résistant de calcul $M_{T,Rd}$ est donné par:

$$M_{T,Rd} = \frac{1}{\sqrt{3}} \cdot W_T \cdot f_{yd}$$

$M_{T,Rd}$: 0.47 kN·m

Où:

W_T : Module de résistance à la torsion.

W_T : 3.48 cm³

f_{yd} : Résistance de calcul de l'acier.

f_{yd} : 235.00 MPa

$$f_{yd} = f_y / \gamma_{M0}$$

Avec:

f_y : Limite d'élasticité. (Eurocode 3 NF EN 1993-1-1/NA: 2007-05, Tableau 3.1)

f_y : 235.00 MPa

γ_{M0} : Coefficient partiel de sécurité du matériau.

γ_{M0} : 1.00

Résistance à l'effort tranchant Z et au moment de torsion combinés (Eurocode 3 NF EN 1993-1-1/NA: 2007-05, Article 6.2.7)

Doit être respecté:

$$\eta = \frac{V_{Ed}}{V_{pl,T,Rd}} \leq 1$$

η : 0.115 ✓

Les efforts sollicitants de calcul défavorables se produisent au noeud N43, pour la combinaison d'actions 1.35·PP+1.35·G1+1.5·Q1.

V_{Ed} : Effort tranchant sollicitant de calcul le plus défavorable.

V_{Ed} : 11.59 kN

$M_{T,Ed}$: Moment torseur sollicitant de calcul défavorable.

$M_{T,Ed}$: 0.03 kN·m

L'effort tranchant résistant de calcul réduit $V_{pl,T,Rd}$ est donné par:

$$V_{pl,T,Rd} = \sqrt{1 - \frac{\tau_{T,Ed}}{1.25 \cdot f_{yd} / \sqrt{3}}} \cdot V_{pl,Rd}$$

$V_{pl,T,Rd}$: 100.88 kN

Où: